



รายงานการวิจัย

การเปลี่ยนแปลงรูปแบบของสารป्रอทในดินตะกอนและน้ำ บริเวณนิคมอุตสาหกรรมมาบตาพุด

แวงตา ทองระอา
ฉลวย มุสิกะ^๑
วันชัย วงศ์ควรรณ^๒
อาชุช หมั่นหาผล^๓

#BK0086953
A8 008 9156

- ๖ ๗.๙. ๒๕๔๘

197493

ได้รับทุนอุดหนุนการวิจัยจากงบประมาณแผ่นดิน ประจำปีงบประมาณ ๒๕๔๖ - ๒๕๔๗

สถาบันวิทยาศาสตร์ทางทะเล มหาวิทยาลัยบูรพา

พ.ศ. ๒๕๔๘

ISBN 974-384-200-4

การเปลี่ยนแปลงรูปแบบของสารprotoในดินตะกอนและน้ำบริเวณนิคมอุตสาหกรรมนาบตาพุด

อาจารย์ ทองระอา ฉลวย นุสิติกะ วันชัย วงศ์ภาวรรณ และ อารุช หมื่นนาผล
สถาบันวิทยาศาสตร์ทางทะเล มหาวิทยาลัย นอร์ฟอล์ก จังหวัดชลบุรี 20131

บทคัดย่อ

การศึกษานี้ มีวัตถุประสงค์เพื่อให้เกิดความรู้และความเข้าใจที่ดีขึ้นเกี่ยวกับ พฤติกรรม และเส้นทางเดินของสารprotoในดินตะกอนและน้ำบริเวณนิคมอุตสาหกรรมนาบตาพุด จังหวัดชลบุรี โดยศึกษาการกระจายของสารprotoในน้ำและดินตะกอน ศึกษารูปแบบทางธรรมเนียมของสารprotoในดินตะกอน และปริมาณprotoที่สามารถเข้าสู่สิ่งมีชีวิตได้ กระบวนการคุกคัดและการปลดปล่อยสารproto โดยดินตะกอน รวมทั้งปริมาณprotoที่สะสมอยู่ในสัตว์ทะเล

ผลการศึกษาปริมาณprotoรวมในน้ำทะเลจำนวน 8 สถานี พบว่ามีค่าน้อยมากทั้งในกุฎแล้ง (มีนาคม 2546) และกุฎฝน (ตุลาคม 2546) และต่ำกว่าค่ามาตรฐานกุณภาพน้ำทะเลชายฝั่งของไทยหลายเท่า ก่อให้เกิดการซึมซับ proto ที่พบในกุฎแล้งและกุฎฝนอยู่ระหว่าง $2.42 - 5.67$ และ $1.52 - 11.77 \text{ ng L}^{-1}$ ตามลำดับ ปริมาณprotoรวมในน้ำมีความสัมพันธ์ทางบวกกับสารอินทรีย์ที่ละลายน้ำซึ่งวัดในรูปของ Fluorescence unit สำหรับปริมาณprotoรวมในดินตะกอนในกุฎแล้ง พบว่ามีค่าอยู่ระหว่าง $0.006 - 0.130 \mu\text{g g}^{-1}$ น้ำหนักแห้ง และกุฎฝนมีค่าอยู่ระหว่าง $<0.0023 - 0.224 \mu\text{g g}^{-1}$ น้ำหนักแห้ง ซึ่งค่าสูงสุดที่ตรวจพบมีค่าสูงกว่ามาตรฐานของสารprotoในดินตะกอนของบางประเทศ นอกจากนี้ยังพบว่าprotoรวมในดินตะกอนมีความสัมพันธ์ทางบวกกับค่าอนามัยสูงมากที่ออกไซด์ของเหล็ก และคงว่าออกไซด์ของเหล็กทำหน้าที่เป็นตัวคุกคัดหลักที่อยู่ในดินตะกอนบริเวณนี้ และจากการศึกษาปริมาณprotoที่สามารถเข้าสู่สิ่งมีชีวิตได้ พบว่าส่วนใหญ่มีค่าน้อยกว่า 10 % ของปริมาณprotoรวม และค่าสูงสุดซึ่งพบในกุฎฝนมีค่าไม่เกิน 22 % โดยสอดคล้องกับผลการศึกษารูปแบบทางธรรมเนียมของสารprotoที่ส่วนใหญ่ในดินตะกอน ซึ่งพบว่ามีอยู่สองรูปแบบที่สำคัญ คือ รูปที่จับรวมด้วยกับสารอินทรีย์และซัลไฟด์ และรูปแบบที่อยู่ในโครงสร้างของแร่ธาตุในดิน ซึ่งเป็นรูปแบบที่ไม่เป็นอันตรายต่อสิ่งมีชีวิตหรือมีแต่น้อยมาก ส่วนการสะสมสารprotoในสัตว์ทะเลได้จากการศึกษาครั้งนี้ยังคงอยู่ในระดับที่ปลดปล่อยสั่นหวั่นการบริโภค

การศึกษากระบวนการคุกคัดและการปลดปล่อยสารprotoโดยดินตะกอนที่ความเค็ม 4 ระดับ คือ 0.15, 30 และ 45 psu โดยใช้เทคนิค batch equilibration ผลการศึกษา พบว่าการคุกคัดจะลดลงเมื่อความเค็มขึ้นของสารprotoสูงขึ้น โดยขึ้นอยู่กับลักษณะของเนื้อดินตะกอนด้วย ความเค็มไม่มีผลต่อการคุกคัดยกเว้นที่ความเค็ม 45 psu มีแนวโน้มทำให้การคุกคัดสารprotoที่ความเค็มขึ้นสูงๆลดลงจากความเค็มระดับอื่นๆ และprotoที่ถูกคุกคัดไว้ไม่สามารถปลดปล่อยออกจากดินตะกอนได้ทั้งหมด นอกจากนี้ พบว่าความเค็มไม่มีผลต่อการปลดปล่อยสารprotoออกจากดินตะกอนด้วย

Transformation of Mercury in the Sediment-Water System of the Map Ta Phut Industrial Estate

Waewtaa Thongra-ar, Chaluay Musika, Wanchai Wongsudawan and Arvut Munhapol
Institute of Marine Science, Burapha University, Chon Buri 20131

Abstract

This study attempts to provide a better understanding of the behavior and fate of mercury (Hg) in the sediment-water system of the Map Ta Phut industrial estate, Rayong Province. It was designed to include Hg distribution in the water and sediments, its geochemical and bioavailable forms of the sediments and adsorption-desorption phenomena by the sediments as well as the accumulation of Hg in marine animals.

The samples of water and sediments collected from 8 stations in the dry (March 2003) and wet (October 2003) seasons were analyzed for total Hg. The average concentrations of water Hg ranged from 2.42 - 5.67 and 1.52 - 11.77 ng L⁻¹ for the dry and wet seasons, respectively. Those were still within Thai coastal water quality standard. The water Hg showed a positive correlation with DOC fluorescence. Total Hg in the sediments ranged from 0.006 - 0.130 and <0.0023 - 0.224 µg g⁻¹ dry weight for the dry and wet seasons, respectively. The highest concentrations obtained exceeded the acceptable levels of sediment Hg set in some countries. Also, the sediment Hg showed a strongly positive correlation with Fe oxides suggesting that Fe oxides was a major adsorbent in the sediments studied. Fractionation of Hg in the sediments indicated that the major geochemical forms were 1) bound to organic matter and sulfide and 2) residual fractions which were unlikely to be bioavailable. This result agreed with a direct analysis of bioavailable Hg which mostly gave very low concentrations (<10% of total Hg) and the maximum concentrations found in the wet season were not more than 22 % of total Hg. In addition, total Hg in tissue of marine animals collected from the surrounding area of the industrial estate was found to be within Thai national standard for food consumption.

In order to understand Hg adsorption capacity and its remobilization in the sediments, Hg adsorption and desorption experiments were conducted at 4 salinities of 0, 15, 30 and 45 psu using a batch equilibration technique. The adsorption of Hg decreased with increasing the initial Hg concentrations, but also depended on the sediment texture. Salinity had no effect on the adsorption and desorption, except a slight decrease of Hg adsorption at high initial Hg concentrations was observed at 45 psu salinity. Adsorption and desorption characteristics of the sediments indicated Hg was irreversible adsorbed.

กิตติกรรมประกาศ

โครงการวิจัยเรื่องนี้ได้รับทุนสนับสนุนการวิจัยจากบประมาณแผ่นดิน หมวดเงินอุดหนุน
มหาวิทยาลัยบูรพา ประจำปีงบประมาณ 2546-2547 คณะผู้ทำการวิจัยได้ขอขอบคุณเป็นอย่างมาก ไ
ณ โอกาสนี้ ขอขอบคุณสำนักงานนิคมอุตสาหกรรมมาบตาพุด จังหวัดระยองที่ให้ความอนุเคราะห์ใน
การเข้าเก็บตัวอย่างในบริเวณนิคมอุตสาหกรรม และขอขอบคุณเจ้าหน้าที่ของสถาบันวิทยาศาสตร์ทางทะเล
ทุกท่านที่มีส่วนช่วยทำให้งานวิจัยเรื่องนี้สำเร็จลุล่วงไปด้วยดี

มหาวิทยาลัยบูรพา
Burapha University

สารบัญ

หน้า

สารบัญ	(1)
สารบัญตาราง	(2)
สารบัญภาพ	(4)
บทนำ	1
การทบทวนเอกสารที่เกี่ยวข้อง	5
อุปกรณ์และวิธีการ	8
ผลและวิจารณ์ผล	18
1. การกระจายของสารประกอบในน้ำ	18
2. การกระจายของสารประกอบในดินตะกอนและความถ้วนพื้นที่กับคุณสมบัติดินตะกอน	26
3. การศึกษารูปแบบทางธรณีเคมีของสารประกอบในดินตะกอน	39
4. การศึกษาการดูดซับและการปลดปล่อยสารประกอบโดยดินตะกอนและอิทธิพลของความเค็ม	42
สรุปผลการศึกษา	65
เอกสารอ้างอิง	66

สารบัญตาราง

ตารางที่	หน้า
1 ดำเนินการในเก็บตัวอย่างน้ำทะเลและคืนตะกอนบริเวณนิคมอุตสาหกรรม nanoparticulate และบริเวณโภคถีรัง จังหวัดระยอง	8
2 % Recovery ของการวิเคราะห์ปริมาณprotoxin ในน้ำทะเล	11
3 ผลการวิเคราะห์คืนตะกอนทะเลเลมาตรฐาน (MESS-3)	12
4 ผลการวิเคราะห์เนื้อเยื่อป่าทะเลมาตรฐาน (DORM-2)	12
5 การสกัดหารูปแบบทางเคมีของสารprotoxin ในคืนตะกอน โดยวิธี sequential extraction	13
6 Sequential extraction ของคืนตะกอนทะเลเลมาตรฐานที่ทราบความเข้มข้น (MESS-3)	13
7 คุณสมบัติของคืนตะกอนบางประการที่ทำการวิเคราะห์และวิธีวิเคราะห์	14
8 ปริมาณproto toxin ในน้ำบริเวณชายฝั่งทะเลเลนิคมอุตสาหกรรมนาบตาพุด จังหวัด ระยอง ในฤดูแล้ง (31 มีนาคม 2546) และฤดูฝน (2 ตุลาคม 2546) รวม ทั้งค่าเฉลี่ยต่อคลปี (หน่วยเป็น ng L ⁻¹)	18
9 ปริมาณproto toxin ในคลองระบายน้ำทึ่ง/จุดที่ระบายน้ำลงสู่ทะเล และคุณภาพน้ำ อื่นๆ ในฤดูแล้ง (12 พฤษภาคม 2546) และ ฤดูฝน (30 กันยายน 2546)	21
10 ข้อมูลทางกายภาพและเคมีของน้ำทะเลโดยทั่วไปบริเวณชายฝั่ง นิคมอุตสาหกรรม นาบตาพุด จังหวัดระยอง ในฤดูแล้ง (31 มีนาคม 2546)	22
11 ข้อมูลทางกายภาพและเคมีของน้ำทะเลโดยทั่วไปบริเวณชายฝั่ง นิคมอุตสาหกรรม นาบตาพุด จังหวัดระยอง ในฤดูฝน (2 ตุลาคม 2546)	23
12 ค่าเฉลี่ยปริมาณproto toxin (\pm ความคลาดเคลื่อนมาตรฐาน; n = 6) ในคืน ตะกอนบริเวณชายฝั่งทะเล นิคมอุตสาหกรรมนาบตาพุด จังหวัดระยอง และ ปริมาณproto toxin ที่สามารถเข้าสู่สิ่งมีชีวิตได้ ในฤดูแล้ง (31 มีนาคม 2546) และฤดูฝน (2 ตุลาคม 2546)	26
13 เกณฑ์มาตรฐานของสารproto toxin น้ำทะเลและคืนตะกอน	27
14 เปรียบเทียบปริมาณproto toxin ในน้ำทะเลและคืนตะกอนบริเวณนิคมอุตสาห กรรมนาบตาพุดจากการศึกษาครั้งนี้กับรายงานฉบับอื่น	29

ตารางที่	หน้า
15 คุณสมบัติของดินตะกอนบางประการในบริเวณชายฝั่งทะเล นิคมอุตสาหกรรม นาบตาพุด จังหวัดระยอง ในฤดูแล้ง (31 มีนาคม 2546)	32
16 คุณสมบัติของดินตะกอนบางประการในบริเวณชายฝั่งทะเล นิคมอุตสาหกรรม นาบตาพุด จังหวัดระยอง ในฤดูฝน (2 ตุลาคม 2546)	33
17 ค่าสัมประสิทธิ์สหสัมพันธ์ของปริมาณprotothium ในดินตะกอนและคุณสมบัติ ของดินตะกอนบางประการ ในฤดูแล้ง (31 มีนาคม 2546)	35
18 ค่าสัมประสิทธิ์สหสัมพันธ์ของปริมาณprotothium ในดินตะกอนและคุณสมบัติ ของดินตะกอนบางประการ ในฤดูฝน (2 ตุลาคม 2546)	36
19 Freundlich adsorption parameters ของการดูดซับสารprotothium ที่ความเค็มต่างๆ กับ Freundlich adsorption parameters ของการดูดซับสารprotothium ที่ความเค็ม ต่างๆกัน	46
20 ค่าสัมประสิทธิ์สหสัมพันธ์ของ Freundlich adsorption parameters และคุณ สมบัติของดินตะกอน ที่ความเค็มต่างๆ ($n = 8$)	48
21 Freundlich desorption parameters ของการปลดปล่อยสารprotothium และปริมาณ สารprotothium ที่ปลดปล่อยออกจากดินตะกอนที่ความเค็มต่างๆ กัน	56
22 ปริมาณการสะสมของสารprotothium ในสัตว์ทะเลบริเวณนิคมอุตสาหกรรมนาบตา พุด จังหวัดระยอง	62

สารบัญภาพ

ภาพที่	หน้า
1 ที่ตั้งของอุตสาหกรรมที่สำคัญในบริเวณนิคมอุตสาหกรรมนาบตาพุด จังหวัด 3 รายของ	3
2 รูปแบบทางเคมีของโลหะที่อยู่ในดินตะกอน 5	5
3 สถานีเก็บตัวอย่างน้ำทะเลและดินตะกอนบริเวณนิคมอุตสาหกรรมนาบตาพุด และบริเวณใกล้เคียง จังหวัดรายของ 9	9
4 แผนผังแสดงการทดลองเพื่อศึกษาการคุกชับและการปลดปล่อยสารปรอทโดย ดินตะกอน 17	17
5 การกระจายของสารปรอท (ค่าเฉลี่ย \pm ความคลาดเคลื่อนมาตรฐาน, $n = 6$) ที่ ผิวน้ำและเห็นอีพีน์ดินบริเวณชายฝั่งทะเลนิคมอุตสาหกรรมนาบตาพุดใน (a) ถูกแล้ง และ (b) ถูกฝน 19	19
6 เปรียบเทียบค่าเฉลี่ยความชื้นขั้นของprotothium ในน้ำที่พบในคลองระบายน้ำ ทึ้ง/ชุดที่ระบายน้ำสู่ทะเลและความชื้นขั้นเฉลี่ยของprotothium ในน้ำทะเล บริเวณนิคมอุตสาหกรรมนาบตาพุด ในถูกแล้ง และถูกฝน และค่าเฉลี่ยตลอดปี 20	20
7 ความสัมพันธ์ระหว่างสารปรอทในน้ำกับ (a) สารอินทรีย์ที่ละลายในรูป ของ Humic acid (b) ความเค็ม และ (c) ความเป็นกรด-ค้าง 25 ค่าเฉลี่ยปริมาณ protothium (\pm ความคลาดเคลื่อนมาตรฐาน, $n = 6$) ในดิน ตะกอนบริเวณนิคมอุตสาหกรรมนาบตาพุด ในถูกแล้ง (31 มีนาคม 2546) และ ถูกฝน (2 ตุลาคม 2546)	25
9 เปรียบเทียบค่าเฉลี่ยตลอดปีของปริมาณ protothium ในน้ำและดินตะกอนบริเวณนิคม อุตสาหกรรมนาบตาพุดในปี 2546 9	9
10 ความสัมพันธ์ระหว่างปริมาณ protothium ในดินตะกอนกับ (a) ออกไซด์ของ เหล็ก (b) ออกไซด์ของแมงกานีส (c) สารอินทรีย์ (d) ดินเหนียว (e) ทรายแม่น้ำ และ (f) ค่าการแลกเปลี่ยนประจุบวกของดิน ในถูกแล้ง (31 มีนาคม 2546) 37 และ (g) ค่าการแลกเปลี่ยนประจุบวกของดิน ในถูกฝน (2 ตุลาคม 2546)	37
11 ความสัมพันธ์ระหว่างปริมาณ protothium ในดินตะกอนกับ (a) ออกไซด์ของ เหล็ก (b) ออกไซด์ของแมงกานีส (c) สารอินทรีย์ (d) ดินเหนียว (e) ทรายแม่น้ำ และ (f) ค่าการแลกเปลี่ยนประจุบวกของดิน ในถูกฝน (2 ตุลาคม 2546) 38	38

ภาคที่	หน้า
12 รูปแบบทางธารณีเคมีของสารprotoที่ในคินตะกอนบริเวณนิคมอุตสาหกรรมบาง ตาพุค จังหวัดระยอง (a) ถ่ายเสี้ยง (31 มีนาคม 2546) และ (b) ถ่ายผ่าน (2 ตุลาคม 2546)	41
13 เปอร์เซ็นต์การดูดซับสารprotoในแต่ละระดับความเข้มข้นเริ่มต้นที่เดินลงไป ในคินตะกอนสถานีต่างๆ (a) สถานีไกลัฟฟ์ (b) สถานีห่างฝั่ง และที่ความเค็ม ต่างๆกัน	44
14 Freundlich isotherms ของการดูดซับสารprotoโดยคินตะกอนนาบตาพุคสถานี ต่างๆ (a) สถานีไกลัฟฟ์ (b) สถานีห่างฝั่ง และที่ความเค็มต่างๆกัน	45
15 เปรียบเทียบค่า Freundlich adsorption parameters (a) K_{ads} และ (b) $1/n_{ads}$ ของ คินตะกอนแต่ละสถานีในการดูดซับสารprotoที่ความเค็มต่างๆ	47
16 ชนิดของproto (Hg species) ที่ระดับความเป็นกรด-ด่างและคลอไรด์อิโอน ต่างๆกัน	51
17 ปริมาณ (a) เหล็ก และ (b) แมงกานีสในสารละลายน้ำที่คือการดูดซับสาร proto โดยคินตะกอนสถานีต่างๆที่ความเค็ม 0 และ 45 psu	53
18 ปริมาณ (a) เหล็ก และ (b) แมงกานีสในสารละลายน้ำที่คือการปลดปล่อย สารprotoโดยคินตะกอนสถานีต่างๆที่ความเค็ม 0 และ 45 psu ความสัมพันธ์ระหว่างปริมาณprotoรวมกับน้ำหนักของปลากราย	59
	61

การเปลี่ยนแปลงรูปแบบของสารprotoที่ในดินตะกอนและน้ำ

บริเวณนิคมอุตสาหกรรมมาบตาพุด

บทนำ

proto เป็นโลหะหนักชนิดหนึ่งที่มีความเป็นพิษสูงสุดต่อสัตว์มีชีวิตถึงแม้ในระดับความเข้มข้นที่ต่ำ มีความคงตัวสูงในสภาพแวดล้อม สามารถสะสมและเพิ่มข่ายทางชีวภาพในห่วงโซ่อากาศ (biomagnification) ได้ ตลอดจนทำให้เกิดอันตรายร้ายแรงต่อสุขภาพอนามัยของมนุษย์จากการบริโภคอาหารทะเลที่มีการปนเปื้อนสารproto ดังจะเห็นได้จากมหันตภัยร้ายแรงของโรคมินามาตะที่เกิดในประเทศไทยปัจจุบัน เป็นต้น

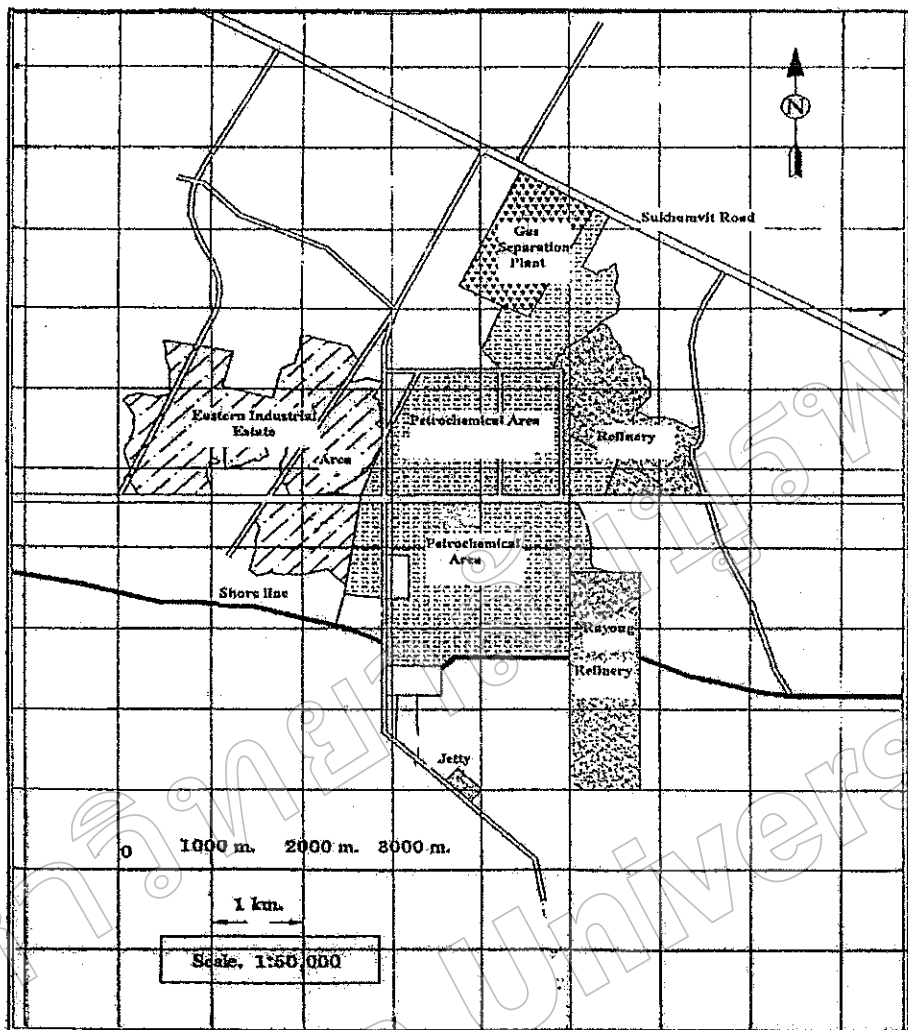
protothสามารถเข้าสู่แหล่งน้ำได้ทั้งจากกระบวนการทางธรรมชาติและจากกิจกรรมของมนุษย์ และเกิดได้ในหลายรูปแบบ (chemical forms) กระบวนการอันซับซ้อนทางด้านฟิสิกส์ เกมี และชีววิทยา ส่วนสุดท้ายให้สารprotoที่ส่วนใหญ่เข้าไปสะสมอยู่ในดินตะกอน อย่างไรก็ตาม สารprotoในดินตะกอนสามารถถูกปลดปล่อยกลับสู่แหล่งน้ำได้อีกด้วยกระบวนการต่างๆ สารprotoที่ถูกปลดปล่อยออกจากการดินตะกอนสามารถทำอันตรายต่อสัตว์น้ำ และสะสมได้ในห่วงโซ่ออาหาร ดังนั้น ดินตะกอนจึงเป็นภัยแล้วมีอน เป็นทั้งแหล่งเก็บ (sink) และแหล่งปล่อย (source) ของสารprotoในแหล่งน้ำ ด้วยเหตุนี้ พฤติกรรมและการเปลี่ยนแปลงของสารprotoในดินตะกอนจึงได้รับความสนใจในการศึกษาเพิ่มมากขึ้นในช่วงเวลาที่ผ่านมา

ข้อมูลของสารป्रอทในน้ำและคินตะกอนทั้งในคีดและปั๊กจุบัน พบว่าส่วนใหญ่ รายงานไว้ในรูปของปริมาณป्रอทรวม (total Hg) ซึ่งจะไม่ค่อยมีประโยชน์มากนักในการประเมินผลกระทบที่มีต่อสิ่งแวดล้อม เนื่องจากปริมาณป्रอทรวมไม่ใช่เป็นปริมาณป्रอทที่สิ่งมีชีวิตสามารถรับเข้าสู่ร่างกายได้ทั้งหมด สารป्रอทบางรูปเท่านั้นที่สามารถเข้าสู่ร่างกายของสิ่งมีชีวิตได้ หรือเรียกว่า "bioavailable form" ซึ่งจะสามารถบ่งบอกได้ว่ามีระดับความเป็นพิษ (toxicity) หากรับเข้าสู่ร่างกายมากเกินไป ดังนั้น ข้อมูลของปริมาณป्रอทรวมแต่เพียงอย่างเดียว ไม่สามารถบ่งชี้ถึง bioavailability และความเป็นพิษที่มีต่อสิ่งมีชีวิตโดย ได้เลย เนื่องจากทั้ง bioavailability และความเป็นพิษของป्रอท หรือโลหะชนิดอื่นๆ ขึ้นอยู่กับรูปแบบทางเคมี (chemical speciation) ของโลหะชนิดนั้นๆ (Luoma, 1983; Bryan and Langston, 1992) สำหรับในน้ำทะเลนั้น ป्रอทในรูปละลาย (dissolved Hg) จะว่าเป็น bioavailable form ส่วนในคินตะกอนนั้น ป्रอทในรูปที่สามารถละลายออกจากคินตะกอนได้ง่าย (more soluble fractions) เท่านั้น จึงจะจัดเป็น bioavailable form ด้วยเหตุนี้ สารป्रอทในรูปดังกล่าวจึงมีความสำคัญครัวเรกการศึกษาทั้งในน้ำและคินตะกอน

โดยทั่วไปปริมาณโลหะหนักในน้ำทะเล ยังถูกควบคุมโดยกระบวนการที่สำคัญ ได้แก่ กระบวนการดูดซับ (adsorption) และกระบวนการปลดปล่อยหรือการราย (desorption) กระบวนการทั้งสองดังกล่าวมีบทบาทที่สำคัญมากต่อการกระจาย และการเคลื่อนย้ายกลับไปกลับมา (remobilization) ของสารprotoxin ในน้ำ และคินตะกอน นอกจากนี้ยังพบว่า มีปัจจัยแวดล้อมอื่นๆ มีอิทธิพลต่อกระบวนการทั้งสองด้วย ได้แก่ การเปลี่ยนแปลงของความเค็ม ความเป็นกรด-ด่าง ค่าศักยไฟฟ้า (redox potential; Eh) ปริมาณสารอินทรีย์ และ chelating agents บางชนิด เป็นต้น

เนื่องจากประเทศไทยได้ประสบปัญหาการเพิ่มขึ้นของสารprotoxinในบริเวณชายฝั่งทะเลอันเนื่องมาจากพัฒนาอุตสาหกรรม และการบุกเบิกที่เข้าใจในเรื่องราวของสารprotoxinในน้ำและคินตะกอนดังกล่าวข้างต้น จะช่วยทำให้เราเข้าใจดียิ่งขึ้นเกี่ยวกับการนำพา (transport) และเดินทางเดิน (fate) ของสารprotoxin หลังจากถูกปล่อยออกมานานาจันทร์ที่ของโรงงานอุตสาหกรรมลงสู่ทะเล รวมถึง bioavailability และความเป็นพิษของสารprotoxinที่อาจมีต่อสัตว์น้ำหรือสิ่งมีชีวิตอื่น ซึ่งข้อมูลดังกล่าวมีอยู่จำกัด หรือน้อยมากในประเทศไทย

นิคมอุตสาหกรรมมหาบตาพุด จังหวัดระยอง มีเนื้อที่ประมาณ 8,000 ไร่ เป็นที่ตั้งของอุตสาหกรรมหนักที่สำคัญบริเวณชายฝั่งทะเลภาคตะวันออก ประกอบด้วยอุตสาหกรรมที่สำคัญ ได้แก่ โรงแยกก๊าซธรรมชาติ อุตสาหกรรมปิโตรเคมี อุตสาหกรรมปุ๋ยเคมี อุตสาหกรรมโรงกลั่นน้ำมัน เป็นต้น และชายฝั่งยังมีท่าเรือน้ำลึกเพื่อใช้ในการถ่ายสินค้าอีกด้วย (ภาพที่ 1) บริเวณนิคมอุตสาหกรรมนี้มีการตรวจสอบว่ามีสารprotoxinสูงกว่ามาตรฐานที่กำหนดในบางสถานีและบางปี ทั้งนี้ได้มีรายงานการตรวจพบรprotoxinในน้ำทะเลบริเวณนิคมอุตสาหกรรมมหาบตาพุด ในระหว่างปี 2538-2541 มีค่าอยู่ในช่วงระหว่าง 0.01 - 0.48 $\mu\text{g L}^{-1}$ ซึ่งสูงกว่าค่ามาตรฐานของprotoxinในน้ำทะเลชายฝั่งของประเทศไทยที่กำหนดไว้ให้มีค่าไม่เกิน $0.1 \mu\text{g L}^{-1}$ โดยปริมาณสารprotoxinที่ตรวจพบสูงอยู่ในระหว่างปี 2538 - 2539 (Chongprasith and Wilairatanadilok, 1999) นอกจากนี้ยังตรวจพบปริมาณสารprotoxinท่อน้ำข้างสูงในคินตะกอนบริเวณนิคมอุตสาหกรรมมหาบตาพุดอีกด้วย (Chongprasith and Wilairatanadilok, 1999) ปริมาณสารprotoxinที่ตรวจพบสูงทั้งในน้ำทะเลและคินตะกอนบริเวณนิคมอุตสาหกรรมมหาบตาพุด เป็นข้อเตือนใจให้หน่วยงานของรัฐที่เกี่ยวข้อง โดยเฉพาะกรมควบคุมมลพิษ ให้ทราบถึงปัญหาการบ่นเบือนของสารprotoxinในบริเวณนิคมอุตสาหกรรมและกำหนดให้เป็นปัญหาในระดับชาติที่จะต้องดำเนินการป้องกันและแก้ไข รวมตลอดถึงการติดตามตรวจสอบการบ่นเบือนของสารprotoxinในน้ำ และคินตะกอน ตลอดจนสิ่งมีชีวิตอย่างสม่ำเสมอ



ภาพที่ 1 ที่ตั้งของอุตสาหกรรมที่สำคัญในบริเวณนิคมอุตสาหกรรมนาบตาพุด จังหวัดระยอง
(คัดแปลงภาพจาก Pimpisut et al., 2005)

วัตถุประสงค์ของการศึกษา

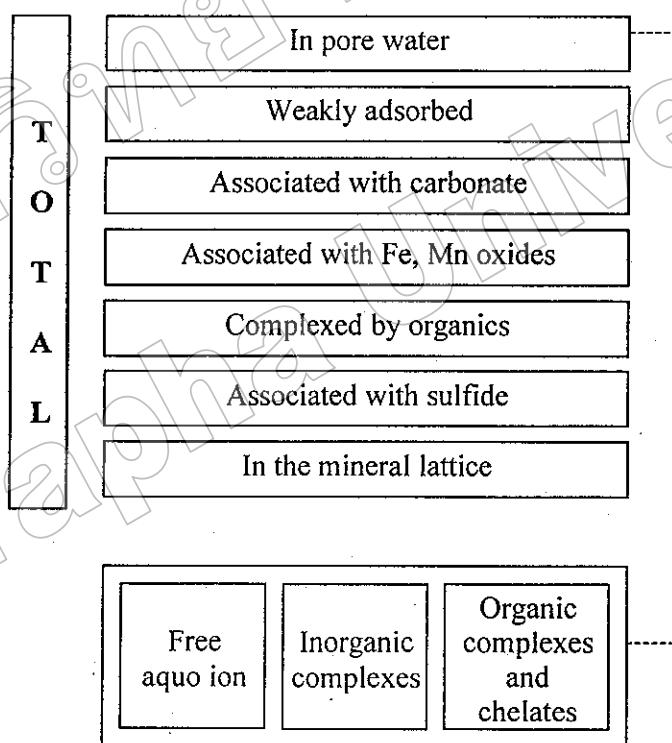
วัตถุประสงค์ของการศึกษาโดยทั่วไป เพื่อให้เกิดความรู้ ความเข้าใจ ที่ตื้นเขินเกี่ยวกับพฤติกรรม และการเปลี่ยนแปลงรูปแบบของสารprotoที่เมื่อเข้าสู่น้ำและดินตะกอนในบริเวณนิคมอุตสาหกรรมนาบตาพุด ปรินามprotoในน้ำ และคินตะกอนที่สามารถเข้าสู่ร่างกายสัตว์น้ำได้ (bioavailable form) ประกอบ การณ์การดูดซับ และการปลดปล่อยของสารprotoที่เกิดขึ้นในดินตะกอน รวมทั้งปัจจัยแวดล้อมที่มี อิทธิพล ตลอดจนปริมาณprotoที่สะสมอยู่ในสัตว์ทะเล สำหรับวัตถุประสงค์จำเพาะสามารถจำแนกได้ดังนี้

1. ศึกษาการกระจายของสารป्रอท ในน้ำทะเลและริเวณนิคมอุตสาหกรรมมาบตาพุด
2. ศึกษาการกระจายของสารป्रอทในดินตะกอน และความสัมพันธ์ระหว่างปริมาณป्रอทรวม และคุณสมบัติของดินตะกอนบางประการ
3. ศึกษารูปแบบทางเคมีเคมี (geochemical forms) ของสารป्रอทในดินตะกอน และประเมินค่า bioavailable form ของสารป्रอทในดินตะกอน
4. ศึกษาระบวนการดูดซับและการปลดปล่อยของสารป्रอท และประเมินค่าความจุหรือความสามารถ (capacity) ของดินตะกอนที่จะดูดซับและปลดปล่อยสารป्रอทออกมาน้ำ ตลอดจนความสัมพันธ์ระหว่างคุณสมบัติของดินตะกอนบางประการที่มีต่อกระบวนการทั้งสอง
5. ศึกษาอิทธิพลของความเค็มที่มีต่อกระบวนการดูดซับและการปลดปล่อยสารป्रอท เนื่องจากความเค็มนี้ผลต่อการเปลี่ยนแปลงรูปแบบทางเคมีของป्रอท (Hg species) จากกระบวนการ chloride complexation ซึ่งจะส่งผลต่อการดูดซับสารป्रอทเข้าสู่ดินตะกอน
6. ศึกษาปริมาณการสะสมของสารป्रอทในสัตว์ทะเลที่มีคุณค่าทางเศรษฐกิจบริเวณดังกล่าว และความสำคัญระหว่างปริมาณป्रอทกับขนาดหรืออัตราการดูดซับของสัตว์ทะเล

การทบทวนเอกสารที่เกี่ยวข้อง

ปริมาณโลหะรวม ไม่สามารถบ่งบอกถึงผลกระบวนการของโลหะหนักที่มีต่อสิ่งมีชีวิตได้ โลหะในรูปของ "bioavailable form" เท่านั้น ที่สื่อมีชีวิตสามารถรับเข้าสู่ร่างกาย และทำให้เกิดพิษ หรือสะสมในร่างกายของสิ่งมีชีวิตนั้นๆ ได้ (Walidchuk, 1985) รูปแบบของโลหะหนักดังกล่าว โดยปกติจะมีรูปแบบที่ละลายได้ (dissolved) หรือเป็นอิオน (ionic species) อยู่ในน้ำทะเล หรือละลายน้ำในสารละลายน้ำ (soil solution) และละลายน้ำในน้ำระหว่างเม็ดดิน (pore water) หรือโลหะที่จับรวมตัวกันดินตะกอน โดยกระบวนการแลกเปลี่ยนประจุ (cation exchange) มีการหลดเหลือร่องที่แสดงให้เห็นว่าปริมาณโลหะหนักในสัตว์หน้าดิน (benthic organisms) ไม่มีความสัมพันธ์ใดๆ กับปริมาณโลหะหนักรวมในดินตะกอน แต่จะมีความสัมพันธ์กับส่วนของโลหะที่จับตัวกันดินตะกอนและสกัดออกมาได้โดยง่าย (easily extracted fractions) เช่น การทดลองของ Luoma and Bryan (1978), Langston (1980) และ Tessier et al (1984) เป็นต้น

โดยทั่วไปแล้วรูปแบบทางเคมีของโลหะที่อยู่ในดินตะกอนสามารถแบ่งออกได้ดังแสดงในภาพที่ 2



ภาพที่ 2 รูปแบบทางเคมีของโลหะที่อยู่ในดินตะกอน (Gunn et al., 1988)

ถ้าไม่นับรวมโลหะที่ละลายอยู่ในน้ำระหว่างเม็ดดิน (pore water) แล้วโลหะที่อยู่ในสารรูปแบบแรกในภาพที่ 2 จัดว่าเป็น "potentially bioavailable forms" เนื่องจากสามารถถูกปลดปล่อยออกจากดินตะกอนได้โดยง่าย ภายใต้สภาวะแวดล้อมที่เปลี่ยนแปลง เช่น ความเป็นกรด-ค้าง สภาวะการมีอوكซิเจน หรือไร์ออกซิเจน เป็นต้น สำหรับรูปแบบสุดท้าย จัดว่าเป็นรูปแบบที่ไม่มีอันตรายต่อสิ่งมีชีวิต (unavailable form) เนื่องจากโลหะจะผึ้งตัว หรือรวมตัวกับโครงสร้างของแร่ธาตุที่อยู่ในดิน (lattice structure of minerals)

ดังนั้น การศึกษา หรือวิเคราะห์หาปริมาณป्रอทรมในดินตะกอนแต่เพียงอย่างเดียว จึงไม่สามารถบ่งชี้ถึงอันตรายที่จะมีต่อสิ่งมีชีวิตในบริเวณนี้ได้ และอาจทำให้ต่อมานายของผลกระทบต่อสิ่งแวดล้อมผิดพลาดไป ตัวอย่างของการศึกษาในเรื่องนี้ ได้แก่ การศึกษาของ Thongra-ar (2001) พบว่า ปริมาณป्रอทรมในดินตะกอนลึก 0-2 เซนติเมตร บริเวณปากแม่น้ำบางปะกง ที่สถานีหน้าวัดบนมีค่าสูงถึง 0.94 mg/g น้ำหนักแห้ง ซึ่งมีค่าสูงกว่ามาตรฐานของป्रอทในดินตะกอนที่กำหนดไว้ในบางประเทศ หากตีความไปตามข้อมูลของปริมาณปρอทรมที่ตรวจสอบในบริเวณดังกล่าวก็แสดงว่าบริเวณนี้มีปัญหามลพิษของปρอทในดินตะกอนเกิดขึ้น แต่จากการศึกษาลึกในรายละเอียดถึงรูปแบบทางเคมีของปρอทในดินตะกอน พบว่า มากราว 90% ของปρอทในบริเวณนี้ อยู่ในส่วนของโครงสร้างของแร่ธาตุ อันเกิดจากการกระบวนการธรรมชาตินากกว่ามาจากการของมนุษย์ หรือจากโรงงานอุตสาหกรรม

การศึกษารูปแบบทางเคมีของโลหะหนักในดินตะกอน ที่นิยมทำกันมักใช้เทคนิคการสกัดอย่างต่อเนื่องตามลำดับ ที่เรียกว่า "sequential extraction" (Tessier et al., 1979) ซึ่งเทคนิคการสกัดดังกล่าวบ่ง มีปัญหา หรือข้อจำกัดอยู่บ้าง และใช้เวลามากในการสกัด แต่อย่างไรก็ตามข้อมูลที่ได้จะมีประโยชน์มากกว่าการวิเคราะห์หาปริมาณปρอทรมแต่เพียงอย่างเดียว

นอกจากในเรื่องของรูปแบบทางเคมีของโลหะหนักที่ใช้เป็นกรอบแนวความคิดของงานวิจัยเรื่องนี้แล้ว กระบวนการที่เกิดขึ้นระหว่างบริเวณรอยต่อของผิวดินและน้ำ (sediment-water interface) โดยเฉพาะกระบวนการคุกซับ และกระบวนการปลดปล่อย มีความสำคัญในแง่ของการควบคุมปริมาณโลหะที่อยู่ในน้ำ ควบคุมการเคลื่อนย้ายโลหะจากน้ำเข้าสู่ดิน หรือเคลื่อนย้ายโลหะออกจากดินไปสู่น้ำ ซึ่งหากพบว่าดินบริเวณนี้ๆ มีคุณสมบัติในการคุกซับโลหะได้ดี และถ้าสามารถจับแน่นกับโลหะนั้น ไม่ยอมปล่อยกลับคืนสู่แหล่งน้ำโดยง่าย ดินบริเวณดังกล่าวก็จะเป็นแหล่งผึ้งตัวเน่นอย่างถาวร (permanent sink) ของโลหะหนักชนิดนี้ๆ

การศึกษาในเรื่องดังกล่าวสำหรับประเทศไทยมีการศึกษาไว้ในบริเวณแม่น้ำบางปะกง (Thongra-ar, 2001; Parkpoin et al, 2001) พบว่าดินบริเวณนี้มีศักยภาพสูงในการคุกซับสารปρอทในปริมาณสูง (good sink) หลังจากคุกซับไว้แล้ว โอกาสที่จะปล่อยกลับคืนสู่ในน้ำอีกเป็นไปได้ยากมาก เป็นปรากฏการณ์ที่ เรียกว่าเกิด strong irreversibility หรือ hysteresis ดังนั้นหากศึกษาแล้วพบว่าดินตะกอนบริเวณนิ่มอุตสาหกรรมมีศักยภาพสูงในการคุกซับสารปρอท ก็จะเป็นประโยชน์ต่อสัตว์น้ำที่อาศัยอยู่ในบริเวณนี้ ตลอดจนประชาชัชน้ำที่นำสัตว์น้ำมาบริโภค

นอกจากนี้ในบริเวณชายฝั่งทะเล ยังมีปัจจัยในเรื่องของการเปลี่ยนแปลงความเค็มของน้ำทะเล ซึ่งความเค็มเป็นปัจจัยแวดล้อมหนึ่งที่มีอิทธิพลมากต่อกระบวนการกรุดซับและการปลดปล่อยสารproto โดยดินตะกอน ความเค็มนี้ หรือคลอไรต์อ่อน จัดว่าเป็น complexing agent ตัวหนึ่งที่มีบทบาทสำคัญ ต่อการละลายและการเคลื่อนที่ของสารproto ในสิ่งแวดล้อม ทำให้มีผลต่อการเปลี่ยนพฤติกรรมการกรุดซับสารproto (Hahne and Kroontje, 1973a) ทั้งนี้คุณสมบัติของดินตะกอนบางประการยังมีอิทธิพลต่อกระบวนการกรุดซับอีกด้วย โดยเฉพาะปริมาณสารอินทรีย์ และเนื้อดินเหนียว (clay)

ด้วยเหตุนี้จึงเป็นเรื่องที่น่าสนใจอย่างยิ่ง หากมีการศึกษาการเปลี่ยนแปลงรูปแบบของสารproto ในน้ำและดินตะกอนบริเวณนิคมอุตสาหกรรมนานาชาติ ตลอดจนกลไกและกระบวนการต่างๆ ที่เกิดขึ้นในระบบ ซึ่งความรู้ ความเข้าใจในเรื่องของพฤติกรรมของสารproto ทั้งในน้ำ และดินตะกอน จะช่วยในการวางแผน และจัดการปัจจัยสิ่งแวดล้อมอันเนื่องมาจากการพัฒนาอุตสาหกรรมในบริเวณดังกล่าวໄว้เป็นอย่างดี และจะเป็นวัตถุรวมใหม่ของการศึกษาปัจจัยสิ่งแวดล้อมที่ไม่ใช่เป็นแต่เพียงการติดตามตรวจสอบแต่เพียงอย่างเดียว

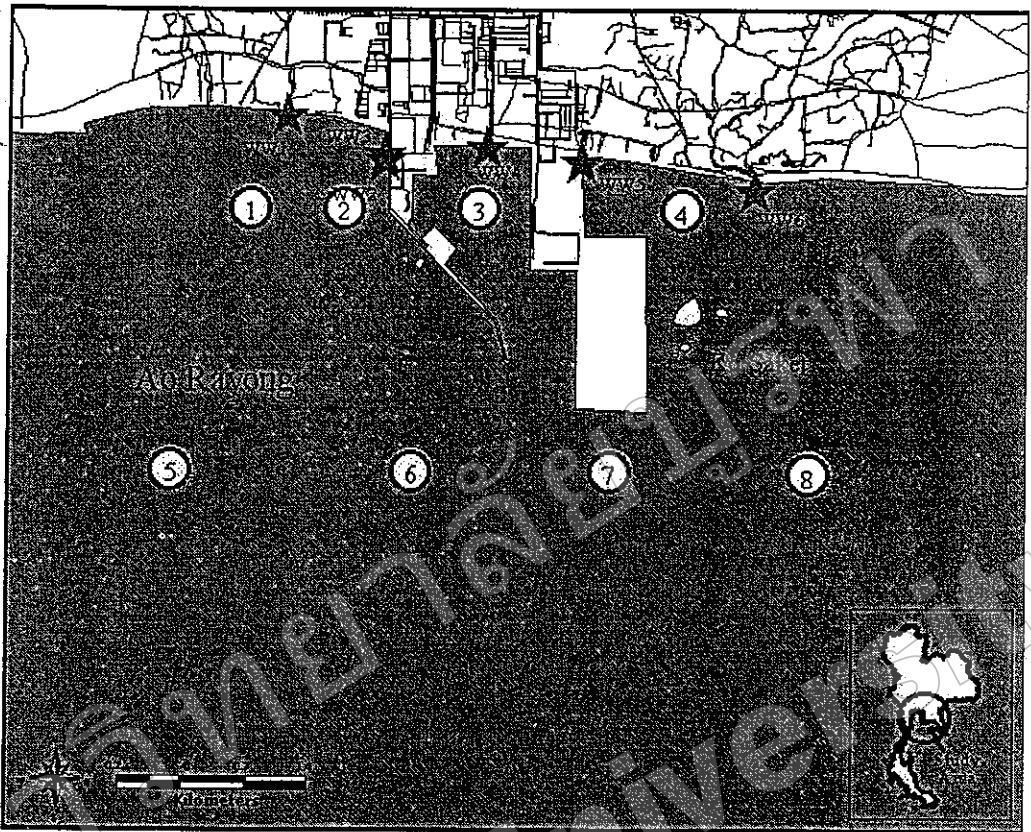
อุปกรณ์และวิธีการ

1. การสำรวจพื้นที่ และกำหนดสถานีเก็บตัวอย่าง

ทำการสำรวจพื้นที่โดยประสานงานกับสำนักงานนิคมอุตสาหกรรมนาบตาพุด จังหวัดระยอง เพื่อกำหนดสถานีเก็บตัวอย่างในบริเวณนิคมอุตสาหกรรมนาบตาพุด ให้ครอบคลุมพื้นที่ของนิคมอุตสาหกรรมนาบตาพุด และพื้นที่ที่ได้รับอิทธิพลจากน้ำทิ้งของนิคมอุตสาหกรรมพาเดงและนิคมอุตสาหกรรมตะวันออก โดยมีจุดเก็บตัวอย่างทั้งหมดรวม 8 สถานี ทั้งนี้ได้แบ่งจุดเก็บตัวอย่างออกเป็น 2 แนว คือ ระยะใกล้สิ่ง 500-1000 เมตร (สถานี 1-4) และระยะไกลสิ่งไม่เกิน 5 กิโลเมตร (สถานี 5-8) เพื่อศึกษาการกระจายของสารปะทุ นอกจากนี้ได้ทำการเก็บตัวอย่างน้ำทิ้งบนฝั่งบริเวณคลองระบายน้ำ และจุดที่ระบายน้ำสู่ทะเลเพิ่มอีก 6 สถานีด้วย (สถานี WW1 – WW6) รายละเอียดสถานีเก็บตัวอย่างแสดงไว้ในตารางที่ 1 และภาพที่ 3

ตารางที่ 1 ตำแหน่งสถานีเก็บตัวอย่างน้ำทะเลและพื้นที่ก่อนบริเวณนิคมอุตสาหกรรมนาบตาพุดและบริเวณใกล้เคียง จังหวัดระยอง

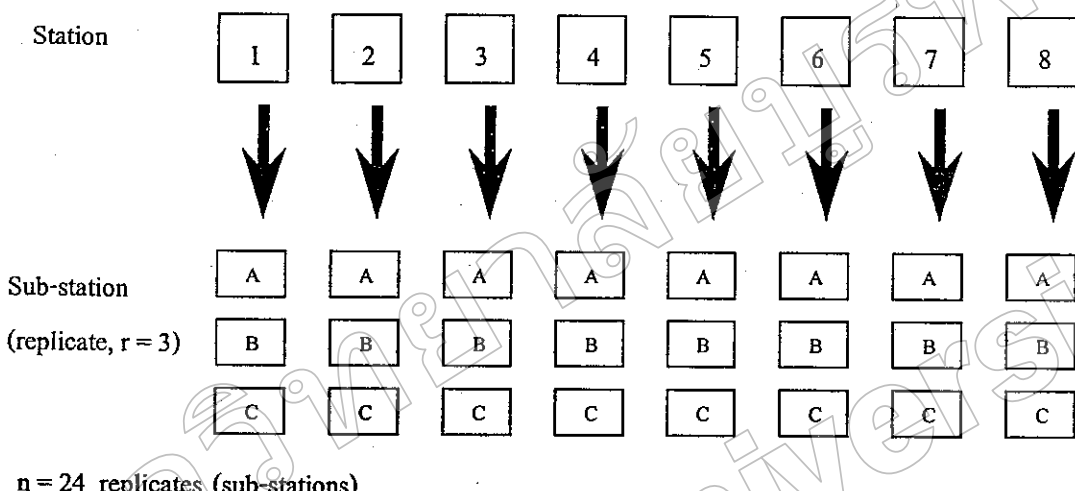
Station No.	Latitude	Longitude	Remark
1	N 12° 39' 57.8"	E 101° 07' 13.9"	
2	N 12° 39' 29.9"	E 101° 08' 04.2"	
3	N 12° 39' 39.4"	E 101° 08' 49.3"	
4	N 12° 39' 21.3"	E 101° 10' 36.7"	
5	N 12° 37' 30.8"	E 101° 06' 25.2"	
6	N 12° 37' 38.6"	E 101° 07' 41.9"	
7	N 12° 37' 38.8"	E 101° 09' 55.8"	
8	N 12° 37' 56.1"	E 101° 11' 25.9"	
WW1	N 12° 40' 14.1"	E 101° 07' 25.0"	wastewater sampling station
WW2	N 12° 40' 08.9"	E 101° 08' 09.0"	wastewater sampling station
WW3	N 12° 40' 09.9"	E 101° 08' 09.7"	wastewater sampling station
WW4	N 12° 40' 0.3"	E 101° 08' 55.8"	wastewater sampling station
WW5	N 12° 40' 17.5"	E 101° 09' 38.8"	wastewater sampling station
WW6	N 12° 39' 44.6"	E 101° 10' 59.6"	wastewater sampling station



ภาพที่ 3 สถานีเก็บตัวอย่างน้ำทรายและคินตะกอนบริเวณนิคมอุตสาหกรรมมาบตาพุด
และบริเวณใกล้เคียง จังหวัดระยอง

2. การเก็บตัวอย่างน้ำทะเล ดินตะกอน และสัตว์ทะเล

เก็บตัวอย่างน้ำทะเลและดินตะกอน รวม 2 ครั้ง คือในฤดูน้ำน้อยหรือฤดูแล้งในวันที่ 31 มีนาคม 2546 และฤดูน้ำมากหรือฤดูฝนในวันที่ 2 ตุลาคม 2546 สำหรับตัวอย่างน้ำที่เก็บในวันที่ 12 พฤษภาคม 2546 และวันที่ 30 กันยายน 2546 เพื่อศึกษาอิทธิพลของฤดูกาลที่มีต่อการสะสมสารปรอทในน้ำและดิน ตะกอน ในแต่ละสถานีได้แบ่งออกเป็น 3 sub-stations โดยมีระยะห่างกันประมาณ 5-20 เมตร เพื่อให้มี จำนวนชั้นของการเก็บตัวอย่างสถานีละ 3 ชั้น รวมทั้งหมด 24 sub-stations หรือ 24 ชั้น ดังรายละเอียดใน แผนผัง



ตัวอย่างน้ำทะเลเก็บโดยใช้เครื่องมือเก็บตัวอย่างน้ำที่ไม่ได้ทำด้วยโลหะ (Niskin non-metallic convertible water sampler) ที่ความถึก 2 ระดับ คือ ผิวน้ำ และเหนือพื้นดิน ตัวอย่างน้ำที่ได้จะเก็บใน ขวดแก้วไไฟเร็กซ์ที่มีฝารองในเป็น Teflon พร้อมทั้งเติมกรดไฮโดรคลอริกเข้มข้น เพื่อให้ pH ของน้ำต่ำ กว่าหรือเท่ากับ 2 ($\text{pH} \leq 2$) ทุ่มน้ำชุบพลาสติก 2 ชั้น และเก็บในถังแข็งเย็น นอกจากนี้ได้ทำการตรวจวัด คุณภาพน้ำขั้นพื้นฐาน ได้แก่ อุณหภูมิ ความเค็ม ความเป็นกรด-ด่าง ความโปร่งแสง ออกซิเจนและลักษณะ และสารอินทรีย์ที่ละลายน้ำในรูปของ Fluorescence intensity unit (DOC Fluorescence) ตามวิธีของ Hayase and Tsubota (1985) ของแต่ละสถานีไว้ด้วย

ดินตะกอน เก็บโดยใช้เครื่องเก็บตัวอย่างดินที่ดัดแปลงจากแบบของ Petersen grab หลังจาก นั้นนำมาเก็บไว้ในตู้แช่แข็ง และทำให้แห้งโดยใช้เครื่องทำแห้งด้วยความเย็น (Freeze dryer)

สำหรับสัตว์ทะเล เก็บตัวอย่างโดยขอจัดช่วงประจำเดือนที่ต้องการ แยกตามชนิดสัตว์ ประเภท และตกลงกัน หลังจากนั้นนำตัวอย่างมาล้างด้วยน้ำทะเลให้สะอาด จำแนกชนิด ชั้นน้ำหนักและ/หรือวัดความ ยาว และเอาเฉพาะส่วนเนื้อที่ใช้บริโภค และบดให้เป็นเนื้อเดียวกัน นำมาเก็บไว้ในตู้แช่แข็ง และทำให้ แห้งโดยใช้เครื่องทำแห้งด้วยความเย็น

3. การวิเคราะห์汞ปริมาณป্রอท (Mercury Analysis)

ปริมาณป্রอทในน้ำทะเลทำการสกัดและเตรียมตัวอย่างโดยใช้วิธี BrCl oxidation วิเคราะห์โดยใช้เทคนิค Cold Vapour Atomic Fluorescence Spectrometry (CVAFS) และวัดความเข้มข้นด้วยเครื่อง Atomic Fluorescence Spectrophotometer Model Merlin (P.S. Analytical Ltd.)

คืนตะกอนทำการสกัดด้วยส่วนผสมของ 9:1 HNO₃/HCl ตามวิธีของ Randlesome and Aston (1980) วิเคราะห์โดยใช้เทคนิค Cold Vapour Atomic Absorption Spectrometry (CVAAS) ด้วยระบบ Flow Injection Mercury Hydried System (FI-MHS) Model FIAS 100 ใช้ 0.2 % NaBH₄ in 0.05 % NaOH เป็น reducing agent และ 3% (v/v) HCl เป็น carrier solution และวัดความเข้มข้นด้วยเครื่อง Atomic Absorption Spectrophotometer Model 4110ZL (Perkin-Elmer, Connecticut, USA)

สำหรับตัวอย่าง ทำการสกัดด้วยส่วนผสมของกรด HNO₃/H₂SO₄/HCl ตามวิธีของ Louie (1983) และวิเคราะห์โดยใช้ระบบ Flow Injection Mercury Hydried System เช่นเดียวกับคืนตะกอน

ตัวอย่างแต่ละชนิดต้องถ่วงขึ้นด้วยน้ำหนักตัวอย่างละ 2 ชั่วโมง ความถูกต้องของผลการวิเคราะห์ สำหรับตัวอย่างน้ำทะเลตรวจสอบโดยการหาค่า % recovery หลังจากที่เพิ่มสารละลายน้ำตราร้านของป์รอนท์ทรายความเข้มข้นลงในตัวอย่างน้ำทะเล พบร่วม % recovery มีค่าอยู่ในช่วงระหว่าง 88.44-102.49 % (ตารางที่ 2)

ตารางที่ 2 % Recovery ของการวิเคราะห์ปริมาณป্রอทในน้ำทะเล

Sample	Hg Added ($\mu\text{g L}^{-1}$)	Hg Found ($\mu\text{g L}^{-1}$)	% Recovery
A	0	0.0042	
A	0.01	0.0130	88.44
B	0	0.0042	
B	0.01	0.0135	93.64
C	0	0.0026	
C	0.01	0.0114	88.44
D	0	0.0083	
D	0.01	0.0182	98.85
E	0	0.0026	
E	0.1	0.0999	97.28
F	0	0.0068	
F	0.1	0.1046	97.80
G	0	0.0078	
G	0.1	0.1056	97.80
H	0	0.0036	
H	0.1	0.1061	102.49

ส่วนตัวอย่างดินตะกอนและสัตว์ทะเลตรวจสอบกับดินตะกอนทะเลเรมาตรฐานที่ทราบความเข้มข้น (Marine Sediment Reference Material: MESS-3) และเนื้อเยื่อปลาทะเลเรมาตรฐานที่ทราบความเข้มข้น (Dogfish muscle: DORM-2) ตามลำดับ ของ National Research Council of Canada นอกจากนี้ตรวจสอบความแม่นยำของผลการวิเคราะห์ (precision) โดยคำนวณหาค่า % RSD (Relative Standard Deviation) ดังแสดงในตารางที่ 3 และ 4 ตามลำดับ

ตารางที่ 3 ผลการวิเคราะห์ดินตะกอนทะเลเรมาตรฐาน (MESS-3)

Heavy Metal	Certified Value ($\mu\text{g g}^{-1}$ dry weight)	Measured Value ($\mu\text{g g}^{-1}$ dry weight) (n = 9)	% Recovery	% RSD
Hg	0.091 ± 0.009	0.087 ± 0.008	81.32 - 109.89	9.2

ตารางที่ 4 ผลการวิเคราะห์เนื้อเยื่อปลาทะเลเรมาตรฐาน (DORM-2)

Heavy Metal	Certified Value ($\mu\text{g g}^{-1}$ dry weight)	Measured Value ($\mu\text{g g}^{-1}$ dry weight) (n = 6)	% Recovery	% RSD
Hg	4.64 ± 0.26	4.28 ± 0.19	85.28 - 97.76	4.4

4. การศึกษารูปแบบทางธารณีเคมีของสารปรอทในดินตะกอน (Fractionation of Mercury in Sediments)

รูปแบบทางธารณีเคมีของสารปรอทในดินตะกอนทำการศึกษาโดยใช้เทคนิค sequential extraction ตามวิธีของ Tessier et al. (1979) ซึ่งได้แบ่งรูปแบบทางเคมีของโลหะในดินตะกอนไว้ 5 รูป ได้แก่

- F1 exchangeable
- F2 bound to carbonates
- F3 bound to Fe and Mn oxides
- F4 bound to organic matter and sulfide
- F5 residual

การศึกษาดำเนินการโดยนำตัวอย่างดินตะกอนของแต่ละสถานีที่ทำให้แห้งแล้ว มาทำการสกัดอย่างต่อเนื่องตามลำดับ ตามวิธีที่ได้อธิบายไว้ใน Tessier et al (1979) ดังแสดงในตารางที่ 5 ทำการสกัดตัวอย่างละ 2 ชั้น และวิเคราะห์หาปริมาณปรอทในสารละลายน้ำโดยใช้วิธี BrCl oxidation ข้อมูลที่ได้ นอกจากจะทำให้ทราบถึงรูปแบบทางธารณีเคมีของสารปรอทในดินตะกอนแล้ว ยังสามารถใช้ในการทำนาย หรือประเมินค่า bioavailability และการเคลื่อนที่ (mobility) ของสารปรอทในดินตะกอนได้อีกด้วย

ตารางที่ 5 การสกัดหารูปแบบทางเคมีของสารปรอทในดินตะกอน โดยวิธี sequential extraction

Fraction	Extracted Component	Extractant	Process
F1	Exchangeable	8 mL of 1 M MgCl ₂ , pH 7.0	Shake for 1 h
F2	Bound to Carbonates	8 mL of 1 M NaOAc, (pH 5.0 with HOAc)	Shake for 5 h
F3	Bound to Fe-Mn Oxides	20 mL of 0.04 M NH ₂ OH. HCl in 25% (V/V) HOAc	96 ± 3°C for 6 h, Occasional shaking
F4	Bound to Organic Matter and Sulfide	(a) 3 mL of 0.02 M HNO ₃ + 5 mL of 30% H ₂ O ₂ (pH 2.0 with HNO ₃) (b) 3 mL of 30% H ₂ O ₂ (pH 2.0 with HNO ₃) (c) 5 mL of 3.2 M NH ₄ OAc in 20% (V/V) HNO ₃ . And dilute to 20 mL	(a) Heat to 85±2°C for 2 h with occasional shaking (b) Heat to 85±2°C for 3 h with intermittent shaking, then cool (c) shake for 30 min
F5	Residual	9:1 HNO ₃ /HCl mixture	1 h digestion at 50 °C

สำหรับความถูกต้องของวิธี sequential extraction ตรวจสอบโดยนำดินตะกอนทะเลเรียบร้าที่ทราบความเข้มข้น (Marine Sediment Reference Material; MESS-3) มาทำการสกัดพร้อมกับหัวอย่างแล้วนำผลรวมของห้วย 5 fraction มาเปรียบเทียบกับค่าความเข้มข้นของปรอท (certified value) ในดินตะกอนทะเลเรียบร้า ผลการศึกษาแสดงในตารางที่ 6

ตารางที่ 6 Sequential extraction ของดินตะกอนทะเลเรียบร้าที่ทราบความเข้มข้น (MESS-3)

Fraction	MESS-3 ($\mu\text{g g}^{-1}$ dry weight)				Mean ± SD (n = 4)
	1	2	3	4	
F1	0.0023	0.0007	nd	nd	
F2	nd	nd	nd	nd	
F3	0.0028	0.0037	0.0033	0.0029	0.0029
F4	0.0076	0.0059	0.0029	0.0020	0.0020
F5	0.1077	0.0916	0.1012	0.1074	
Sum	0.120	0.102	0.107	0.112	0.111 ± 0.008
Certified value	0.091	0.091	0.091	0.091	0.091
% Recovery	132.31	111.98	118.02	123.41	121.43 ± 8.63

หมายเหตุ: nd = 0.0003 $\mu\text{g g}^{-1}$ dry weight สำหรับ F1 และ F2

5. การสกัด汞ปริมาณprotoในดินตะกอนที่สามารถเข้าสู่สิ่งมีชีวิตได้ (Extraction of Bioavailable Form of Mercury in Sediments)

proto ในรูปของ bioavailable form ในดินตะกอน ทำการศึกษาโดยใช้ selective dissolution technique ซึ่งสกัดตัวอย่างด้วย 0.5 N HCl ตามวิธีของ Chester and Voutsinou (1981) ทำการวิเคราะห์ตัวอย่างละ 2 ช้ำ

6. การวิเคราะห์คุณสมบัติของดินตะกอน (Sediment Characterization)

วิเคราะห์คุณสมบัติของดินตะกอนบางประการดังแสดงในตารางที่ 7 ตัวอย่างละ 2 ช้ำ เพื่อใช้ในการหาความสัมพันธ์กับปริมาณprotoรวมที่อยู่ในดินตะกอน โดยการคำนวณหาค่าสัมประสิทธิ์สหสัมพันธ์แบบเพียร์สัน (Pearson correlation coefficient, r) ด้วยโปรแกรมสำหรับ SPSS

ตารางที่ 7 คุณสมบัติของดินตะกอนบางประการที่ทำการวิเคราะห์และวิเคราะห์

Parameter	Method of Analysis	Reference
pH	pH meter (1:2.5 sediment: water)	
Cation exchange capacity (CEC)	Ammonium acetate saturation *	
Organic matter	Acid-dichromate oxidation	Nelson and Sommers (1982)
Calcium carbonate	Gravimetric method for loss of carbon dioxide	Goh et al.(1993)
Total Fe and Mn oxides	Dithionite-citrate method	Ross and Wang (1993)
Amorphous Fe and Mn oxides	Acid ammonium oxalate	Ross and Wang (1993)
Particle size distribution	Hydrometer method	Sheldrick and Wang (1993)
Sediment texture	Textural triangle	Hillel (1998)

* วิเคราะห์โดย ภาควิชาปฐพิทยา คณะเกษตรศาสตร์ มหาวิทยาลัยเกษตรศาสตร์

7. การทดลองเพื่อศึกษาการดูดซับและการปลดปล่อยสารprotoโดยดินตะกอน (Adsorption and Desorption of Mercury by Sediments)

การทดลองนี้มีวัตถุประสงค์เพื่อศึกษาความสามารถของดินตะกอนในการดูดซับและการปลดปล่อยสารproto และศึกษาอิทธิพลของความเค็มหรือคลอไรด์อ่อนที่มีต่อกระบวนการหั้งสอง รวมทั้งความสัมพันธ์กับคุณสมบัติของดินตะกอน ตลอดจนกลไกต่างๆที่เกิดขึ้นในระบบ

7.1 การทดลองเกี่ยวกับการดูดซับ

ทำการทดลองกับดินตะกอนทะเบบเริ่วนิคมอุดสาหกรรมนาบตาพุดหั้ง 8 สถานีเฉพาะที่เก็บด้วยร่องน้ำในดินแล้ว การทดลองใช้เทคนิคที่เรียกว่า batch equilibration technique ใช้อัตราส่วนดินตะกอนต่อสารละลายน้ำ 1 : 10 โดยใช้สารละลายน้ำ 0.01 M Ca(NO₃)₂ เป็น background electrolyte ทั้งนี้เพื่อลดการเกิด non-specific adsorption และเพื่อให้เหมือนกับสภาพจริงของสารละลายน้ำในธรรมชาติ เมื่อจากแคลเซียม เป็นอิออนบวกที่พบได้ทั่วไปและมีอยู่มากในดิน (Bohn et al., 1985) ส่วนในธรรมชาติสามารถจับกับprotoเพื่อเกิดสารประกอบเชิงช้อน (complex formation) ได้น้อยมากหรือแทบไม่มีเลย (Newton et al., 1976; Sarkar et al., 1999) ทำการทดลองที่ความเค็ม 4 ระดับ คือ 0 15 30 และ 45 psu (practical salinity unit) โดยใช้โซเดียมคลอไรด์ (NaCl) เติมลงในสารละลายน้ำ background electrolyte ให้ได้ความเค็มต่างๆตามต้องการ และตรวจสอบโดยใช้ hand refractometer

การทดลองในแต่ละความเค็มทำในหลอด polypropylene centrifuge tube (Nalgene) ขนาด 50 มิลลิเมตรซึ่งทำความสะอาดด้วยกรดในคริกเรียนร้อยแล้ว ใส่ดินตะกอนหนัก 2.00 กรัม และสารละลายน้ำ background electrolyte 20 มิลลิลิตรที่มีสารprotoความเข้มข้นต่างๆ กัน โดยทดลองเลือกช่วงความเข้มข้นที่เหมาะสมสำหรับดินตะกอนแต่ละชนิดก่อน ทั้งนี้สารละลายน้ำ proto เนื่องจาก Hg(NO₃)₂.H₂O เมื่อได้ช่วงความเข้มข้นที่เหมาะสมแล้ว จึงทำการทดลองจริงความเข้มข้นละ 2 ชั้้ แนะนำตัวอย่างที่เตรียมเสร็จแล้วมาเบี่ยงเพื่อให้protoอยู่ในสภาพสมดุลในสารละลายน้ำ (equilibrate) โดยใส่ลงในเครื่องเบี่ยง (shaker) ที่ความเร็ว 100 รอบต่อนาที ควบคุมอุณหภูมิที่ 27 ± 1 องศาเซลเซียส เป็นเวลา 24 ชั่วโมง การเลือกใช้เวลาในการเบี่ยงที่ 24 ชั่วโมงได้มาจาก การทดลองเบื้องต้นเพื่อหาระยะเวลาสัมผัสที่เข้า去找ลักษณะของ การดูดซับ (equilibrium time) ซึ่ง protoที่เหลืออยู่ในสารละลายน้ำ หรือในปริมาณที่คงที่หลังจากดูดซับเข้าไปในดินตะกอน ทั้งนี้โดยการเติมสารprotoที่ความเข้มข้น 2.0 มิลลิกรัมต่อติกร ลงในดินตะกอนและนำไปเบี่ยงที่ระยะเวลาต่างๆ คือ 1, 2, 4, 8, 12 และ 24 ชั่วโมง แล้วตรวจปริมาณprotoที่เหลืออยู่ในสารละลายน้ำ จากผลการทดลองพบว่าระยะเวลาที่เหมาะสม คือ ที่ 24 ชั่วโมง

เมื่อครบกำหนดเวลาในการเบี่ยงตัวอย่าง (24 ชั่วโมง) ทำการแยกสารละลายน้ำใส่และดินตะกอนออกจากกันโดยใช้เครื่องปั่นเหวี่ยง (centrifuge, Tomy Seiko Model CD-100-R, Rotor no. RT-7-A) ที่ความเร็ว 3,500 rpm เป็นเวลา 15 นาที นำสารละลายน้ำที่ได้กรองด้วยกระดาษกรอง Whatman No. 2 แล้วนำมาวิเคราะห์หาปริมาณprotoโดยใช้ระบบ Flow Injection Mercury Hydried System

(FI-MHS) วัดความเข้มข้นด้วยเครื่อง Atomic Absorption Spectrophotometer Model 4110ZL (Perkin-Elmer, Connecticut, USA) และนำตัวอย่างส่วนหนึ่งวัดค่า pH ไว้ด้วย คำนวณหาค่าปริมาณprotoที่ถูกดูดซับ โดยคิดคิดคุณจากผลค่าระหว่างปริมาณprotoเริ่มต้นที่เติมลงไปและปริมาณprotoที่เหลืออยู่ในสารละลายเมื่อถึงสุดการดูดซับ (equilibrating concentration) นำข้อมูลที่ได้มาสร้างเส้นกราฟโดยใช้แบบจำลองการดูดซับในรูปของสมการ Freundlich isotherm เพื่อใช้อธิบายกระบวนการดูดซับ ดังแสดงในสมการที่ (1)

$$\frac{x}{m} = KC^{1/n} \quad (1)$$

สมการดังกล่าวสามารถเปลี่ยนให้อยู่ในรูปของสมการเส้นตรงได้ดังแสดงในสมการที่ (2)

$$\log \frac{x}{m} = \log K + \frac{1}{n} \log C \quad (2)$$

เมื่อ

$\frac{x}{m}$ = ปริมาณprotoที่ถูกดูดซับเข้าไปในคืนตะกอน (ในครั้งรัมต่อกรัม)

C = ความเข้มข้นของprotoที่เหลืออยู่ในสารละลาย ณ สถานะสมดุล
(ในครั้งรัมต่อลิตร)

K และ $1/n$ เป็นค่า Freundlich constants โดย K เป็นค่า intercept ของสมการใช้แสดงค่าความจุหรือความสามารถในการดูดซับของคืนตะกอน (adsorption capacity หรือ degree of affinity of the solid phase/degree or strength of adsorption) ส่วน $1/n$ เป็นค่า adsorption isotherm slope ใช้แสดงค่า อัตราเร็วของการดูดซับ (rate of adsorption หรือ intensity of adsorption)

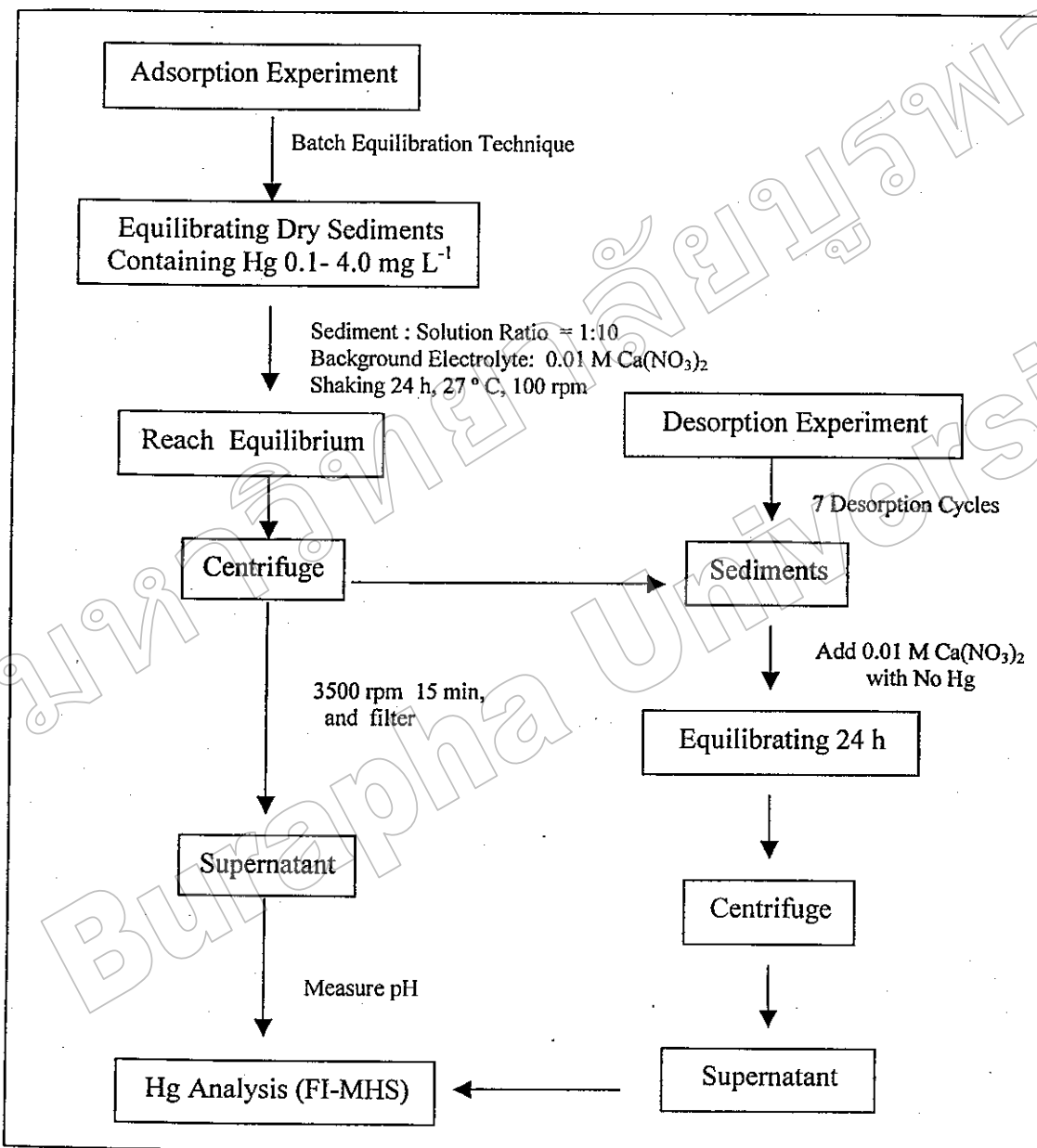
ทดสอบความเหมาะสมของสมการ Freundlich isotherm ที่ได้โดยพิจารณาจากค่าสหสัมพันธ์ (R^2) และทดสอบนัยสำคัญทางสถิติของค่า R^2 ด้วย คำนวณหาค่า K และ $1/n$ ของการดูดซับ (K_{ads} และ $1/n_{ads}$) โดยใช้ regression analysis แบบ power model ด้วยโปรแกรม SPSS และ EXCEL

7.2 การทดลองเกี่ยวกับการปลดปล่อย

ทำการทดลองศึกษาการปลดปล่อยสารprotoออกจากคืนตะกอนต่อเนื่องจากการทดลองการดูดซับโดยเติมสารละลาย background electrolyte ที่ไม่มีสารprotoลงไปในคืนตะกอน แล้วนำไปเผาในเครื่องเผาเป็นเวลา 24 ชั่วโมง ดำเนินการทดลองภายใต้สภาวะอย่างเดียวกับการศึกษาการดูดซับ โดยเลือกทำการทดลองที่ความเข้มข้น 2 ระดับซึ่งแตกต่างกัน ศึกษาการปลดปล่อยสารprotoออกจากคืนตะกอนในแต่ละระดับความเข้มข้นรวม 7 รอบ (7 desorption cycles) และทดลองที่ความเข้ม 4 ระดับ

คำนวณหาปริมาณprotoที่บังคับเหลืออยู่ในดินตะกอนหลังจากที่protoของบางส่วนได้ถูกแยกหรือปล่อยออกจากดินตะกอนแล้ว นำข้อมูลที่ได้มาทดสอบความเหมาะสมกับสมการ Freundlich isotherm และคำนวณหาค่า K และ 1/n ของการปลดปล่อย (K_{des} และ $1/n_{des}$) เพื่อเปรียบเทียบกับค่าที่ได้จากการวนการดูดซับ

การทดลองเพื่อศึกษากระบวนการดูดซับและการปลดปล่อยสารprotoโดยดินตะกอนดังกล่าว ขั้นตอน สรุปได้ดังแสดงในภาพที่ 4



ภาพที่ 4 แผนผังแสดงการทดลองเพื่อศึกษาการดูดซับและการปลดปล่อยสารprotoโดยดินตะกอน

ผลและวิจารณ์ผล

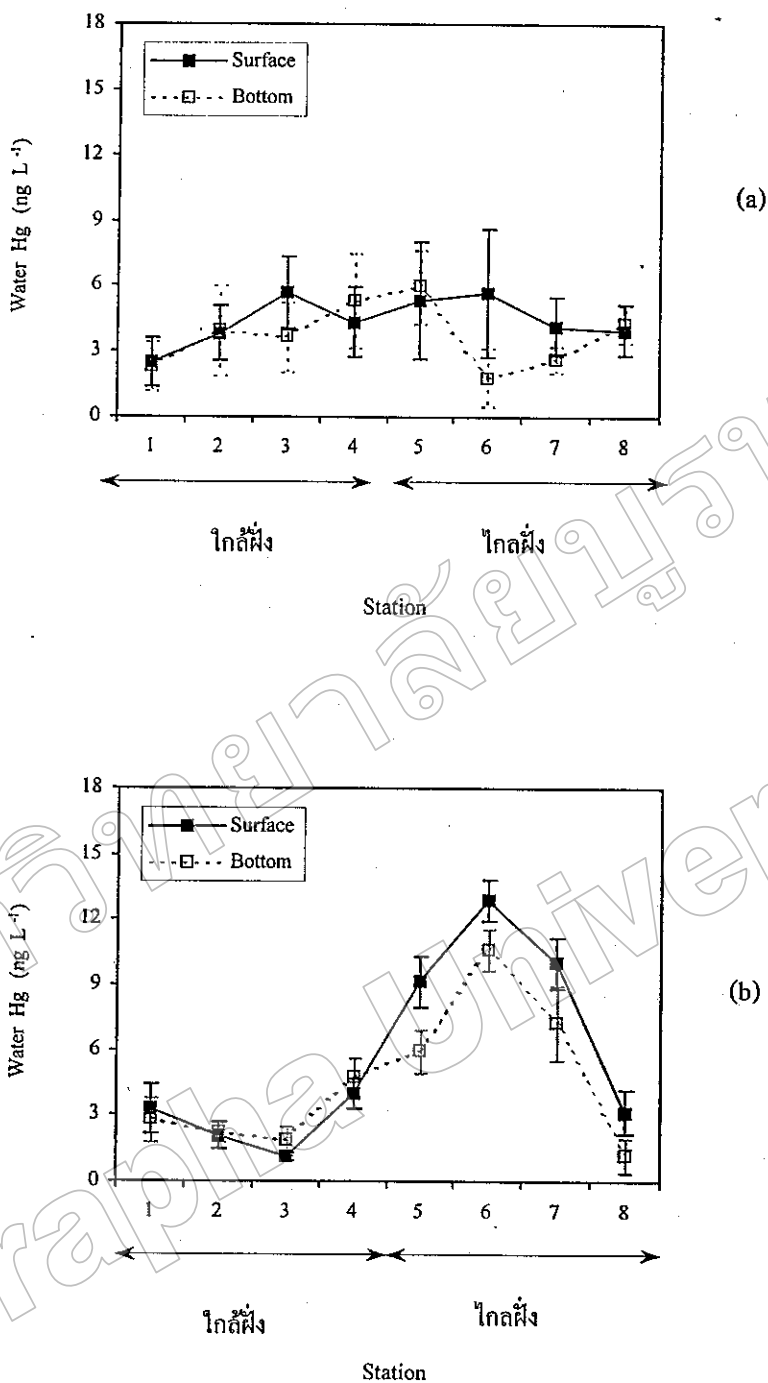
1. การกระจายของสารปะอุทในน้ำ

ผลการศึกษาปริมาณปะอุทรวมในน้ำบริเวณชายฝั่งทะเลนิกานอุดสาหกรรมมาบตาพูด พบร่วมกับความเข้มข้นที่ผิวน้ำและเนื้อพื้นดินของทั้งสองตัวอย่างไม่มีค่าไม่แตกต่างกันอย่างมีนัยสำคัญทางสถิติ ($p > 0.05$) (ภาพที่ 5) และคงว่าในน้ำทะเลมีการทดสอบกันอย่างติดต่อความลึกทั้งสองตัวอย่าง โดยค่าเฉลี่ยของปะอุทรวมที่ผิวน้ำและเนื้อพื้นดินของสถานีต่างๆ ในตู้แอลจีร์มีค่าระหว่าง $2.42 - 5.67 \text{ ng L}^{-1}$ และตู้ฟอนมีค่าระหว่าง $1.52 - 11.77 \text{ ng L}^{-1}$ (ตารางที่ 8) ซึ่งค่าที่ตรวจพบตั้งแต่ต่ำกว่ามาตรฐานคุณภาพน้ำทะเลเดียวผังของไทยหลายเท่า (ค่าน้ำมาตรฐานสารปะอุทในน้ำทะเลของไทยกำหนดไว้ให้มีค่าไม่เกิน $0.1 \mu\text{g L}^{-1}$ หรือ 100 ng L^{-1}) ความเข้มข้นของสารปะอุทในตู้ฟอนมีแนวโน้มสูงกว่าในตู้แอลจีร์เพียงบางสถานีเท่านั้น โดยเฉพาะสถานีที่ 6 และ 7 (ภาพที่ 5) ซึ่งเป็นสถานีที่อยู่ใกล้ฝั่งและอยู่ในบริเวณศูนย์กลางของนิกานอุดสาหกรรมฯ ทั้งนี้อาจเป็นไปได้ว่าน้ำฝนได้พัดพาสารปะอุทจากบนผิวดอกสู่ทะเล

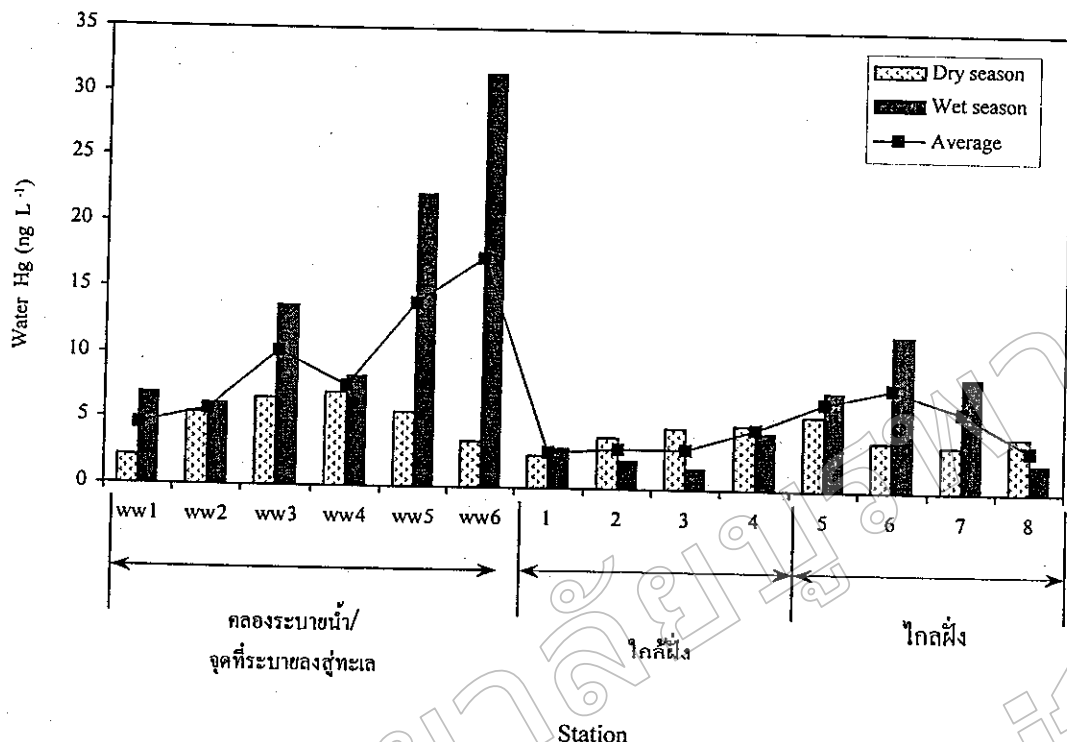
**ตารางที่ 8 ปริมาณปะอุทรวมในน้ำบริเวณชายฝั่งทะเลนิกานอุดสาหกรรมมาบตาพูด จังหวัด ยะลา
ในตู้แอลจีร์ (31 มีนาคม 2546) และตู้ฟอน (2 ตุลาคม 2546) รวมทั้งค่าเฉลี่ยติดต่อปี
(หน่วยเป็น ng L^{-1})**

Station	Dry Season (March 2003)			Wet Season (October 2003)			Year Average
	Surface (n = 6)	Bottom (n = 6)	Mean \pm SE (n = 12)	Surface (n = 6)	Bottom (n = 6)	Mean \pm SE (n = 12)	
1	2.50	2.33	2.42 ± 0.75	3.30	2.82	3.06 ± 0.70	2.74
2	3.83	4.00	3.92 ± 1.14	2.07	2.25	2.16 ± 0.38	3.04
3	5.67	3.67	4.67 ± 1.12	1.13	1.90	1.52 ± 0.35	3.10
4	4.33	5.33	4.83 ± 1.29	4.00	4.78	4.39 ± 0.55	4.61
5	5.33	6.00	5.67 ± 1.51	9.15	5.93	7.54 ± 0.83	6.61
6	5.67	1.83	3.75 ± 1.65	12.90	10.63	11.77 ± 0.75	7.76
7	4.17	2.67	3.42 ± 0.74	10.00	7.30	8.65 ± 1.07	6.04
8	4.00	4.33	4.17 ± 0.68	3.15	1.23	2.19 ± 0.67	3.18

หมายเหตุ : Method Detection Limit (MDL) = 1 ng L^{-1}



ภาพที่ 5 การกระจายของสารปรอท (ค่าเฉลี่ย \pm ความคลาดเคลื่อนมาตรฐาน, $n = 6$) ที่ผิวน้ำและเนื้อพื้นดิน ในบริเวณชายฝั่งทะเลนิคมอุดสาหกรรมมหาตากุน (a) ฉู่เหลือง และ (b) ฉู่ฟุน



ภาพที่ 6 เปรียบเทียบค่าเฉลี่ยความเข้มข้นของปรอทรวมในน้ำทิ้งในคลองระบายน้ำทิ้ง/จุดที่ระบายน้ำลงสู่ทะเล และความเข้มข้นเฉลี่ยของปรอทรวมในน้ำทะเลบริเวณนิคมอุตสาหกรรมนาบตาพุด ในถูกแล้ง และถูกฝน และค่าเฉลี่ยตลอดปี

สำหรับความเข้มข้นของปรอทรวมในบริเวณคลองระบายน้ำทิ้ง/จุดที่ระบายน้ำลงสู่ทะเล พนฯว่า ในถูกแล้งมีค่า $2.22 - 7.00 \text{ ng L}^{-1}$ และในถูกฝนมีค่า $6.14 - 31.53 \text{ ng L}^{-1}$ (ตารางที่ 9) ซึ่งความเข้มข้นดังกล่าวสูงกว่าที่ตรวจพบในน้ำทะเลทั้งสองถูกและในถูกฝนพบสูงกว่าถูกแล้งด้วย จุดที่พบสูงคือ ปากคลองบ้านตาหวาน (สถานี WW6) ซึ่งเป็นคลองระบายน้ำทิ้งจากแหล่งชุมชนนาบตาพุด และคลองน้ำที่ร่องลงมาคือ คลองระบายน้ำทิ้งของการนิคมอุตสาหกรรมและน้ำจากการระบายน้ำฝน (สถานี WW5) (ภาพที่ 6) ดังนั้นการปนเปื้อนของสารปรอทในน้ำทะเล จึงนำมาจากกิจกรรมบนผิว คือ น้ำทิ้งจากแหล่งชุมชนและอุตสาหกรรม อย่างไรก็ตาม ความเข้มข้นของปรอทที่ตรวจพบในคลองระบายน้ำทิ้งยังต่ำกว่าค่ามาตรฐานคุณภาพน้ำทิ้งจากโรงงานอุตสาหกรรมและนิคมอุตสาหกรรมซึ่งกำหนดไว้ให้มีค่าไม่เกิน $5 \mu\text{g L}^{-1}$ (หรือเท่ากับ $5,000 \text{ ng L}^{-1}$) (กรมควบคุมมลพิษ, 2543) และต่ำกว่าค่ามาตรฐานสารปรอทในน้ำทะเลของไทยด้วย

พิจิตร จังหวัดที่ตั้งต้นของแม่น้ำเจ้าพระยาที่สำคัญที่สุดแห่งหนึ่งในประเทศไทย

ពេទ្យលេ (30 កីឡាបាយន 2546)

Station	Location	Dry Season (May 2003)				Wet Season (October 2003)					
		Salinity (psu)	pH	DOC Fluorescence (Unit) Humic Acid	Total Hg* (ng L ⁻¹)	Salinity (psu)	pH	DOC Fluorescence (Unit) Humic Acid	Total Hg* (ng L ⁻¹)		
WW1	คลองบางปือ น้ำเขียวแกนศิริมหิดลฯ กรุงเทพฯและปริมณฑลสีเขียวเข้ม	10	7.9	2.27	189.08	2.22±0.06	5	7.7	3.50	204.96	6.94±0.17
WW2	คลองบางปือและชุมชนนาขะดูด น้ำเขียวแกนศิริมหิดลสีเขียวเข้ม	8	7.0	3.46	198.03	5.44±0.83	3	6.7	1.28	128.92	6.14±0.52
WW3	คลองบางปือและชุมชนนาขะดูด น้ำเขียวแกนศิริมหิดลสีเขียวเข้ม	4	6.8	2.08	689.80	6.67±0.22	2	6.9	2.17	882.53	13.72±0.38
WW4	คลองบางปือและชุมชนนาขะดูด น้ำเขียวแกนศิริมหิดลสีเขียวเข้ม	3	7.1	3.86	218.86	7.00±0.38	1	7.5	2.53	150.01	8.40±0.58
WW5	คลองบางปือและชุมชนนาขะดูด น้ำเขียวแกนศิริมหิดลสีเขียวเข้ม	20	7.7	1.85	143.34	5.56±0.06	1	7.4	7.00	167.35	22.39±0.43
WW6	คลองบางปือและชุมชนนาขะดูด น้ำเขียวแกนศิริมหิดลสีเขียวเข้ม	4	7.9	5.33	344.82	3.44±0.17	1	7.1	11.96	151.38	31.53±0.77

ข้อมูลทางกายภาพและเคมีของน้ำทะเลโดยทั่วไปในบริเวณชายฝั่งนิคมอุตสาหกรรมมาบตาพุด ในกุฎีแล้งและกุฎีฝน แสดงในตารางที่ 10 และ 11 พบว่าไม่มีความแตกต่างกันในระดับความลึก และ คุณภาพน้ำทั้งสองกุฎีไม่แตกต่างกันมากนักด้วย

ตารางที่ 10 ข้อมูลทางกายภาพและเคมีของน้ำทะเลโดยทั่วไปในบริเวณชายฝั่ง นิคมอุตสาหกรรมมาบตาพุด จังหวัดระยอง ในกุฎีแล้ง (31 มีนาคม 2546)

Station	Depth (m)	Transparency (m)	Temp. (°C)	Salinity (psu)	pH	DO (mg L ⁻¹)	DOC Fluorescence (Unit)	
							Humic Acid	Fulvic Acid
1	4	2.1	Surface	31.5	31	8.2	8.3	0.34
			Bottom	31	31	8.2	7.5	0.36
			Average	31.3	31	8.2	7.9	0.35
2	4	1.5	Surface	32	30	8.2	8.3	0.25
			Bottom	31	30	8.2	7.8	0.31
			Average	31.5	30	8.2	8.1	0.28
3	11.9	2.4	Surface	31	30	8.3	8.6	0.29
			Bottom	30	30	8.2	7.2	0.26
			Average	30.5	30	8.2	7.9	0.28
4	3.9	1.4	Surface	31	30	8.2	9.5	0.36
			Bottom	31	31	8.2	9.0	0.33
			Average	31	30.5	8.2	9.3	0.34
5	16	11	Surface	30	30	8.1	8.4	0.22
			Bottom	29	31	8.2	8.0	0.25
			Average	29.5	30.5	8.1	8.2	0.23
6	14.5	7	Surface	31	30	8.2	8.2	0.27
			Bottom	30	31	8.2	8.0	0.24
			Average	30.5	30.5	8.2	8.1	0.26
7	12	1.5	Surface	31	30	8.2	9.0	0.40
			Bottom	30	32	8.2	7.5	0.23
			Average	30.5	31	8.2	8.3	0.31
8	11	2.1	Surface	31	30	8.2	8.4	0.32
			Bottom	30	31	8.2	8.0	0.32
			Average	30.5	30.5	8.2	8.2	0.32

ตารางที่ 11 ข้อมูลทางกายภาพและเคมีของน้ำทะเลโดยทั่วไปบริเวณชายฝั่ง นิคมอุตสาหกรรมมาบตาพุด

จังหวัดระยอง ในฤดูฝน (2 ตุลาคม 2546)

Station	Depth (m)	Transparency (m)	Temp. (° C)	Salinity (psu)	pH	DO (mg L ⁻¹)	DOC Fluorescence (Unit)	
							Humic Acid	Fulvic Acid
1	4.3	2.1	Surface	31.2	27	8.2	8.0	0.22
			Bottom	30.8	28	8.2	6.5	0.20
			Average	31.0	27.5	8.2	7.2	0.21
2	4.7	3.2	Surface	32.6	27	8.2	6.4	0.18
			Bottom	30.2	28	8.2	6.3	0.20
			Average	31.4	27.5	8.2	6.4	0.19
3	10.6	2.4	Surface	31.3	28	8.4	9.6	0.22
			Bottom	30.3	29.3	8.2	6.0	0.19
			Average	30.8	28.7	8.3	7.8	0.20
4	4.5	0.8	Surface	31.2	26	8.3	8.6	0.36
			Bottom	30.7	27	8.3	7.9	0.25
			Average	31.0	26.5	8.3	8.2	0.30
5	8.2	5	Surface	29.9	27	8.3	6.5	0.22
			Bottom	29.6	28	8.1	6.1	0.16
			Average	29.8	27.5	8.2	6.3	0.19
6	14.5	6.2	Surface	30.3	25	8.2	6.8	0.20
			Bottom	29.6	24	8.2	6.4	0.16
			Average	30.0	24.5	8.2	6.6	0.18
7	9.5	3.4	Surface	30.0	28	8.3	6.9	0.22
			Bottom	29.6	29	8.1	6.5	0.16
			Average	29.8	28.5	8.2	6.7	0.19
8	11.2	4.5	Surface	30.3	27	8.3	6.4	0.19
			Bottom	29.9	30	8.2	6.0	0.17
			Average	30.1	28.5	8.2	6.2	0.18

ปริมาณป्रอทรวมในน้ำทะเลและในน้ำทึบที่คลองระบายน้ำ พบว่ามีความสัมพันธ์ทางบวกก่อน ขึ้นสูงกับ Humic acid ที่อยู่สารอินทรีย์ที่ละลายน้ำ ซึ่งได้ทำการวัดค่าไว้ในรูปของ DOC Fluorescence (ภาพที่ 7) โดยเฉพาะพบความสัมพันธ์ที่ชัดเจนมากกับน้ำทึบที่คลองระบายน้ำหรือชุดที่ระบายน้ำลงสู่ทะเล ในฤดูฝน จากความสัมพันธ์ดังกล่าวแสดงว่าในน้ำทึบมี Humic acid ในสารอินทรีย์สูงจะพบปริมาณป্রอทรวมสูงตามด้วย และจากการศึกษาครั้งนี้ก็พบว่าในน้ำทึบมีสารอินทรีย์ที่ละลายน้ำทึบ Humic acid และ Fulvic acid สูงกว่าในน้ำทะเลมากด้วย

Humic acid และ Fulvic acid เป็นองค์ประกอบหลักที่อยู่ในสารอินทรีย์ทึบในน้ำและดินตะกอน และมีความสามารถในการจับกับสารปrótoได้โดยเฉพาะในสารอินทรีย์ที่มี S-containing functional groups มาก (Wallschläger et al., 1998b) การไม่พบความสัมพันธ์ระหว่างสารปróto กับ Fulvic acid ใน การศึกษาครั้งนี้ อาจเนื่องมาจากโดยทั่วไป Humic acid มีองค์ประกอบของ กำมะถัน (S) และไนโตรเจน (N) มากกว่า Fulvic acid (Nissenbaum and Kaplan, 1972) ซึ่งทำให้ Humic acid มีบทบาทสำคัญในการ

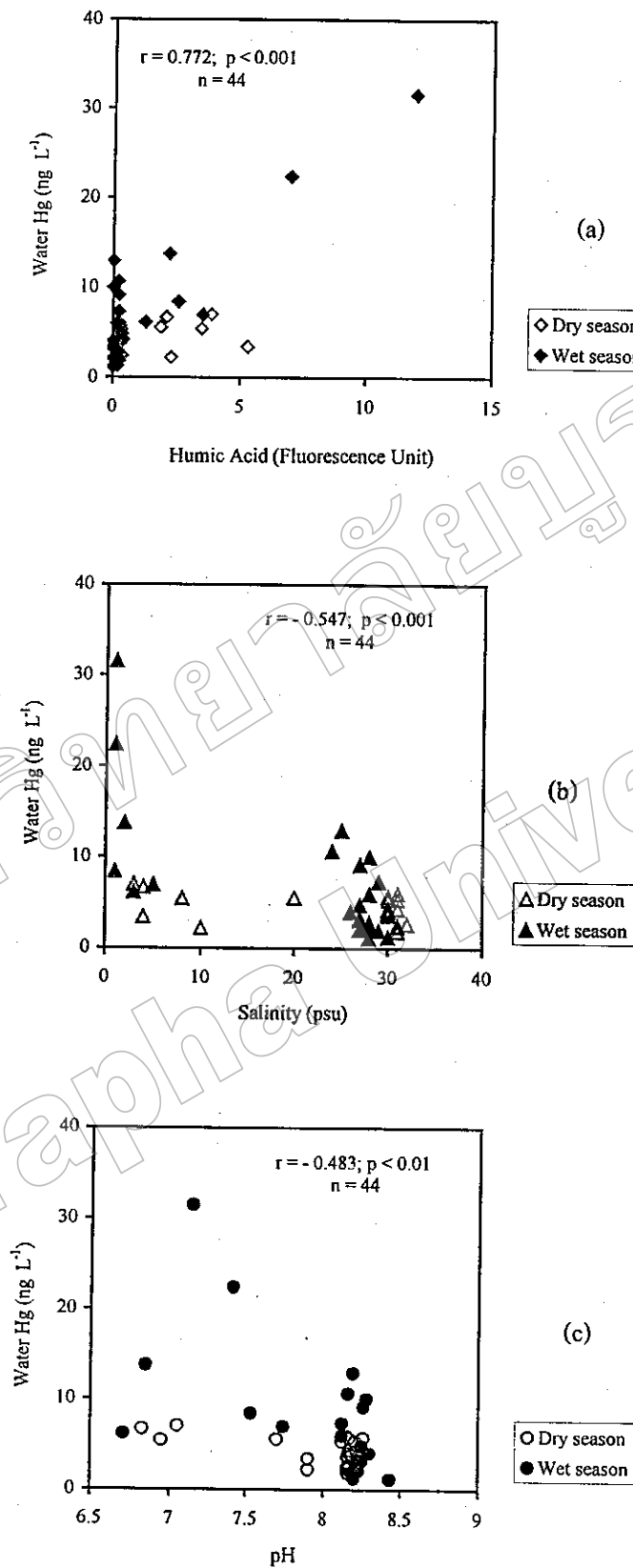
๖๒๘. ๑๖๘๓

๑๕ ๔๙๑

๗๐

197493

จับกับสารป्रอทได้ดีกว่า Fulvic acid นอกจากนี้ยังพบว่าความเข้มข้นของสารป्रอทมีแนวโน้มลดลง เมื่อความเค็มของน้ำเพิ่มขึ้น (ภาพที่ 7) ซึ่งแสดงถึงการถูกเจือจางด้วยน้ำเค็ม และสารป्रอทยังนิenna แนวโน้มลดลงเมื่อความเป็นกรด-ค่างของน้ำเพิ่มขึ้นอีกด้วย (ภาพที่ 7) สาเหตุน่าจะเกี่ยวข้องกับกระบวนการ Hydrolysis ของสารป्रอท เนื่องจากเมื่อความเป็นกรด-ค่างเพิ่มขึ้นและมากกว่า 6 สารป्रอทจะอยู่ในรูปของ Hg(OH)_2 (Hahne and Kroon, 1973a) ซึ่งมีความว่องไวในการดูดซับเข้าสู่ดินตะกอนได้ดี (Yin et al., 1996) จึงทำให้ปริมาณป्रอทที่เหลืออยู่ในน้ำลดลงเมื่อความเป็นกรด-ค่างเพิ่มขึ้น



2. การกระจายของสารปอทในดินตะกอนและความสัมพันธ์กับคุณสมบัติในดินตะกอน

การศึกษาปริมาณปอทรวมในดินตะกอนในฤดูแล้ง พบร่วมกับค่าอย่างกว้าง $0.006\text{--}0.130 \mu\text{g g}^{-1}$ น้ำหนักแห้ง และคุณสมบัติค่าระหว่าง $<0.0023\text{--}0.224 \mu\text{g g}^{-1}$ น้ำหนักแห้ง (ตารางที่ 12) ปริมาณปอทรวมในดินตะกอนที่ตรวจพบมีความแตกต่างกันอย่างมีนัยสำคัญยิ่งทางสถิติ ($p < 0.001$) ขึ้นอยู่กับคุณภาพและสถานี ในบริเวณสถานีใกล้ฝั่งปริมาณจะสูงกว่าสถานีไกลฝั่ง (ภาพที่ 8) โดยค่าสูงสุดทึ่งสองคุณภาพบริเวณตอนในของนิคมอุตสาหกรรมนานาชาติ (สถานีที่ 3) โดยเฉพาะจุดที่พบสูงมากอยู่บริเวณหน้าโรงงานปีโตรเคมีและในฤดูฝนพบสูงกว่าฤดูแล้ง (ภาพที่ 8) ส่วนปริมาณปอทรวมในดินตะกอนที่คลองระบายน้ำทึ่งซึ่งเก็บตัวอย่างได้เพียง 2 สถานี พบร่วมบริเวณปากคลองบางเบิด (สถานี WW1) ซึ่งเป็นจุดที่รับน้ำทึ่งจากแม่น้ำชุมชนนานาชาติ และน้ำทึ่งจากชุมชนนานาชาติ มีปริมาณปอทรวมในดินตะกอนสูงกว่าบริเวณปากคลองตามน้ำ (สถานี WW6) ซึ่งเป็นจุดที่รับน้ำทึ่งจากแม่น้ำชุมชนนานาชาติและคลองน้ำazu ทั้งนี้ปริมาณปอทรวมในดินตะกอนที่ตรวจพบส่วนใหญ่มีค่าต่ำกว่าเกณฑ์มาตรฐานของสารปอทในดินตะกอนของบางประเทศ ยกเว้นค่าสูงสุดที่พบในฤดูฝนนี้มีค่าสูงกว่าเกณฑ์ขั้นต่ำที่กำหนดตามมาตรฐานของประเทศไทยและนิวซีแลนด์ (ตารางที่ 13) สำหรับในประเทศไทยนั้นในขณะนี้ยังไม่มีมาตรฐานของโลหะหนักในดินตะกอนกำหนดไว้

ตารางที่ 12 ค่าเฉลี่ยปริมาณปอทรวม (\pm ความคลาดเคลื่อนมาตรฐาน; $n = 6$) ในดินตะกอนบริเวณชายฝั่งทะเล นิคมอุตสาหกรรมนานาชาติ จังหวัดระยอง และปริมาณปอทที่สามารถเข้าสู่สิ่งมีชีวิตได้ ในฤดูแล้ง (31 มีนาคม 2546) และฤดูฝน (2 ตุลาคม 2546)

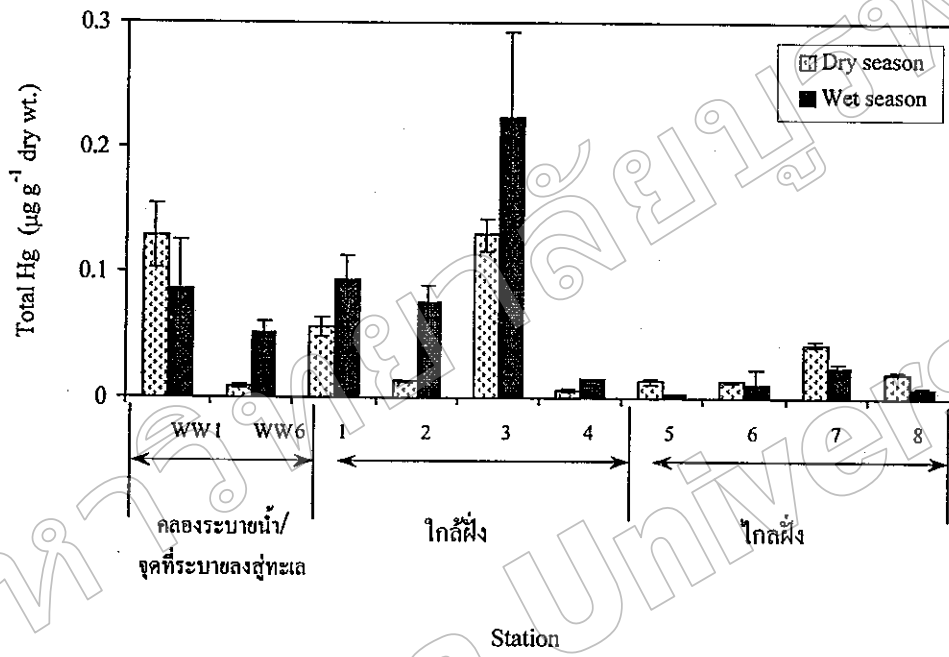
Station	Dry Season (March 2003)			Wet Season (October 2003)		
	Total Hg ($\mu\text{g g}^{-1}$ dry wt.)	Bioavailable Hg ($\mu\text{g g}^{-1}$ dry wt.)	% of Total Hg	Total Hg ($\mu\text{g g}^{-1}$ dry wt.)	Bioavailable Hg ($\mu\text{g g}^{-1}$ dry wt.)	% of Total Hg
1	0.056 ± 0.007	<0.00025	< 0.4	0.094 ± 0.019	0.00026	0.3
2	0.013 ± 0.001	0.0016	11.9	0.076 ± 0.013	0.00086	1.1
3	0.130 ± 0.013	0.0016	1.2	0.224 ± 0.068	0.00052	0.2
4	0.006 ± 0.0009	<0.00025	< 4.2	0.015 ± 0.0009	<0.00025	< 1.7
5	0.013 ± 0.002	0.00051	3.9	<0.0023	0.00051	< 22.2
6	0.013 ± 0.001	0.0014	11.0	0.011 ± 0.001	0.00151	13.7
7	0.043 ± 0.002	<0.00025	< 0.6	0.025 ± 0.003	0.00079	3.2
8	0.020 ± 0.001	0.0009	4.5	0.008 ± 0.0004	0.00143	17.9
WW1*	0.129 ± 0.026	0.0007	0.5	0.087 ± 0.039	0.00060	0.7
WW6*	0.009 ± 0.001	<0.00025	< 2.8	0.052 ± 0.008	0.00109	2.1

* ค่าของระยะน้ำ/ดินที่ระบายน้ำลงสู่ทะเล

ตารางที่ 13 เกณฑ์มาตรฐานของสารป่าอยในน้ำทะเลและดินตะกอน

Standard/Guideline	Total mercury		Reference
	Seawater ($\mu\text{g L}^{-1}$)	Sediment ($\mu\text{g g}^{-1}$ dry wt.)	
Thai Coastal Water Quality Standard	0.1		Pollution Control Department (1997)
ASEAN Marine Water Quality Criteria			Deocadiz et al. (1999)
- For protection of aquatic life	0.16		
- For protection of human health from seafood consumption	0.04		
- For protection of human health from recreational activities	21		
Average shale		0.4	Turekian and Wedepohl (1961)
Earth's crust		0.08	Riley and Chester 1971
Average crustal abundance		0.08	Taylor (1964)
Sediment Quality Standard for the State of Washington		0.41	Ginn and Pastorok (1992)
Draft Interim Canadian Marine Sediment Quality Guideline		0.13	Environment Canada (1995)
Draft Interim Canadian Freshwater Sediment Quality Guideline		0.174	Environment Canada (1995)
Florida DEP ¹ Sediment Ouality Guidelines - Threshold Effect Level		0.13	MacDonald (1994) สำนักงาน กรมควบคุมมลพิษ (2546)
Florida DEP ² Sediment Ouality Guidelines - Probable Effect Level		0.7	
HongKong ³ Draft Sediment Quality Guidelines - Lower		0.5	HKGS (1998) สำนักงาน กรมควบคุมมลพิษ (2546)
HongKong ⁴ Draft Sediment Quality Guidelines - Higher		1	
Australia and New Zealand Draft Interim Sediment Quality Guidelines - Lower ¹		0.15	ANZECC (1998) สำนักงาน กรมควบคุมมลพิษ (2546)
Australia and New Zealand Draft Interim Sediment Quality Guidelines - Higher ²		1	

- หมายเหตุ¹ = ค่าความเข้มข้นที่ไม่มีความเป็นพิษต่อสิ่งมีชีวิต (Threshold Effect Level, TEL)
- ² = ค่าความเข้มข้นที่อาจจะมีความเป็นพิษต่อสิ่งมีชีวิต (Probable Effect Level, PEL)
- ³ = ค่าความเข้มข้นที่สามารถทำการขุดลอกตะกอนดินได้
- ⁴ = ค่าความเข้มข้นที่สามารถขุดลอกตะกอนดินได้โดยต้องผ่านการศึกษาผลกระทบสิ่งแวดล้อม



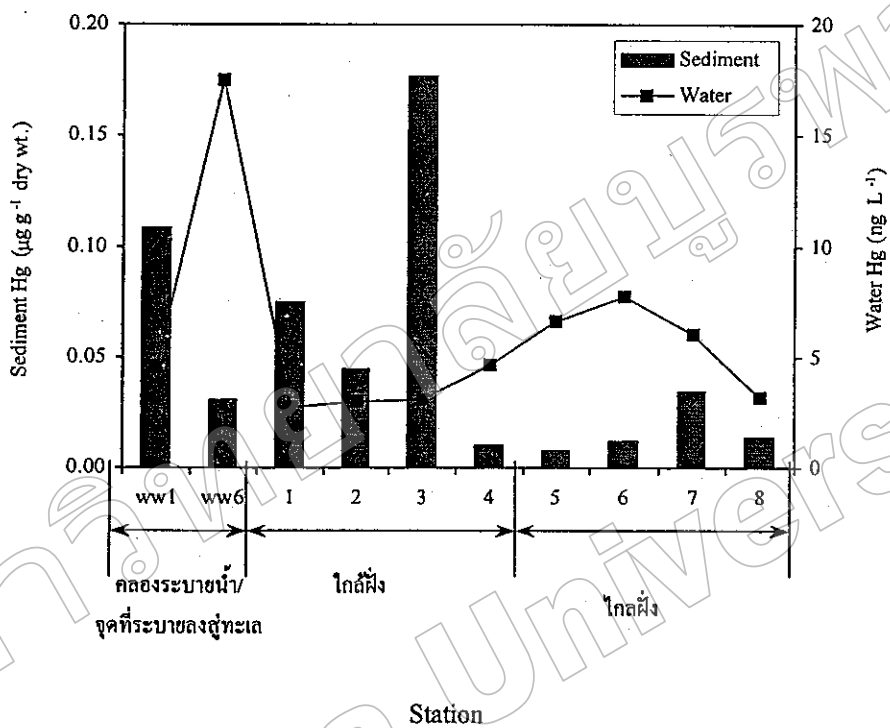
ภาพที่ 8 ค่าเฉลี่ยปริมาณปรอทรวม (\pm ความคลาดเคลื่อนมาตรฐาน, $n = 6$) ในดินตะกอนบริเวณนิคมอุตสาหกรรม
 manganese ในฤดูแล้ง (31 มีนาคม 2546) และฤดูฝน (2 ตุลาคม 2546)

ปริมาณป्रอทรมในน้ำและดินตะกอนบริเวณนิคมอุตสาหกรรมมานาพุดจาก การศึกษารังนี้ เมื่อนำไปเปรียบเทียบกับรายงานฉบับอื่น (ตารางที่ 14) พบว่า ความเข้มข้นของป्रอทรมในน้ำนี้ค่าลดลงจากในช่วง 10 ปีที่ผ่านมา สาเหตุของการลดลงน่าจะมาจากมีการปรับปรุงวิธีการวิเคราะห์ให้มีความถูกต้องมากขึ้น และมีความระมัดระวังในการเก็บตัวอย่างเพื่อลดการปนเปื้อนในทุกขั้นตอน ส่วนป्रอทรมในดินตะกอนยังคงมีค่าใกล้เคียงกับในช่วง 5-6 ปีที่ผ่านมาและเป็นที่สังเกตว่าป্রอทในดินตะกอนซึ่งพบริเวณน้ำตู้ฝันหรือปลายตู้ฝันจะมีค่าสูงกว่าในทุกแหล่ง

ตารางที่ 14 เมริยนเพียบปริมาณป्रอทรมในน้ำทะเลและดินตะกอนบริเวณนิคมอุตสาหกรรม นานาพุดจากการศึกษารังนี้กับรายงานฉบับอื่น

Year of Study	Water Hg (ng L ⁻¹)	Sediment Hg (μ g g ⁻¹ dry wt.)	Reference
1987 -1990	< 200 - 800	-	กรมควบคุมมลพิษ (2535)
1995-1998	10 - 480	< 0.005 - 0.134	Chongprasith and Wilairatanadilok (1999)
December 2001	3.0 – 63	0.001 - 0.293	กรมควบคุมมลพิษ (2545)
March 2003	2.42 -5.67	0.006 - 0.130	การศึกษารังนี้
October 2003	1.52 – 11.77	< 0.0023 - 0.224	การศึกษารังนี้
March 2004	1.1 – 19.1	0.007 - 0.116	แวรดา (เอกสารยังไม่ตีพิมพ์)
August 2004	6.0 - 23.0	-	แวรดา (เอกสารยังไม่ตีพิมพ์)

การศึกษาความสัมพันธ์ระหว่างปริมาณป्रอทในน้ำและดินตะกอน โดยการเปรียบเทียบผลจากค่าเฉลี่ยตลอดปี พบว่า สถานีที่พบความเข้มข้นของสารป्रอทในดินตะกอนสูงมีแนวโน้มที่มีความเข้มข้นของสารป्रอทในน้ำต่ำ และป্রอทในดินตะกอนที่สถานีไกลฟังมีปริมาณสูงกว่าสถานีไกลฟัง ในขณะที่ป্রอทในน้ำที่ไกลฟังมีค่าต่ำน้อยกว่าที่ไกลฟัง ดังแสดงในภาพที่ 9



ภาพที่ 9 เปรียบเทียบค่าเฉลี่ยตลอดปีของปริมาณป्रอทในน้ำและดินตะกอนบริเวณนิคมอุตสาหกรรม นาบตาพุคในปี 2546

สำหรับลักษณะของดินตะกอนพื้นท้องทะเลบริเวณนิคมอุตสาหกรรมนานาชาติที่สำรวจพบในถูกแล้งโดยส่วนใหญ่เป็นดินทรายและดินร่วนปานทราย มีเนื้อดินเหนียวค่อนข้างค่าอยู่ระหว่าง 2.7 - 20.6 % ปริมาณสารอินทรีย์ในดินตะกอนพื้นท้องชั่งน้อย คืออยู่ในช่วง 0.38 - 2.43 % มีค่าความเป็นกรด-ค่าง อยู่ในช่วง 7.9 - 8.3 ปริมาณแคลเซียมคาร์บอนেตอยู่ในช่วง 0.83 - 17.46 % และค่าความจุในการแลกเปลี่ยนประจุบวกของดินหรือ CEC อยู่ระหว่าง 0.87 - 15.27 centimoles per kilogram (cmol kg^{-1}) (ตารางที่ 15) ส่วนในถูกผ่านลักษณะของดินตะกอนเป็นดินทรายและเลนปานทราย มีเนื้อดินเหนียวเพิ่มขึ้นจากถูกแล้งคืออยู่ระหว่าง 1.9 - 42.5 % ปริมาณสารอินทรีย์อยู่ระหว่าง 0.24-2.05 % ค่าความเป็นกรด-ค่างของดินตะกอนอยู่ระหว่าง 8.0 - 8.9 ปริมาณแคลเซียมคาร์บอนे�ตอยู่ในช่วง 1.20 - 13.81 % และค่า CEC อยู่ระหว่าง 1.13 - 12.77 cmol kg^{-1} สำหรับออกไซด์ของเหล็กทั้งสองรูปคือ Total Fe oxides และ Amorphous Fe oxides ในถูกผ่านมีปริมาณสูงกว่าถูกแล้ง ส่วนออกไซด์ของแมงกานีสนั้น พบร่วมกับในถูกแล้งมีปริมาณสูงกว่าถูกผ่าน (ตารางที่ 16)

จากคุณลักษณะของดินตะกอนดังกล่าว เมื่อจำแนกประเภทดิน (soil classes) ตาม US.EPA (Boulding, 1994) พบร่วมกับในถูกผ่านมีปริมาณนิคมอุตสาหกรรมนานาชาติเป็นดินที่มีสารอินทรีย์ค่อนข้างน้อยมาก (0.5 - 1.0 %) ถึงระดับน้อยปานกลาง (1.0 - 2.0 %) ดินตะกอนมีคุณสมบัติเป็นด่างในระดับปานกลาง ($\text{pH } 7.9-8.4$) ถึงค่าสูง ($\text{pH } 8.5-9.0$) และมีค่า CEC อยู่ในระดับต่ำ ($< 12 \text{ cmol kg}^{-1}$) ยกเว้นสถานีที่ 3 ซึ่งอยู่บริเวณตอนในของนิคมอุตสาหกรรมมีค่า CEC อยู่ในระดับปานกลาง ($12 - 20 \text{ cmol kg}^{-1}$) ทั้งนี้เนื่องจากดินตะกอนมีสารอินทรีย์น้อย จึงทำให้มีค่า CEC น้อยตามไปด้วย เพราะสารอินทรีย์เป็นต้นกำเนิดของค่า CEC ในดิน โดยมีการประมาณว่ามากกว่า 80 % ของค่า CEC ในดินมาจากสารอินทรีย์ (Sparks, 1995) จากลักษณะที่สำคัญโดยเฉพาะปริมาณสารอินทรีย์ เนื้อดินเหนียว และค่า CEC จึงคาดได้ว่าดินตะกอนบริเวณนี้มีความสามารถในการดูดซับสารปรอทรวมทั้งโลหะอื่นได้น้อย

ตารางที่ 15 คุณสมบัติของดินต่างๆ ก่อนนำไปประการในปริมาณที่เพียงพอ เนื่องด้วยต้นทางการรرمมนาบตาดู จังหวัดระยอง ในฤดูแล้ง (31 มีนาคม 2546)

Station	pH	CaCO ₃ Equivalent (%)	Organic Matter (%)	CEC (cmol kg ⁻¹)	Total (Free) Oxides (mg g ⁻¹)		Amorphous Oxides (mg g ⁻¹)		Particle Size Distribution (%)			Texture Class
					Fe	Mn	Fe	Mn	Sand	Silt	Clay	
1	8.0	17.46	1.15	4.27	4.39	2.23	0.207	0.130	82.9	8.0	9.2	Loamy Sand
2	8.3	2.57	0.38	0.87	1.37	0.82	0.060	0.051	95.9	1.4	2.7	Sand
3	7.8	0.86	1.75	15.27	4.52	1.32	0.071	0.057	27.0	52.4	20.6	Silt Loam
4	8.1	5.29	0.36	1.33	1.16	1.02	0.068	0.054	94.7	1.3	4.0	Sand
5	8.1	2.06	0.52	2.60	0.94	0.77	0.046	0.035	92.2	4.5	3.3	Sand
6	8.1	2.14	0.76	2.00	0.89	0.73	0.028	0.025	94.4	1.9	3.8	Sand
7	7.9	4.70	2.43	11.67	4.07	1.76	0.091	0.069	39.6	49.5	10.9	Loam
8	7.9	2.21	0.76	4.07	1.67	1.16	0.052	0.036	85.4	8.2	6.5	Loamy Sand
WW1*	7.7	1.34	1.08	4.53	6.41	0.080	3.13	0.057	90.6	1.8	7.6	Sand
WW6*	7.6	2.72	1.35	1.07	2.07	0.026	1.00	0.019	91.8	3.7	4.5	Sand

* คดลูกระบายน้ำที่ใช้รีรำนาบสู่ภูมิ

ตารางที่ 16 คุณสมบัติของพื้นดินของมนุษย์เพื่อการใช้ในบริเวณท่าเรือห้ามขยะและนิคมอุตสาหกรรมมาบพูด จังหวัดระยอง ในฤดูฝน (2 ฤดูกาล 2546)

Station	pH	CaCO ₃ Equivalent (%)	Organic Matter (%)	CEC (cmol kg ⁻¹)	Total (Free) Oxides (mg g ⁻¹)		Amorphous Oxides (mg g ⁻¹)		Particle Size Distribution (%)			Texture Class
					Fe		Mn	Fe	Mn	Sand	Silt	
					2.30	0.137	2.68	0.165	78.9	77.8	13.2	9.0
1	8.3	6.88	2.05	4.40	5.03	0.243	2.30	0.137	77.8	13.2	9.0	Sandy loam
2	8.3	4.60	1.29	7.89	5.43	0.239	2.03	0.057	40.7	33.2	26.2	Loam
3	8.3	2.04	1.34	12.77	4.87	0.067	1.45	0.041	91.7	2.0	6.3	Sandy loam
4	8.5	13.81	0.55	1.87	2.57	0.068	0.60	0.008	97.4	0.7	1.9	Sand
5	8.9	3.14	0.24	0.87	0.31	0.010	0.65	0.031	95.5	2.1	2.4	Sand
6	8.8	1.76	0.45	1.47	0.88	0.028	0.65	0.049	10.2	47.3	42.5	Silty clay
7	8.0	1.20	0.76	9.00	27.80	0.073	1.27	0.049	10.2	47.3	42.5	Silty clay
8	8.8	1.46	0.90	1.13	1.58	0.026	0.95	0.028	96.6	0.8	2.6	Sand
WW1*	7.9	5.22	5.04	12.78	22.80	0.404	7.81	0.181	77.3	13.7	9.0	Sandy loam
WW6*	7.0	0.28	1.72	6.00	7.92	0.230	3.79	0.209	54.3	27.3	18.4	Sandy loam

* ค่าของร่องน้ำเนื้อรุ่งที่ระบุว่าอยู่ส่วนต่อไปนี้

การศึกษาความสัมพันธ์ระหว่างปริมาณป्रอทรวมในดินตะกอนและคุณสมบัติของดินตะกอนบางประการ พบว่า ในดินด้วยปริมาณป্রอทมีความสัมพันธ์ทางบวกก่อนข้างสูงมากกับออกไซด์ของเหล็ก รองลงมา คือ รายเปลี่ยนดินเหนียว สารอินทรีย์ และออกไซด์ของแมงกานีส ตามลำดับ (ตารางที่ 17 และภาพที่ 10) ส่วนปริมาณป্রอทรวมในดินดูผ่านมีความสัมพันธ์ทางบวกก่อนข้างสูงกับออกไซด์ของเหล็กในรูปของ amorphous Fe oxides รองลงมาได้แก่ รายเปลี่ยน สารอินทรีย์ ดินเหนียว และออกไซด์ของแมงกานีส ตามลำดับ (ตารางที่ 18 และภาพที่ 11) จากความสัมพันธ์ดังกล่าว แสดงให้เห็นว่า ออกไซด์ของเหล็กเป็นองค์ประกอบหลักในดินตะกอนบริเวณนาด้าพุดที่มีบทบาทสูงมากในการดูดซับสารป্রอทมากกว่าองค์ประกอบอื่นในดินตะกอน ทั้งนี้เนื่องจากออกไซด์ของเหล็ก รวมทั้งของแมงกานีส และอะลูมิเนียม มีพื้นที่ผิว (specific surface areas) สูงมาก พบรอยู่ในดินในรูปของ suspended particles และเกะบันผิวดินของ clay minerals และ สารอินทรีย์ (humic substances) หรืออยู่ในรูป mixed gels (Sparks, 1995) เนื่องจากมีความว่องไว (reactivity) สูงมาก จึงเป็นตัวดูดซับ (adsorbent) ที่มีพลังสูงมาก (Bourg and Loch, 1995) ในการดูดซับโลหะหนักหรือตอกตะกอนร่วม (coprecipitate) กับ cations และ anions ในสารละลายน้ำ (Alloway, 1995) นอกจากนี้ ออกไซด์ของโลหะเหล่านี้สามารถเปลี่ยนแปลงประจุได้ตามค่าของความเป็นกรด-ด่าง (pH-dependent charge) ซึ่งโดยทั่วไปจะมีประจุลบในสารละลายน้ำที่เป็นด่าง และมีประจุบวกในสารละลายน้ำที่เป็นกรด แต่ค่าความเป็นกรด-ด่างที่ทำให้ออกไซด์ของโลหะมีประจุบวกและประจุลบเท่ากันเรียกว่า pzc (point of zero charge) ซึ่งแตกต่างกันไปตามออกไซด์แต่ละชนิด (Alloway, 1995) เนื่องจากดินตะกอนบริเวณนี้มีสภาพเป็นด่างจึงทำให้ออกไซด์ของเหล็กและแมงกานีสมีประจุเป็นลบและสามารถดูดซับสารป্রอทที่เป็นประจุบวกได้ดี

ปริมาณป্রอทที่พบที่ 2 ดินดูผ่านมีความสัมพันธ์ทางบวกก่อนข้างสูงมากกับค่า CBC ของดินตะกอนตัวอย่าง (ตารางที่ 17-18 และภาพที่ 10-11) จึงอาจเป็นไปได้ว่าการดูดซับสารป্রอทในดินตะกอนบริเวณนี้ เกี่ยวข้องกับกระบวนการ cation exchange คล้ายกับการศึกษาของ (Semu et al., 1986) นอกจากนี้ยังพบ ความสัมพันธ์ทางลบระหว่างปริมาณป্রอทกับค่าความเป็นกรด-ด่างของดินตะกอนในทั้ง 2 ดินดูผ่านรักษาไว้ แสดงว่าป্রอทในดินตะกอนจะสูงเมื่อค่าความเป็นกรด-ด่างของดินลดต่ำลง ลดค่าด้วยกับการศึกษาของ Yin et al. (1996) ซึ่งพบว่าป্রอทสามารถดูดซับได้ดีในดินที่มีสารละลายน้ำเป็นกรด เนื่องจากที่ความเป็นกรด-ด่างต่ำจะพบรากนิกของป্রอทที่มีประจุบวก (positively charged Hg species) มาก ทำให้สารป্রอทดูดซับได้มากขึ้น

ตารางที่ 17 ค่าสัมประสิทธิ์ทางพัฒนาของปริมาณประอกรรวมในดินต่างๆ ก่อนและหลังการโนบดูแล้ง (31 มีนาคม 2546)
(n = 48 ยกเว้น CEC = 24)

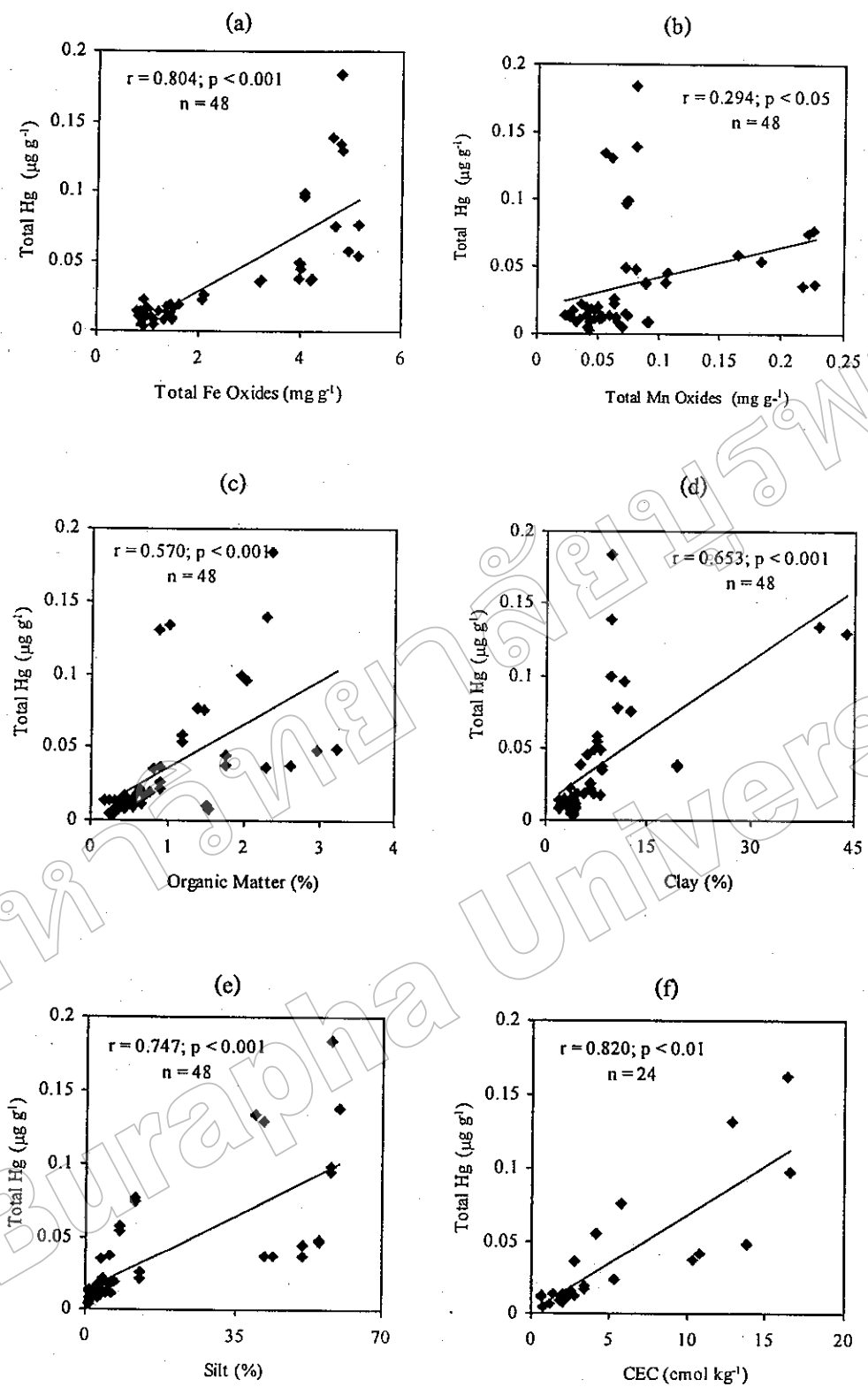
Total Hg	1.000	Total Hg	Avai. Hg	pH	CaCO ₃	Org. Matter	CEC	Total Fe Oxides	Amorp. Fe	Total Mn Oxides	Amorp. Mn	Clay	Silt	Sand
Avai. Hg	0.157	1.000												
pH	-0.719**	0.188	1.000											
CaCO ₃	-0.013	-0.483**	-0.091	1.000										
Org. Matter	0.570**	-0.068	-0.629**	0.040	1.000									
CEC	0.820**	0.117	-0.768**	-0.150	0.820**	1.000								
Total Fe Oxides	0.804**	-0.217	-0.696**	0.343*	0.726**	0.796**	1.000							
Amorp. Fe	0.452**	-0.414**	-0.537**	0.658**	0.618**	0.473*	0.795**	1.000						
Total Mn Oxides	0.294*	-0.442**	-0.292*	0.875**	0.265	0.143	0.642**	0.869**	1.000					
Amorp. Mn	0.327*	-0.439**	-0.302*	0.750**	0.339*	0.204	0.657**	0.857**	0.915**	1.000				
Clay	0.653**	-0.177	-0.601**	0.032	0.302*	0.543**	0.615**	0.205	0.150	0.144	1.000			
Silt	0.747**	0.035	-0.679**	-0.162	0.852**	0.980**	0.747**	0.442**	0.108	0.173	0.492**	1.000		
Sand	-0.808**	0.027	0.737**	0.121	-0.783**	-0.963**	-0.796**	-0.421**	-0.134	-0.185	-0.711**	-0.962**	1.000	

* , ** : Significant at p = 0.05 and 0.01 respectively

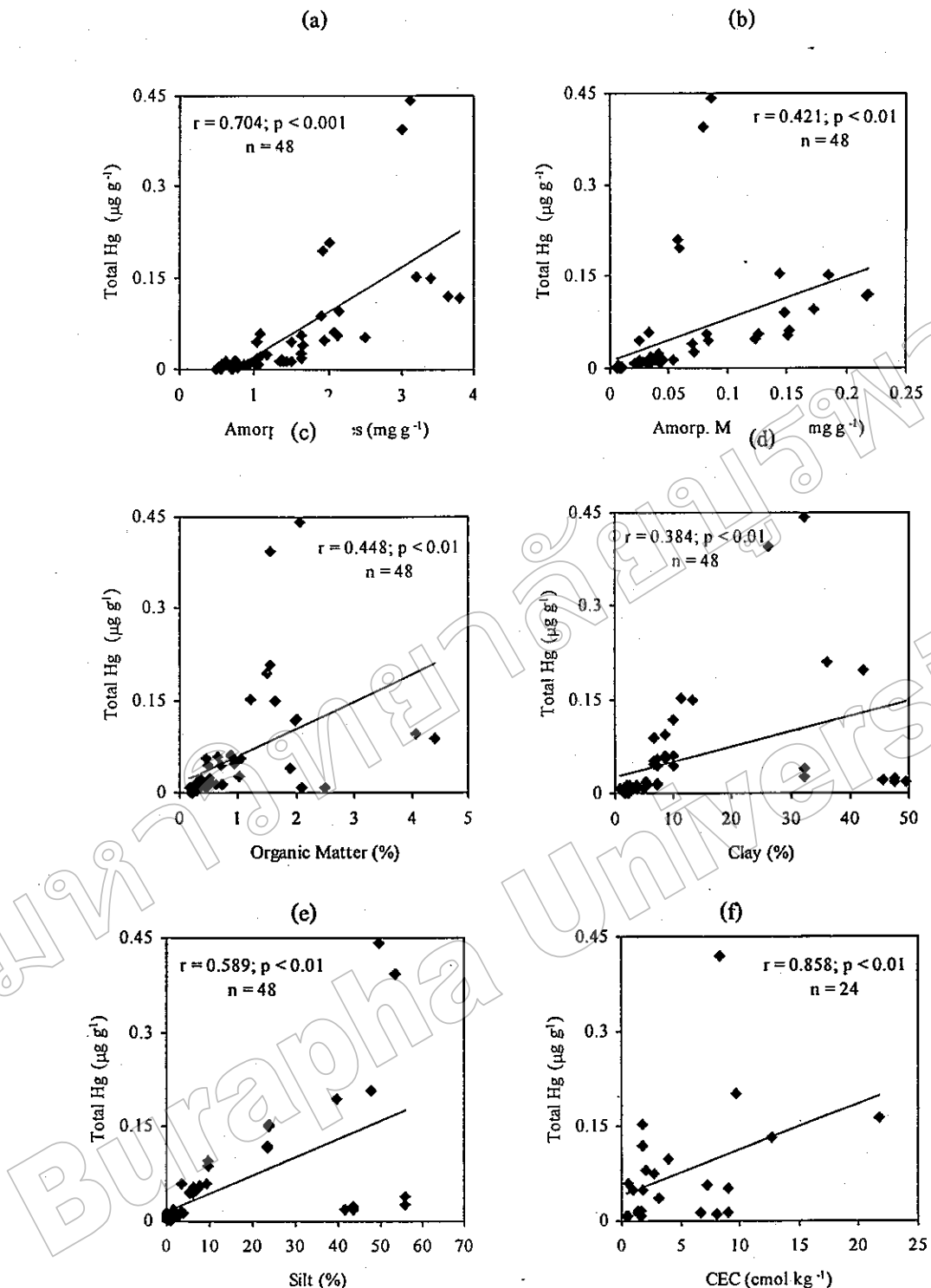
ตารางที่ 18 ค่าสัมประสิทธิ์ทางพัฒนาของปริมาณกรดรวมในดินตะกอนและภูมิภาคต่างๆ ของปริมาณกรดรวมในดินตะกอนของบ้านเรือน (2 ฤดูกาล 2546)
(n = 48 ยกเว้น CEC = 24)

	Total Hg	Avai. Hg	pH	CaCO ₃	Org. Matter	CEC	Total Fe Oxides	Amorp. Fe	Total Mn Oxides	Amorp. Mn	Clay	Silt	Sand
Total Hg	1.000												
Avai. Hg	-0.312*	1.000											
pH	-0.490**	0.397**	1.000										
CaCO ₃	-0.138	-0.576**	-0.080	1.000									
Org. Matter	0.448**	-0.343*	-0.472**	0.013	1.000								
CEC	0.858**	-0.217	-0.733**	-0.275	0.262	1.000							
Total Fe Oxides	0.049	-0.104	-0.714**	-0.216	0.078	0.485*	1.000						
Amorp. Fe	0.704**	-0.437**	-0.685**	0.243	0.551**	0.665**	0.154	1.000					
Total Mn Oxides	0.373**	-0.360*	-0.592**	0.292*	0.562**	0.351	0.135	0.874**	1.000				
Amorp. Mn	0.421**	-0.271	-0.593**	0.187	0.617**	0.414*	0.114	0.881**	0.965**	1.000			
Clay	0.384**	-0.143	-0.732**	-0.299*	0.119	0.697**	0.812**	0.231	0.053	0.061	1.000		
Silt	0.589**	-0.226	-0.791**	-0.318*	0.276	0.867**	0.783**	0.457**	0.234	0.249	0.906**	1.000	
Sand	-0.511**	0.194	0.784**	0.317	-0.212	-0.813**	-0.815	-0.366	-0.159	-0.170	-0.970**	-0.982**	1.000

* , ** : Significant at p = 0.05 and 0.01 respectively



ภาพที่ 10 ความสัมพันธ์ระหว่างปริมาณ proxtherm ในดินตะกอนกับ (a) ออกไซด์ของเหล็ก (b) ออกไซด์ของแมงกานีส (c) สารอินทรีย์ (d) ดินเหนียว (e) ทรายปี้ และ (f) ค่าการแลกเปลี่ยนประจุบวกของดิน ในฤดูแล้ง (31 มีนาคม 2546)



ภาพที่ 11 ความสัมพันธ์ระหว่างปริมาณ prox. Hg ในดินต่อกันกับ (a) ออกริชค์ของเหล็ก (b) ออกริชค์ของแมงกานีส (c) สารอินทรีย์ (d) ดินเหนียว (e) ทรายเบี้ง และ (f) ค่าการแลกเปลี่ยนประจุบวกของดิน ในฤทธิ์ (2 ตุลาคม 2546)

3. การศึกษารูปแบบทางธรณีเคมีของสารป्रอทในดินตะกอน

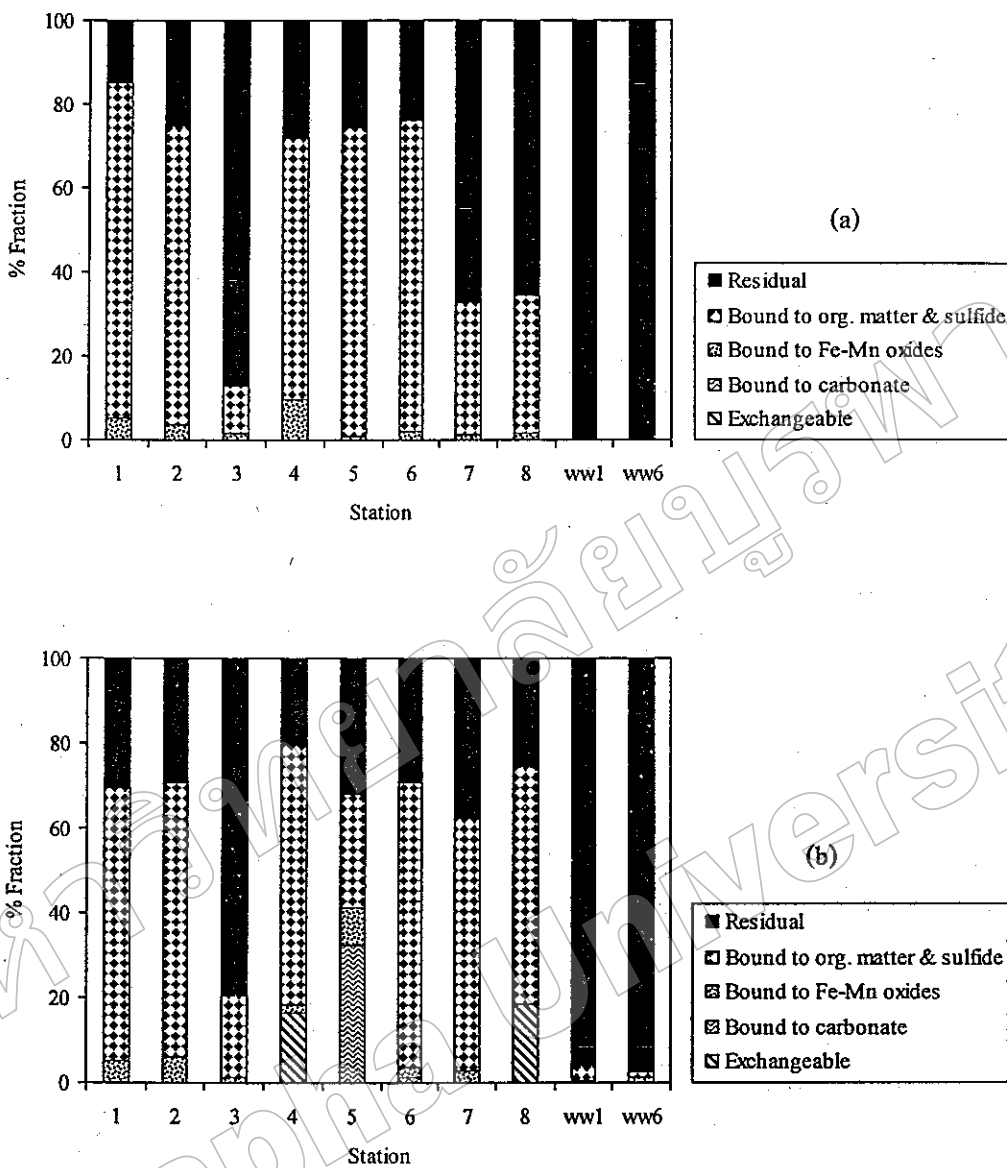
ข้อมูลของปริมาณป्रอทรวมในดินตะกอนแต่เพียงอย่างเดียวไม่สามารถบ่งบอกถึงผลกระทบหรืออันตรายที่จะมีต่อสิ่งมีชีวิตหรือสิ่งแวดล้อมได้ เมื่อจากไม่ได้เป็นปริมาณที่สามารถเข้าสู่สิ่งมีชีวิตได้ทั้งหมด ป्रอทมีรูปแบบทางเคมีหรือทางธรณีเคมี (geochemical forms) ต่างๆ กัน ซึ่งแต่ละรูปแบบมีความสามารถเข้าสู่สิ่งมีชีวิตหรือมีพิษแตกต่างกัน ในครั้งนี้จึงได้ทำการศึกษารูปแบบทางธรณีเคมีของสารป्रอทในดินตะกอนด้วย โดยใช้วิธี sequential extraction เพื่อสกัดสารป्रอทออกมานเป็น 5 รูปแบบ เรียงลำดับตามการลดลงของความเป็นพิษและการเคลื่อนที่ในดินตะกอน ได้ดังนี้ คือ exchangeable, bound to carbonate, bound to Fe and Mn oxides, bound to organic matter and sulfide และ residual โดยปกติแล้ว ป्रอทในดินตะกอนจะเป็นอันตรายต่อสิ่งมีชีวิต เมื่อจากสารน้ำที่จะถูกปลดปล่อยออกจากดินตะกอนได้ง่ายเมื่อมีการเปลี่ยนแปลงของปัจจัยแวดล้อมที่อยู่โดยรอบ เช่น ความเป็นกรด-ด่าง ความคืบคลาน (redox potential) เป็นต้น (Gomez-Parra et al., 2000) และถูกจัดอยู่ในกลุ่มของ bioavailable forms ซึ่งสามารถเข้าสู่สิ่งมีชีวิตและก่อให้เกิดอันตรายได้ (Perin et al., 1997) ส่วนป्रอทในรูปที่จับรวมตัวกับสารอินทรีย์และซัลไฟด์ (bound to organic matter and sulfide) ค่อนข้างที่จะถูกปลดปล่อยออกจากดินตะกอนได้ยาก เมื่อจากแรงจับยึดของสารอินทรีย์กับโลหะหนักก่อนข้างแน่นมาก สารป्रอทในรูปนี้จึงไม่จัดเป็น bioavailable form อย่างไรก็ตามภายใต้สภาวะการมีออกซิเจน (oxidizing conditions) สารอินทรีย์สามารถถูกย่อยสลาย (Tessier et al., 1979) และซัลไฟด์สามารถเปลี่ยนรูปเป็นออกไซด์และไฮดรอกไซด์ซึ่งละลายน้ำได้ดีกว่า (Waldichuk, 1985) ทำให้โลหะหนักที่จับอยู่คู่กับถูกปลดปล่อยออกจากดินตะกอนเข้าสู่ชั้นน้ำได้ ส่วนป्रอทในรูปแบบสุดท้าย คือ รูปแบบที่อยู่ในโครงสร้างของแร่ธาตุในดิน (residual) จะมีอันตรายต่อสิ่งมีชีวิตน้อยที่สุดหรือแทนไม่มีเลย (unavailable form) เมื่อจากโลหะจะฝังตัวหรือรวมตัวอยู่กับโครงสร้างของแร่ธาตุที่อยู่ในดินตะกอน (silicate matrix) ซึ่งไม่สามารถถูกปลดปล่อยออกมาชั้นน้ำภายใต้การเปลี่ยนแปลงใดๆ ของธรรมชาติได้ (Tessier et al., 1979) เว้นแต่การเปลี่ยนแปลงตามระยะเวลาทางธรณี (geologic time) อันเป็นผลมาจากการกระบวนการ mineral weathering (Gambrell et al., 1980)

สำหรับการศึกษารูปแบบนี้ พนว่าสารป्रอทส่วนใหญ่ในดินตะกอนมีอยู่สองรูปแบบที่สำคัญ คือ รูปแบบที่จับรวมตัวกับสารอินทรีย์และซัลไฟด์ และรูปแบบที่อยู่ในโครงสร้างของแร่ธาตุในดิน (ภาพที่ 12) สำหรับสัดส่วนทั้งสองรูปแบบนั้นขึ้นอยู่กับแต่ละสถานี โดยในทุกแห่ง พนปริมาณป्रอทในรูปที่จับรวมตัวกับสารอินทรีย์และซัลไฟด์อยู่ในช่วงระหว่าง 11.3-79.8 % และในรูปแบบที่อยู่ในโครงสร้างของแร่ธาตุในดินอยู่ในช่วงระหว่าง 14.9-67.1 % ส่วนในดินที่มีพบรูปแบบที่จับรวมตัวกับสารอินทรีย์และซัลไฟด์อยู่ในช่วงระหว่าง 19.3-67.2 % และในรูปแบบที่อยู่ในโครงสร้างของแร่ธาตุในดิน 29.1-79.4 % เมื่อจากปอร์ททั้งสองรูปแบบนี้มีโอกาสถูกปลดปล่อยเข้าสู่ชั้นน้ำได้น้อยมากดังกล่าวมาแล้วข้างต้น จึงเป็นรูปแบบที่ไม่เป็นอันตรายต่อสิ่งมีชีวิต สำหรับรูปแบบทางธรณีเคมีของสารป्रอทใน

คินตะกอนบริเวณคลองระบายน้ำทิ้ง (สถานี WW1 และ WW6) พบว่า ปรอทเกือบทั้งหมดอยู่ในโครงสร้างของแร่ธาตุในดิน

เนื่องจากปริมาณปรอทที่ถูกปลดปล่อยออกจากดินตะกอนได้ง่ายเท่านั้นสามารถเป็นพิษต่อสิ่งมีชีวิตได้ หรือเรียกว่า "bioavailable form" และสามารถบ่นออกได้ถึงระดับความเป็นพิษหากรับเข้าสู่ร่างกายมากเกินไป การศึกษาครั้งนี้จึงได้ทำการประเมินหาปริมาณปรอทที่อยู่ในรูปแบบที่เข้าสู่สิ่งมีชีวิตได้โดยตรงต่างหากอีกวิธีหนึ่ง โดยใช้การสกัดด้วย 0.5 N HCl ซึ่งสามารถใช้สกัดส่วนของโลหะทั้งในรูปของอินทรีย์และอนินทรีย์ไม่ได้จับอยู่กับโครงสร้างของแร่ธาตุในดิน (non-residual metals) ได้ดี และสามารถบ่งชี้ระดับของ bioavailability ต่อสิ่งมีชีวิตที่อาศัยอยู่พื้นท้องทะเล ตลอดจนระดับการปนเปื้อนของโลหะหนักในดินตะกอนจากกิจกรรมของมนุษย์ (Chester and Voutsinou, 1981) โดยทั่วไปแล้วการสกัดโดยออกจากดินตะกอนโดยใช้กรดอ่อนอ่อนหรืออ่อน (weak acids) สามารถใช้เป็นตัวแทนในการศึกษา bioavailable fractions ได้มากที่สุด (Luoma and Bryan, 1981) เมื่อจากมีความคล้ายคลึงกับน้ำอ่อนในกระเพาะอาหารของสัตว์หน้าดินที่อาศัยอยู่พื้นท้องทะเลเพื่อใช้ในการย่อยอาหารหรือโลหะที่กินเข้าไป (Waldichichuk, 1985) ผลที่ได้จากการศึกษาโดยวิธีนี้ พบว่าปรอทในรูปดังกล่าวมีค่าน้อยมาก ในดูแล้วมีค่าอยู่ระหว่าง $<0.4 - 12\%$ ของปริมาณปรอทรวม และถูกผนนิมค่าอยู่ระหว่าง $0.2 - < 22.2\%$ ของปริมาณปรอทรวม (ตารางที่ 12) โดยส่วนใหญ่มีค่าน้อยกว่า 10% ของปริมาณปรอทรวม และสอดคล้องกับผลที่ได้จากการศึกษารูปแบบทางเคมีของสารปรอทที่พบในดินตะกอนซึ่งส่วนใหญ่เป็น unavailable forms ปริมาณของ bioavailable Hg ที่พบน้อยนี้สอดคล้องกับการศึกษาของ Thongra-ar (2001) ซึ่งพบปริมาณน้อยเหล็กนั้นในบริเวณแม่น้ำบางปะกง แต่ปริมาณที่พบน้อยกว่าผลที่ได้จากการศึกษาครั้งนี้มากเนื่องจากดินตะกอนบริเวณแม่น้ำบางปะกงเป็นดินเหนียวและมีสารอินทรีย์ที่สูงกว่ามากจึงสามารถจับกับปรอทได้ดีกว่า

ดังนั้น ถึงแม้ว่าได้ตรวจสอบปริมาณปรอทรวมในดินตะกอนบริเวณมาตามพื้นที่ค่าสูงกว่าค่ามาตรฐานของบางประเทศในบางสถานีและในบางถูกต่ำกว่าค่า แต่ปริมาณปรอทที่ตรวจพบไม่ได้อยู่ในรูปที่เป็นขันตราข้อต่องสิ่งมีชีวิตหรือมีแต่น้อยมาก การปนเปื้อนของสารปรอทในดินตะกอนบริเวณนี้จึงยังคงอยู่ในระดับที่ไม่เป็นอันตรายต่อสิ่งมีชีวิต



ภาพที่ 12 รูปแบบทางเคมีของการปeroxในดินตะกอนบริเวณนิคมอุตสาหกรรมบำบัดพุด จังหวัดระยอง
 (a) ฤดูแล้ง (31 มีนาคม 2546) และ (b) ฤดูฝน (2 ตุลาคม 2546)

4. การศึกษาการคุณชั้นและการปลดปล่อยสารprotoโดยดินตะกอนและอิทธิพลของความเค็ม

4.1 การคุณชั้นสารproto

การศึกษารังนี้ได้เลือกใช้แบบจำลองการคุณชั้นในรูปของสมการ Freundlich isotherm สำหรับใช้อธิบายกระบวนการคุณชั้น เนื่องจากแบบจำลองดังกล่าวมีความเหมาะสมสำหรับความเข้มข้นของสารในระดับต่างๆ (Sparks, 1995) และในการศึกษาเกี่ยวกับปัญหาสิ่งแวดล้อมทางทะเล หรือในแม่น้ำ ความห่วงใยต่อปัญหาสิ่งแวดล้อมนั้น เรายังสนใจถึงการทราบความจุหรือความสามารถ吸附ของดินตะกอนในการคุณชั้นสาร ได้ต่ำสุดหรือน้อยสุดมากกว่าความจุสูงสุดที่ดินตะกอนจะคุณชั้นได้ ทั้งนี้ เพื่อจะได้ทราบว่าความเข้มข้นของสารเริ่มแรกหลังจากปล่อยทิ้งลงสู่ทะเลและถูกคุณชั้นเข้าไปในดินตะกอนแล้วนั้น ปริมาณที่เหลืออยู่ในน้ำจะยังคงอยู่ในระดับที่ปลอดภัยหรือไม่ ดังนั้นถ้าการคุณชั้นได้ต่ำสุดจะเป็นข้อมูลที่มีประโยชน์ต่อการเฝ้าระวังปัญหาสิ่งแวดล้อมที่ดีกว่า ประกอบกับในสภาพจริงตามธรรมชาติสารมีพิษต่างๆ ไม่ได้ถูกปล่อยออกมายังระบบทิ้งท่อมากๆ ด้วยเหตุนี้ จึงได้เลือกใช้ Freundlich isotherm สำหรับการศึกษารังนี้

การทดลองเลือกช่วงความเข้มข้นที่เหมาะสมสำหรับทดลองการคุณชั้นสารprotoโดยดินตะกอนบริเวณนิคมอุตสาหกรรมนานาชาติร่วม 8 สถานี ซึ่งมีลักษณะของเนื้อดินตะกอนแตกต่างกัน คือมีทั้งดินทราย ดินร่วน ดินทรายปนดินร่วน และดินร่วนปนทรายเป็นเป็นต้น จากการทดลองเมื่อต้นพบว่า ไม่สามารถใช้ความเข้มข้นช่วงเดียวกันในการทดลองกับดินทั้ง 8 สถานีได้ โดยดินที่มีองค์ประกอบของอนุภาคทรายค่อนข้างสูง (สถานีที่ 1 2 4 5 6 และ 8) ความเข้มข้นของสารprotoที่เติมลงไปอยู่ในช่วงระหว่าง $0.1 - 2.0 \text{ mg L}^{-1}$ ส่วนดินที่มีองค์ประกอบของอนุภาคทรายเป็นและดินเหนียว ค่อนข้างสูง (สถานีที่ 3 และ 7) ใช้ความเข้มข้นของสารprotoในช่วงระหว่าง $0.5 - 4.0 \text{ mg L}^{-1}$ เนื่องจาก ที่ระดับความเข้มข้นสูงๆ นั้น อาจเกินขีดความสามารถ吸附ของดินในการคุณชั้นเนื่องจากพื้นที่ผิวในการคุณชั้นเต็ม โดยเฉพาะเนื้อดินที่มีองค์ประกอบของอนุภาคทรายสูงทำให้ข้อมูลที่ได้ไม่มีความสัมพันธ์กัน อย่างมีนัยสำคัญตามสมการ Freundlich isotherm โดยพิจารณาจากค่า R^2 มีค่าต่ำ แต่หากลดช่วงความเข้มข้นลงหน่อยข้อมูลมีความสัมพันธ์กันตามสมการดังกล่าวได้และให้ค่า R^2 สูงขึ้น ซึ่งแสดงว่าที่ความเข้มข้นสูงๆ อาจมีกลไกอย่างอื่นที่นอกเหนือจากการคุณชั้นมาเกี่ยวข้องด้วย ส่วนเนื้อดินที่มีทรายเป็นและดินเหนียวสูงนั้นมีการคุณชั้นได้ดีกว่าดินทราย หากเลือกใช้ความเข้มข้นช่วงเดียวกับดินทราย ($0.1 - 2.0 \text{ mg L}^{-1}$) จะทำให้ไม่สามารถวัดค่าของปริมาณprotoที่เหลืออยู่ในสารละลายได้เนื่องจากถูกคุณชั้นไปหมด ดังนั้นขนาดอนุภาคคินและลักษณะเนื้อดินจึงมีผลต่อการคุณชั้น

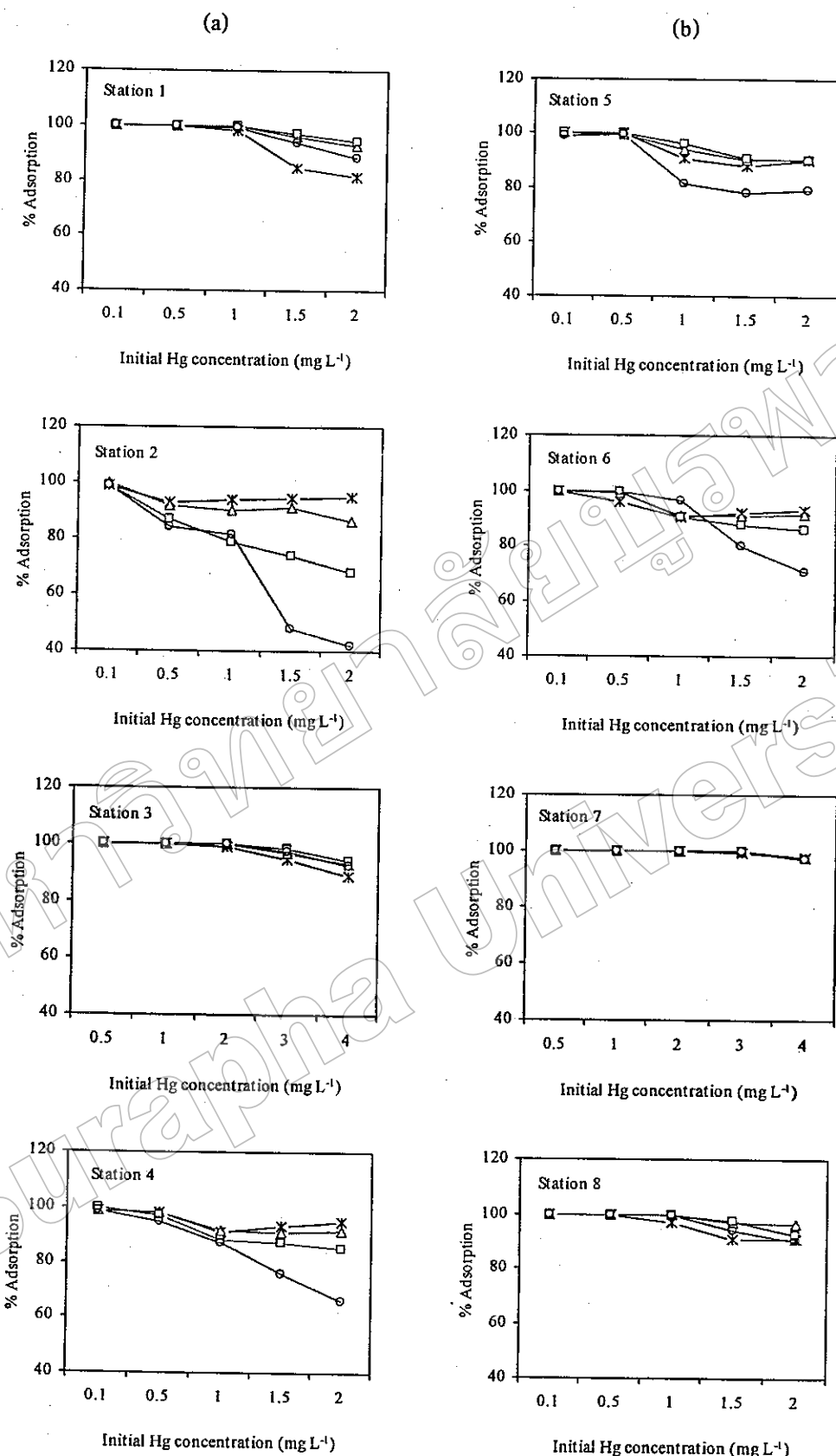
การศึกษาการคุณชั้นที่ความเข้มข้นต่างๆ ของสารprotoที่เติมลงไปในดินตะกอนและที่ระดับความเค็มต่างๆ 4 ระดับคือ 0 15 30 และ 45 psu พบว่าการคุณชั้นจะลดลงเมื่อความเข้มข้นของสารprotoสูงขึ้น (ภาพที่ 13) โดยส่วนใหญ่จะลดลงที่ระดับความเข้มข้นที่สูงกว่า 0.5 มิลลิกรัมต่อลิตร สำหรับดินทรายและดินทรายปนดินร่วน (สถานีที่ 1 2 4 5 6 และ 8) ส่วนดินร่วนและดินร่วนปนทรายเป็น (สถานีที่ 3 และ 7) ซึ่งมีขนาดอนุภาคที่ละเอียดกว่า การคุณชั้นจะลดลงที่ความเข้มข้นสูงกว่า

2.0 mg L^{-1} ส่วนผลของความเค็มนั้น พบว่า ความเค็มไม่มีผลต่อการดูดซับ ยกเว้นที่ความเค็ม 45 psu มีแนวโน้มที่การดูดซับสารprotothalciteลดลงจากความเค็มระดับอื่นๆ โดยเฉพาะที่ความเข้มข้นของสารprotothalcite ทึ้งนี้ขึ้นอยู่กับสถานีด้วย โดยเฉพาะสถานีที่ 2 ซึ่งเห็นได้ชัดเจนว่า การดูดซับที่ความเข้มข้นของprotothalcite 2.0 mg L^{-1} ได้ลดลงจาก 95 % เหลือเพียง 42 % เมื่อความเค็มเปลี่ยนจาก 0 เป็น 45 psu (ภาพที่ 13)

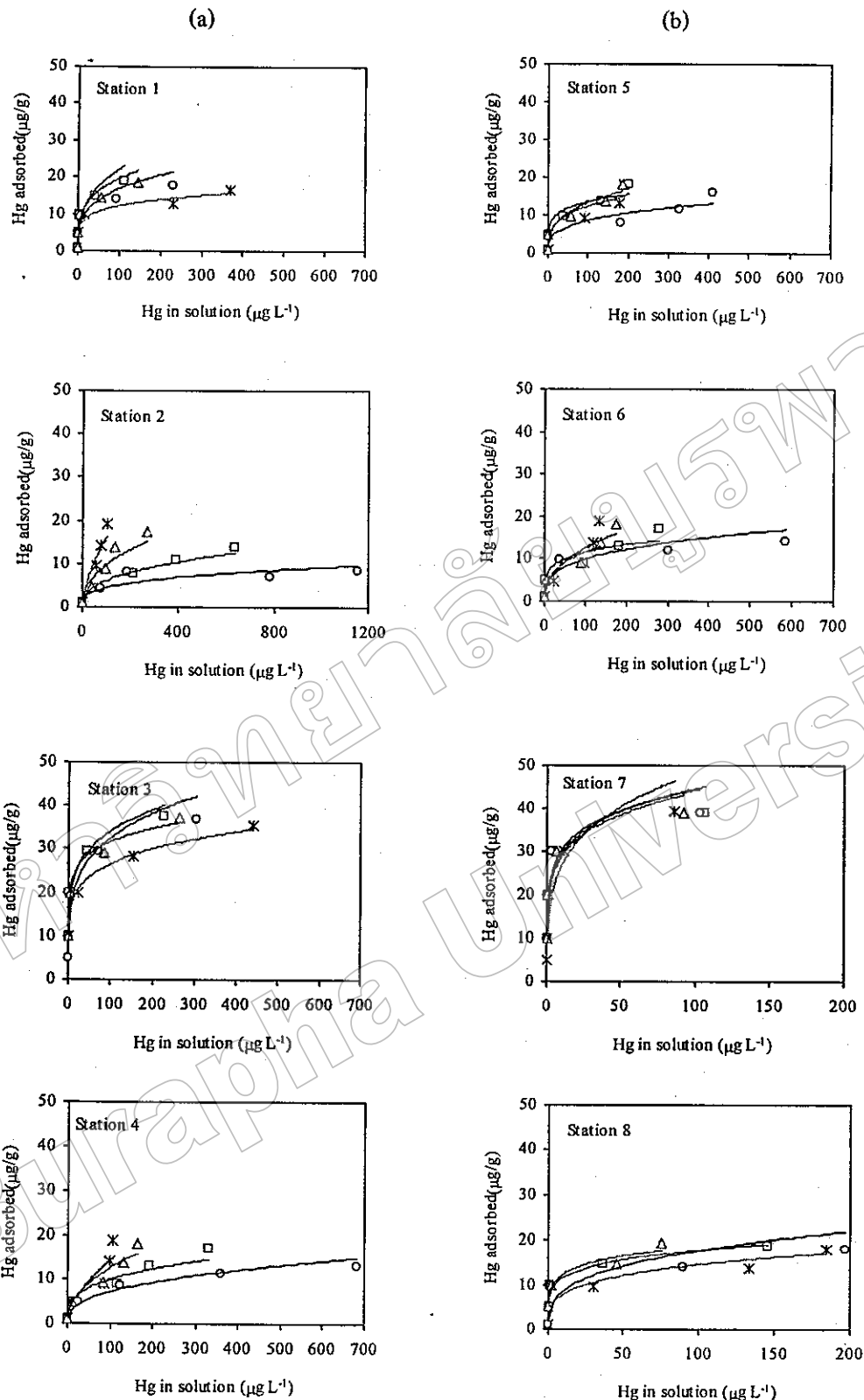
จากข่าวความเข้มข้นที่ใช้ในการทดลองดูดซับสารprotothalcite พบว่า ที่ระดับความเข้มข้นเริ่มต้นของสารprotothalcite 0.1 mg L^{-1} สำหรับคินที่มีทรัพย์เป็นองค์ประกอบสูง และ 0.5 mg L^{-1} สำหรับคินที่มีทรัพย์เป็นองค์ประกอบสูง จะทำให้ปริมาณprotothalciteเหลือ $0.1 \mu\text{g L}^{-1}$ และพบว่าปริมาณprotothalciteที่ถูกดูดซับเข้าไปในคินตะกอนจะมีค่าเท่ากัน 1 และ $5 \mu\text{g g}^{-1}$ น้ำหนักแห้ง ตามลำดับ ดังนั้นหากควบคุมการปล่อยสารprotothalciteแล้วน้ำให้ได้ในปริมาณดังกล่าวก็จะสามารถรักษาระดับของปริมาณprotothalciteในแหล่งน้ำให้มีค่าอยู่ในเกณฑ์มาตรฐานคุณภาพน้ำทะเลชายฝั่งได้ อย่างไรก็ตาม ในสภาพจริงตามธรรมชาติprotothalciteจะออกจากรากแหล่งกำเนิดไม่ได้ถูกดูดซับ โดยคินตะกอนเพียงอย่างเดียว และprotothalciteจะถูกปล่อยกลับคืนสู่ชั้นน้ำได้อีกด้วย

การศึกษา isotherms ของการดูดซับสารprotothalcite พบว่า ข้อมูลมีความสัมพันธ์กันตามสมการ Freundlich isotherm และให้ค่า R^2 ที่มีนัยสำคัญทางสถิติในระดับสูง (ตารางที่ 19) เมื่อพิจารณาจากลักษณะกราฟของ adsorption isotherms ของคินตะกอนทั้ง 8 สถานี พบว่ามีลักษณะเป็นเส้นโค้ง (curvilinear isotherms) ดังแสดงในภาพที่ 14 ซึ่งแสดงว่าพลังงานที่เหลือพันธะ (binding sites) บนผิวคินตะกอนได้ลดลงเมื่อความเข้มข้นของสารprotothalciteเพิ่มขึ้น เนื่องจาก sorption sites เกิดการอิ่มตัว (saturation) ทึ้งนี้สอดคล้องกับผลที่ได้จากการดูดซับสารprotothalciteที่ความเข้มข้นสูงๆ ในขณะที่ระดับความเข้มข้นต่ำๆ สารprotothalciteได้หักหมุด 100% หรือเกือบทั้งหมดของปริมาณprotothalcite (mg L^{-1}) และลักษณะ isotherms ของแต่ละระดับความเค็ม พบว่ามีความคล้ายคลึงกัน ยกเว้นที่ความเค็ม 45 psu ของบางสถานีซึ่งเส้นกราฟ isotherm มีความยาวมากกว่าที่ความเค็มอื่นๆ (ภาพที่ 14) เนื่องจากพื้นที่ผิวดูดซับเต็มทำให้มีปริมาณprotothalciteเหลืออยู่ในสารละลายมากกว่าที่ความเค็มอื่นๆ

ค่า Freundlich adsorption parameters (K_{ads} และ $1/n_{ads}$) ของคินตะกอนแต่ละสถานีและแต่ละความเค็มแสดงในตารางที่ 19 โดย K_{ads} มีค่าอยู่ในช่วงระหว่าง $0.9061 - 21.836$ และ $1/n_{ads}$ มีค่าอยู่กว่า 1 อยู่ในช่วงระหว่าง $0.1533 - 0.6267$ ซึ่งแสดงว่าเส้นกราฟที่ได้ไม่เป็นเส้นตรงด้วย ทั้ง K_{ads} และ $1/n_{ads}$ เป็นค่า Freundlich constants ซึ่งค่า K_{ads} แสดงถึงค่าความจุหรือความสามารถในการดูดซับของคินตะกอน (adsorption capacity) ส่วน $1/n_{ads}$ แสดงถึงอัตราเร็วของการดูดซับ (intensity of adsorption หรือ rate of adsorption) ซึ่งเกตเวย์ที่ความจุแม่คินตะกอนบางสถานีมีค่าความจุในการดูดซับสารprotothalciteต่ำ แต่มีอัตราเร็วของการดูดซับสูง



ภาพที่ 13 เปอร์เซ็นต์การดูดซับสารprotoในแต่ละระดับความเข้มข้นเริ่มต้นที่เดินลงไปในคันตะกอน
 สถานีต่างๆ (a) สถานีໄກสั้ง (b) สถานีห่างฝั่ง และที่ความเค็มต่างๆ กัน
 (* : 0 psu, Δ : 15 psu, □ : 30 psu, ○ : 45 psu)



ภาพที่ 14 Freundlich isotherms ของการดูดซับสารป่าหทโดยคินตะกอนมหาดูพุดสถานีต่างๆ

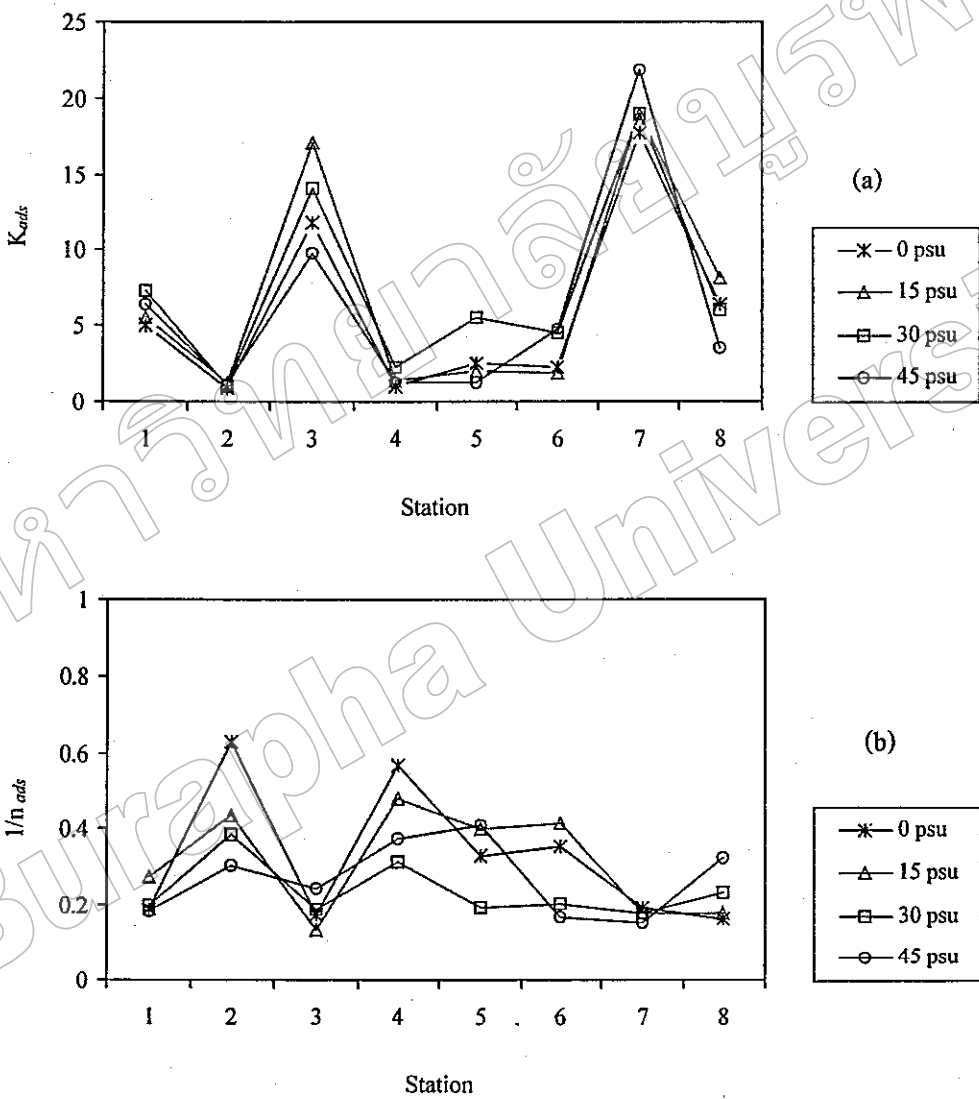
(a) สถานีไกสีฟัง (b) สถานีห่างฟัง และที่ความเค็มต่างๆกัน (* : 0 psu, Δ : 15 psu, □ : 30 psu, ○ : 45 psu)

ตารางที่ 19 Freundlich adsorption parameters ของการดูดซับสารป่าอหที่ความเค็มต่างๆกัน

Station	Initial Hg added (mg L ⁻¹)	Sediment pH	Sediment organic matter (%)	Salinity (psu)	Adsorption equilibrium pH ± SD	K _{ads}	1/n _{ads}	R ²	% Adsorption of initial Hg added
Sand / Loamy sand									
1	0.1 – 2.0	8.0	1.15	0 15 30 45	7.6 ± 0.2 7.9 ± 0.1 8.0 ± 0.1 8.0 ± 0.1	5.0624 5.5131 7.2763 6.449	0.1900 0.2743 0.2030 0.1857	0.9538* 0.9016* 0.9757* 0.9681*	81.6 - 100 92.8 - 100 94.4 - 100 88.5 - 100
2	0.1 – 2.0	8.3	0.38	0 15 30 45	7.2 ± 1.6 8.3 ± 0.1 8.2 ± 0.1 8.3 ± 0.1	0.9061 1.3025 1.0311 1.0913	0.6267 0.4383 0.3873 0.3090	0.9890** 0.9602** 0.9895** 0.9322**	94.9 – 99 86.4 – 100 68.3 – 99 42.2 – 99
4	0.1 – 2.0	8.1	0.36	0 15 30 45	7.7 ± 0.2 8.2 ± 0.3 7.9 ± 0.3 8.1 ± 0.1	1.0407 1.3523 2.3067 1.2673	0.5654 0.4840 0.3167 0.3776	0.9453** 0.9771** 0.9869** 0.9897**	94.8 – 99 96.3 – 100 85.4 – 100 65.9 – 99
5	0.1 – 2.0	8.1	0.52	0 15 30 45	7.5 ± 0.2 8.0 ± 0.1 7.8 ± 0.3 8.0 ± 0.1	2.4918 1.9654 5.4961 1.1038	0.3313 0.4018 0.1950 0.4140	0.9799* 0.9955** 0.9460* 0.9879**	90.5 - 100 90.7 - 100 90.0 - 100 79.4 - 99
6	0.1 – 2.0	8.1	0.76	0 15 30 45	8.0 ± 0.1 8.2 ± 0.1 8.4 ± 0.1 8.2 ± 0.3	2.2494 1.8324 4.5123 4.7188	0.3567 0.4179 0.2045 0.1726	0.9403** 0.9549** 0.8893 0.9782*	93.3 - 100 91.4 - 100 86.1 - 100 70.8 - 100
8	0.1 – 2.0	7.9	0.76	0 15 30 45	7.7 ± 0.7 7.9 ± 0.2 7.9 ± 0.2 8.0 ± 0.1	6.3835 8.1549 5.9984 3.5097	0.1676 0.1798 0.2372 0.3248	0.9365* 0.9803** 0.9980* 0.9463*	90.8 - 100 96.3 - 100 92.7 - 100 90.2 - 100
Silt loam / Loam									
3	0.5 – 4.0	7.8	1.75	0 15 30 45	7.6 ± 0.1 7.7 ± 0.1 7.8 ± 0.1 7.8 ± 0.1	11.825 17.097 14.131 9.7829	0.1761 0.1340 0.1917 0.2454	0.9970** 0.9933** 0.9440* 0.9561*	89.0 - 100 93.4 - 100 94.3 - 100 92.4 - 100
7	0.5 – 4.0	7.9	2.43	0 15 30 45	7.9 ± 0.1 8.0 ± 0.1 8.0 ± 0.1 8.0 ± 0.1	17.759 18.941 19.019 21.836	0.1949 0.1817 0.1819 0.1533	0.9638* 0.8138 0.9040* 0.9050*	97.9 - 100 97.7 - 100 97.4 - 100 97.4 - 100

* , ** : Significant at p = 0.05 and 0.01 respectively

ผลการทดสอบความแตกต่างทางสถิติของค่า K_{ads} และ $1/n_{ads}$ พบว่ามีความแตกต่างกันอย่างนี้นัยสำคัญยิ่งโดยขึ้นอยู่กับสถานีและความเค็มด้วย ($p < 0.001$) อย่างไรก็ตามมีแนวโน้มที่ความเค็มไม่มีผลต่อการเปลี่ยนแปลงค่า K_{ads} มากนัก แต่ค่า K_{ads} จะมีความแตกต่างกันในแต่ละสถานี โดยสถานีที่ 7 มีค่าสูงสุด รองลงมาคือ สถานีที่ 3 ซึ่งทั้งสองสถานานี้มีเนื้อดินตะกอนที่มีองค์ประกอบของทรัพยา愧และดินเหนียวสูงกว่าสถานีอื่นและอยู่บริเวณตอนในของนิคมอุตสาหกรรมนานาชาติ อย่างไรก็ตามถึงแม่ดินตะกอนทั้งสองสถานีดังกล่าวมีความสามารถหรือความจุในการดูดซับได้สูง แต่อัตราเร็วของการดูดซับจะช้ากว่าสถานีอื่นๆ (ภาพที่ 15)



ภาพที่ 15 เปรียบเทียบค่า Freundlich adsorption parameters (a) K_{ads} และ (b) $1/n_{ads}$ ของดินตะกอนแต่ละสถานีในการดูดซับสารปรอทที่ความเค็มต่างๆ

การศึกษาความสัมพันธ์ระหว่างค่า Freundlich adsorption parameters กับคุณสมบัติของดินตะกอนแสดงในตารางที่ 20 พบว่าค่าความสูญเสียความสามารถในการดูดซับ (K_{ads}) สารปะอหงอกินตะกอนมีความสัมพันธ์ทางบวกอย่างสูงมากกับปริมาณของสารอินทรีย์ รองลงมาคือ ทรัพยาเป็น ออกไซด์ของเหล็ก และดินเหนียว จากความสัมพันธ์ดังกล่าวแสดงว่า องค์ประกอบในดินตะกอนทั้ง 4 อย่างดังกล่าวทำหน้าที่เป็นตัวดูดซับ (adsorbent) สารปะอหงอก และเนื่องจากดินตะกอนบริเวณมหาดูดซับนี้มีสารอินทรีย์อยู่ค่อนข้างน้อยแต่พบว่ามีความสัมพันธ์ในระดับที่สูง แสดงว่า สารอินทรีย์ต้องมีบทบาทสำคัญมากในการดูดซับสารปะอหงอกที่คือกว่าองค์ประกอบอื่นๆ ในดินตะกอน ซึ่งโดยทั่วไปแล้วสารอินทรีย์มีบทบาทสำคัญมากในการดูดซับอิออนต่างๆ ของโลหะได้ดีถึงแม้ว่ามีอยู่ในดินน้อยก็ตาม (Sparks, 1995) และสำหรับกับปะอหงอกินนี้มีความสามารถในการจับกับสารอินทรีย์ที่อยู่ในดินได้ดีกว่าองค์ประกอบที่เป็นอนินทรีย์สารอื่นๆ ในดินตะกอน (Schuster, 1991; Yin et al., 1996) โดยมีชีวมีคิ (humic substances) ซึ่งอยู่ในสารอินทรีย์และประกอบด้วย humic acids และ fulvic acids ทำหน้าที่ในการจับกับสารปะอหงอก (Wallschläger et al., 1998) และการจับกันยังขึ้นอยู่กับหมู่ functional groups ในสารอินทรีย์อีกด้วย โดยพบว่าสารปะอหงอกขอบที่จะจับตัวกับ N-and S-containing groups ในสารอินทรีย์ (Sparks, 1995) โดยเฉพาะกับ S-มากกว่า N-containing groups (Skjelberg et al., 2000) และปริมาณการดูดซับสารปะอหงอกได้สูงสุดพบว่าเป็นสัดส่วนกับปริมาณสารอินทรีย์ในดินตะกอนอีกด้วย (Yin et al., 1997a, b) แต่เนื่องจากดินตะกอนบริเวณที่ทำการศึกษานี้มีสารอินทรีย์อยู่ค่อนข้างน้อย ปริมาณปะอหงอกที่ถูกดูดซับโดยสารอินทรีย์จึงอาจมีไม่มากนัก ประกอบกับปริมาณอนุภาคดินเหนียวมีค่อนข้างน้อยด้วย ดังนั้น ตัวดูดซับหลักสำหรับดินบริเวณนี้จึงมีทางเป็นทรัพยาเป็นและเหล็กออกไซด์

ตารางที่ 20 ค่าสัมประสิทธิ์สหสัมพันธ์ของ Freundlich adsorption parameters และคุณสมบัติของดินตะกอน ที่ความเค็มต่างๆ ($n = 8$)

Sediment Characteristics	Salinity 0 psu		Salinity 15 psu		Salinity 30 psu		Salinity 45 psu	
	K_{ads}	$1/n_{ads}$	K_{ads}	$1/n_{ads}$	K_{ads}	$1/n_{ads}$	K_{ads}	$1/n_{ads}$
pH	-0.774*	0.874**	-0.830*	0.894**	-0.782*	0.731*	NS	NS
CEC	0.892**	NS	0.954**	-0.832*	0.911**	NS	0.768*	NS
Organic matter	0.973**	NS	0.943**	-0.780*	0.982*	NS	0.969**	NS
Total Fe oxides	0.759*	NS	0.793*	-0.766*	0.779*	NS	0.713*	NS
Total Mn oxides	NS	NS	NS	NS	NS	NS	NS	NS
Amorp. Fe oxides	NS	NS	NS	NS	NS	NS	NS	NS
Amorp. Me oxides	NS	NS	NS	NS	NS	NS	NS	NS
CaCO_3 content	NS	NS	NS	NS	NS	NS	NS	NS
Clay	0.732*	NS	0.843**	-0.807*	0.761*	NS	NS	NS
Silt	0.932**	NS	0.969**	-0.781*	0.941**	NS	0.841**	NS
Sand	-0.908**	NS	-0.961**	NS	-0.921**	NS	-0.802*	NS

* , ** : Significant at $p = 0.05$ and 0.01 respectively

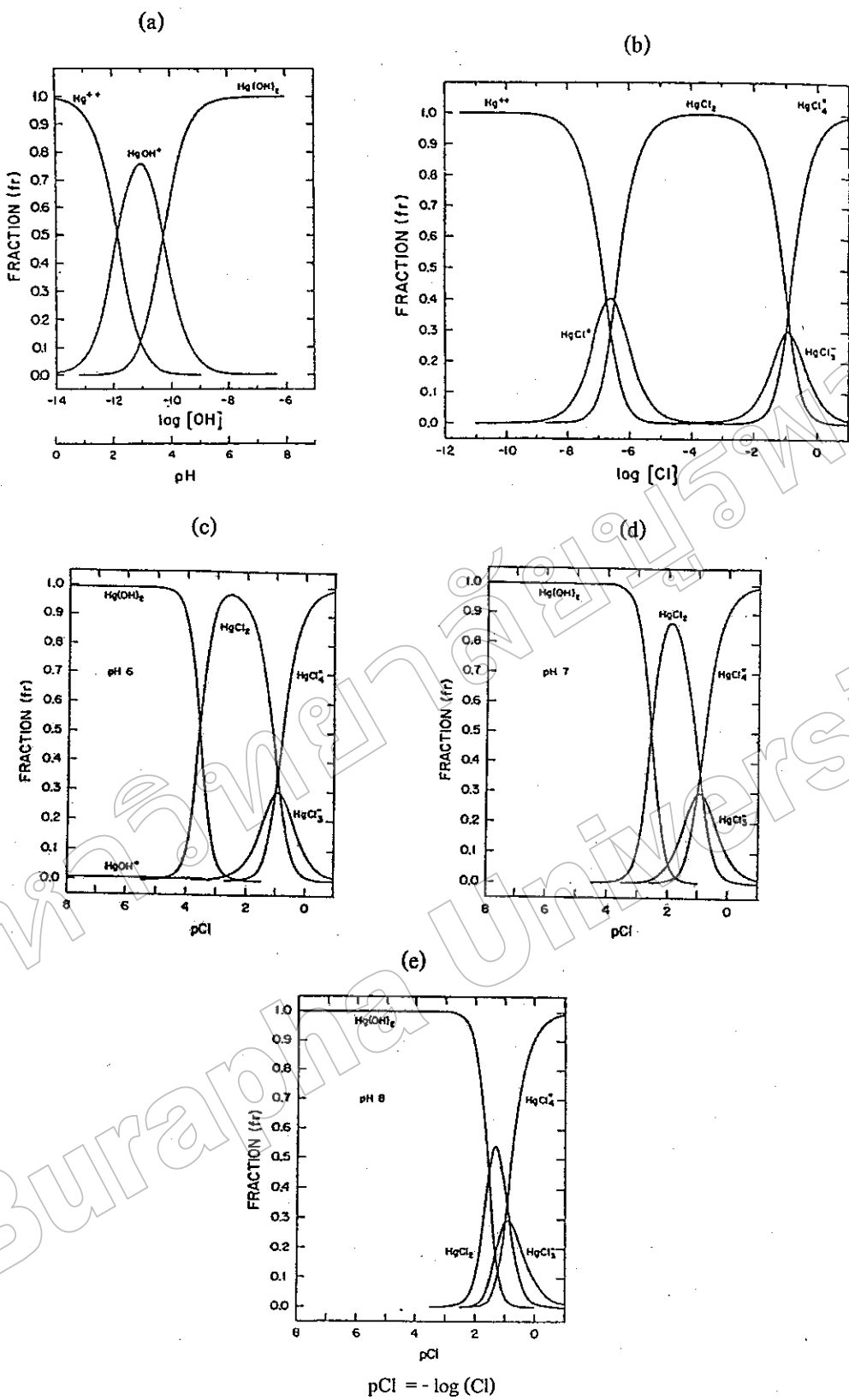
NS : Not significant ($p > 0.05$)

นอกจากนี้ยังพบความสัมพันธ์ทางบวกระหว่างค่า K_{ads} กับค่า CEC ทุกรอบความเค็มที่ทดลองซึ่งแสดงว่า การดูดซับสารป्रอทเกี่ยวข้องกับกระบวนการแลกเปลี่ยนประจุ (cation exchange reaction) มากกว่าที่จะเป็นกระบวนการ chemisorption และพบความสัมพันธ์ทางลบกับอนุภาคทรัพย์ แสดงว่า หากมีสัดส่วนของอนุภาคทรัพย์สูงจะทำให้ความสามารถหรือความจุของดินในการดูดซับสารป्रอทลดน้อยลง และจากการศึกษา พบว่า ค่าความเป็นกรด-ด่างของดินตะกอนมีอิทธิพลอย่างมากต่อกระบวนการ การดูดซับสารป्रอททั้งผลที่มีต่อความสามารถหรือความจุของดินในการดูดซับและอัตราเร็วของการดูดซับ ถึงแม้ว่าความเป็นกรด-ด่างของดินตะกอนที่ศึกษาระดับนี้ไม่แตกต่างกันมากก็ตาม คือมีค่าอยู่ระหว่าง 7.8 - 8.3 เนื่องจากพบความสัมพันธ์ทางลบอย่างมีนัยสำคัญระหว่างค่า K_{ads} กับค่าความเป็นกรด-ด่างของดินตะกอน โดยเฉพาะในช่วงความเค็มระหว่าง 0-30 psu ซึ่งแสดงว่าความสามารถของดินตะกอนในการดูดซับสารป्रอทจะเพิ่มขึ้นเมื่อค่าความเป็นกรด-ด่างของดินลดต่ำลงหรือในสภาพที่เป็นกรดมากขึ้น ทั้งนี้เนื่องจากที่ความเป็นกรด-ด่างตัวจะพบร่องน้ำดีที่ประจุบวก (positively charged Hg species) มาก ทำให้สารป्रอทถูกดูดซับได้มากขึ้น (Yin et al., 1996) และในทางกลับกันอัตราเร็วของการดูดซับ ($1/n_{ads}$) สารป्रอทจะเพิ่มขึ้นเมื่อค่าความเป็นกรด-ด่างของดินเพิ่มขึ้น

การศึกษาอิทธิพลของความเค็มที่มีต่อการดูดซับสารป्रอทโดยดินตะกอน พบว่า ส่วนใหญ่แล้ว ความเค็มไม่มีผลต่อการดูดซับสารป्रอท ยกเว้นที่ความเค็มระดับสูงๆ โดยเฉพาะที่ 45 psu มีผลทำให้ การดูดซับสารป्रอทลดลงทั้งนี้เนื่องจากมีสัดส่วนของสารป्रอทและลักษณะของดิน ตะกอนแต่ละสถานีต่างๆ โดยดินตะกอนที่มีปริมาณสารอินทรีย์สูงกว่าและเนื้อดินมีสัดส่วนของอนุภาค ทรัพย์เป็นและดินเหนียวสูงกว่า (สถานีที่ 3 และ 7) มีการดูดซับสารป्रอทได้ดีกว่า และความเค็มที่ทำ การศึกษาพบไม่มีผลต่อการดูดซับสารป्रอท ทำให้ปริมาณป्रอทที่ถูกดูดซับมีค่าใกล้เคียงกันทั้ง 4 ความเค็ม ทั้งนี้เนื่องจากปริมาณสารอินทรีย์สามารถไป結合อิทธิพลของคลอไรค์ลงได้ เพราะสารอินทรีย์ สามารถจับกับป्रอทได้ดีกว่าคลอไรด์ (Yin et al., 1996) ซึ่งตามปกติแล้วความเค็ม หรือคลอไรค์อ่อน ขึ้นกว่าเป็น complexing agent ตัวหนึ่งที่มีบทบาทสำคัญต่อการละลายได้ และการเคลื่อนที่ (mobility) ของสารป्रอทในสิ่งแวดล้อม การเกิดสารประกอบเชิงช้อนของคลอไรด์ สามารถเปลี่ยนคุณสมบัติทางเคมีของป्रอทอ่อน เช่น การละลายได้ และประจุ (charge) ซึ่งอาจมีผลต่อการเปลี่ยนพฤติกรรมการดูดซับสารป्रอทโดยดินตะกอน (Hahne and Kroontje, 1973a) คลอไรด์ สามารถลดการดูดซับสารป्रอท อันเป็นผลมาจากการเกิดสารประกอบเชิงช้อนของคลอไรด์ (chloride complexes) โดยเฉพาะที่ค่าความเป็นกรด-ด่างต่ำจะพบมาก (Bartow and Cox, 1992a, b; Nguyen et al., 1994) และชนิดของป्रอทที่พบมากที่ระดับความเค็มต่ำได้แก่ $Hg(OH)_2$ และ $HgCl_2$ ซึ่งเป็นพิวค์ไม่มีประจุ (uncharged species) โดยมี $Hg(OH)_2$ เป็นชนิดเด่นและมีความว่องไวในการดูดซับได้ดี (active adsorbed species) (Yin et al., 1996; Sarkar et al., 1999) ส่วนที่ระดับความเค็มสูงๆ ชนิดของป्रอทส่วนใหญ่จะอยู่ในรูปของ ประจุลบ เช่น $HgCl_3$ และ $HgCl_4^{2-}$ (ภาพที่ 16) ซึ่งไม่สามารถถูกดูดซับได้ (MacNaughton and James, 1974) เนื่องจากดินตะกอนมีคุณสมบัติเป็นประจุลบอยู่แล้ว เพราะในธรรมชาติดินตะกอนจะประกอบ

คิวบสารอินทรีซึ่งมีค่า pzc (point of zero charge) ที่ต่ำมากจึงทำให้มีประจุลบที่ค่าความเป็นกรด-ค่างในช่วงกว้างมาก (ตั้งแต่ pH > 3 ขึ้นไป) และเมื่อ pH เพิ่มขึ้น ประจุลบก็เพิ่มจำนวนตามไปด้วยจากกระบวนการ dissociation ของ H^+ จาก functional groups (Sparks, 1995) นอกจากนี้ในดินยังประกอบด้วย clay minerals และ hydrous Al and Fe oxides ซึ่งให้ประจุลบแก่ดินตะกอนอีกด้วย ดังนั้นที่ระดับความเค็มสูงๆ จึงน่าจะมีผลต่อการลดปริมาณการคุกซับสารprototh อย่างไรก็ตามอาจไม่เป็นไปตามที่กล่าวว่าเสนอไป เนื่องจากปริมาณสารอินทรีสามารถไปลดอิทธิพลของคลอไรด์ที่มีต่อการคุกซับสารprototh ได้ (Yin et al., 1996)

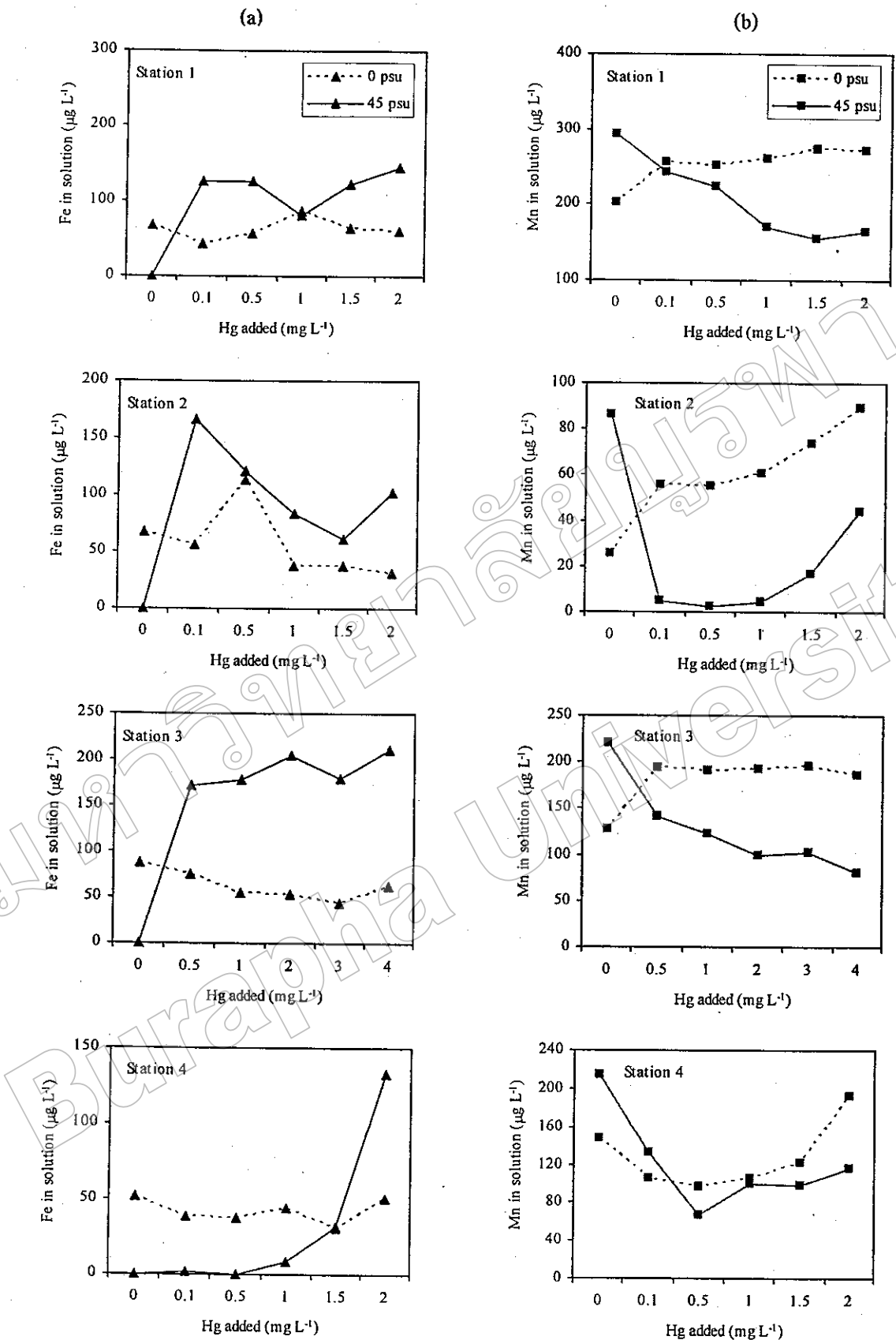
Thongra-ar (2001) ได้ศึกษาอิทธิพลของความเค็มต่อการคุกซับสารprototh โดยดินตะกอนจากแม่น้ำบางปะกง พบว่า ความเค็มไม่มีผลต่อการคุกซับสารprototh เช่นเดียวกัน เนื่องจากสารประกอบเชิงซ้อนของprototh และสารอินทรี (Hg-organic complexes) มีอิทธิพลเหนือกว่าสารประกอบเชิงซ้อนของprototh และคลอไรด์ (Hg-Cl complexes) จึงไปบดบังอิทธิพลของคลอไรด์โดยล้วนเชิงถึงแม่ดินตะกอนบริเวณมหาดูรุดมีสารอินทรีค่อนข้างน้อยเมื่อเทียบกับดินบริเวณแม่น้ำบางปะกงมาก แต่จากความสัมพันธ์ที่พบในระดับสูงระหว่างค่าความเค็มในการคุกซับสารprototh ของดินตะกอนกับปริมาณสารอินทรีซึ่งมีค่าใกล้เคียงกันทั้ง 4 ระดับความเค็ม (ตารางที่ 20) จึงน่าเป็นเหตุผลสำคัญของการลดอิทธิพลของความเค็มที่มีต่อการคุกซับสารprototh ที่พบในการศึกษาครั้งนี้



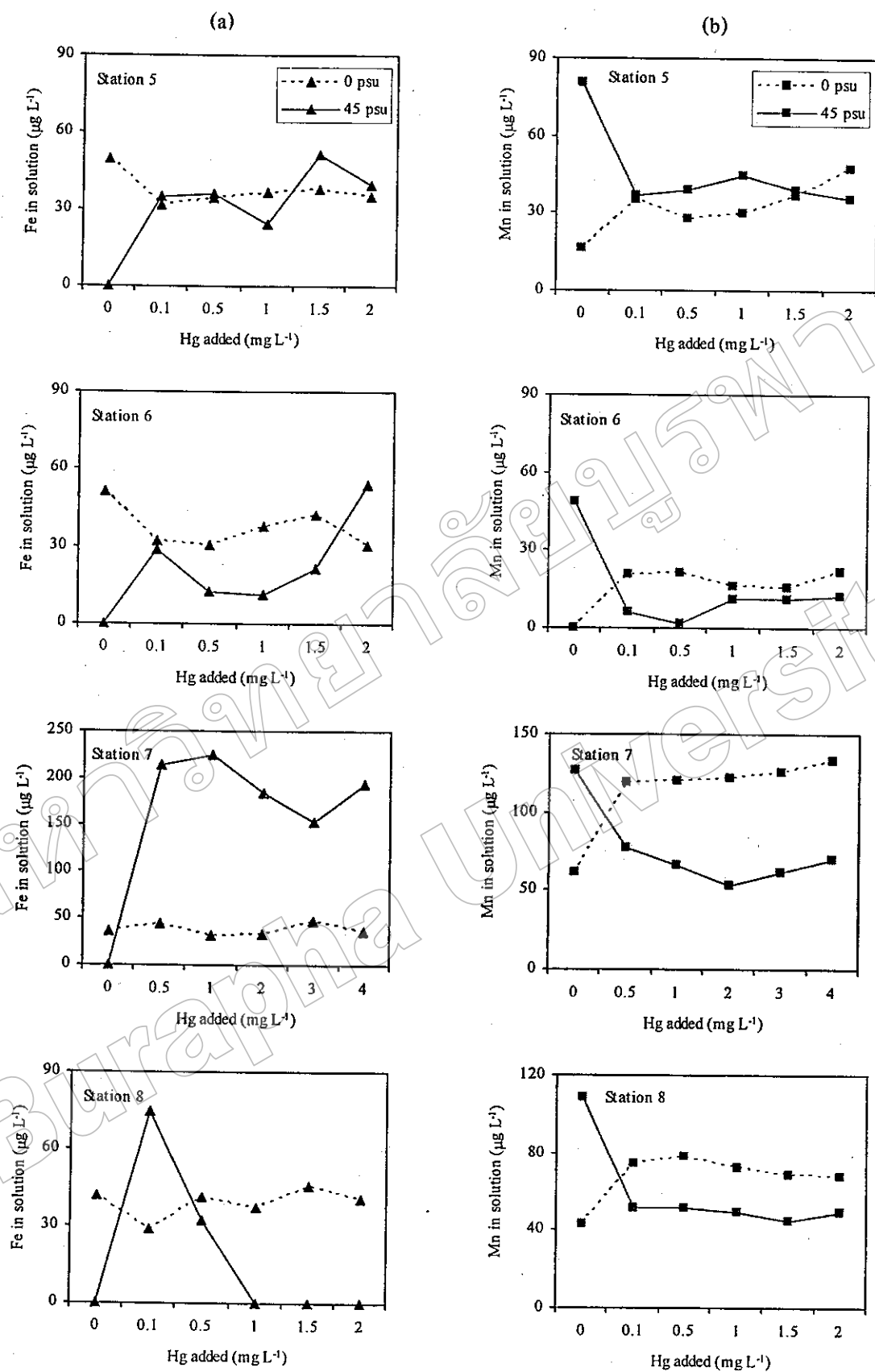
ภาพที่ 16 ชนิดของปรอท (Hg species) ที่ระดับความเป็นกรด-ค่างและคลอไรด์อิオン ต่างๆ กัน

- (a) และ (b) จาก Hahne and Kroontje (1973a);
- (c), (d) และ (e) จาก Hahne and Kroontje (1973b)

การศึกษาครั้งนี้ได้ทำการตรวจวัดปริมาณของเหล็กและแมงกานีสในสารละลายน้ำที่ทำการทดลองดูดซับสารปะอหที่ความเข้มข้นต่างๆโดยดินตะกอน และดูดซับของกรดซึ่งมี 24 ชั่วโมง เนพาะที่ความคืบ 0 และ 45 psu ดังแสดงในภาพที่ 17 ผลการศึกษา พบว่าที่ความคืบ 0 psu มีการปล่อยแมงกานีสออกจากดินตะกอนซึ่งมีแนวโน้มตามความเข้มข้นของปะอหที่เพิ่มขึ้น (ภาพที่ 17 (b)) และแสดงว่าปะอหถูกดูดซับที่ออกไชค์ของแมงกานีสได้ดีกว่าออกไชค์ของเหล็กซึ่งแม่่วัดินตะกอนบริเวณนี้มีออกไชค์ของแมงกานีสน้อยกว่าของเหล็กหลายเท่ากัน และในกระบวนการดูดซับปะอหที่ออกไชค์ของโลหะนั้น ปะอหได้เข้าไปแทนที่แมงกานีสมากกว่าไปแทนที่เหล็กในโครงสร้างของออกไชค์ เมื่องจากแมงกานีสออกไชค์มีความว่องไวในการดูดซับสารปะอหมาก ทั้งนี้มีรายงานว่า ในบรรดาโลหะออกไชค์ทั้งหลาย แมงกานีสได้ออกไชค์ดีอุ่นดับรองลงมา (Krauskopf, 1956 อ้างใน Lockwood and Chen, 1973) และนอกจานี้ McKenzie (1970) อ้างโดย Backes et al. (1995) พบว่าการดูดซับโลหะเข้าไปในออกไชค์ของแมงกานีสนั้นเกี่ยวข้องกับการปล่อยแมงกานีส (Mn^{2+}) และอ่อนนวนกันๆออกจากออกไชค์แล้วโลหะเหล่านั้นก็เข้าไปแทนที่อ่อนนวนกันๆที่รูปคลื่นล้อของออกมานา ซึ่งคล้ายกับที่พบในการศึกษาครั้งนี้ แต่เมื่อความคืบสูงขึ้น (45 psu) พบว่าการปล่อยแมงกานีสออกจากดินตะกอนได้ลดลงจากที่ไม่มีความคืบซึ่งตรงกันข้ามกับเหล็กที่มีแนวโน้มละลายออกจากดินตะกอนเพิ่มขึ้น (ภาพที่ 17 (a)) เมื่องจากคลอร์ไรด์สามารถกัดสารประกอบเชิงซ้อนกับเหล็กและแมงกานีสที่อยู่ในดินตะกอนได้ด้วยทำให้โลหะทั้งสองละลายออกจากดินตะกอนพร้อมกับพาหารปะอหที่เกิดต่อออกมาน้ำแข็ง (Wang et al., 1991) จากผลการศึกษานี้อาจเป็นไปได้ว่าเหล็กสามารถกัดสารประกอบเชิงซ้อนกับคลอร์ได้ดีกว่าแมงกานีสซึ่งทำให้เหล็กละลายออกจากดินตะกอนมากกว่า ประกอบกับปะอหที่อยู่ในสารละลายน้ำสามารถจับกับคลอร์ได้ด้วยเกิดสารประกอบเชิงซ้อนของปะอหและคลอร์ ทำให้ปะอหไม่สามารถเข้าไปแทนที่แมงกานีสในโครงสร้างของออกไชค์ได้ ด้วยเหตุนี้ จึงทำให้การดูดซับสารปะอหโดยดินตะกอนบางสถานีลดลงเมื่อความคืบสูงขึ้นคงได้กล่าวมาแล้วในตอนแรกๆ



ภาพที่ 17 ปริมาณ (a) เหล็ก และ (b) แมงกานีสในสารละลายน้ำด้วยการดูดซับสารprotoxide คืนตะกอนสถานีต่างๆที่ความเค็ม 0 และ 45 psu



ภาพที่ 17 (ต่อ)

4.2 การปลดปล่อยสารปะอุก

การศึกษาการปลดปล่อยสารปะอุกจากดินตะกอนที่ระดับความเข้มข้นแตกต่างกัน 2 ระดับ โดยเติมแต่ 0.05 M $\text{Ca}(\text{NO}_3)_2$ ซึ่งใช้เป็น background electrolyte ลงในคินตะกอนและไม่เติมสารปะอุก เว้นในกรณีศึกษาอิทธิพลของความเค็มได้เติม NaCl ลงไปด้วย ทำการทดลองรวม 7 รอบ พนวจว่าในช่วงแรกโดยเฉลี่ยในรอบที่ 1 มีสารปะอุกปลดปล่อยออกมาก หลังจากนั้นปริมาณได้ลดลงแต่ยังคงมีการปลดปล่อยออกมาอยู่ร่องๆ เมื่อครบ 7 รอบแล้วก็ตาม และเมื่อนำเข้ามูลมหาศาความสัมพันธ์กันตามสมการ Freundlich isotherm พนวจว่ามีข้อมูลบางชุดไม่มีความสัมพันธ์กันตามสมการดังกล่าวโดยพิจารณาจากค่า R^2 ที่ได้ ดังแสดงในตารางที่ 21 ทั้งนี้ข้อมูลที่พนวจว่ามีความสัมพันธ์ตามสมการ Freundlich isotherm นั้น จะเป็นข้อมูลที่คินตะกอนมีสารปะอุกสูงมากกว่าคินตะกอนที่มีสารปะอุกอยู่น้อย อีกทั้งในที่นี้จะนำเข้ามูลดังกล่าวมาประกอบในการอภิปรายผลด้วย เมื่อจากได้ทำการลองตัดชิ้นมาบ้างส่วนของเพื่อเพิ่มค่า R^2 ให้สูงขึ้น และพนวจว่าไม่มีผลทำให้ค่า K_{des} และ $1/n_{des}$ ที่ได้เปลี่ยนแปลงไปจากข้อมูลเดิมมากนัก

ผลการศึกษามีพิจารณาจากค่า Freundlich desorption parameters (K_{des} และ $1/n_{des}$) พนวจว่า K_{des} มีค่าสูงกว่า K_{ads} ในขณะที่ $1/n_{des}$ มีค่าน้อยกว่า $1/n_{ads}$ ซึ่งแสดงว่าการรายหักของสารปะอุกจากดินตะกอนนั้นต้องใช้พลังงานสูงในการดึงสารปะอุกมา ทั้งนี้พลังงานที่ใช้ยังขึ้นกับระดับความเข้มข้นของสารปะอุกที่ถูกดูดซับเข้าไปด้วย เมื่อจากค่า K_{des} ของคินตะกอนที่มีสารปะอุกสูงจะมากกว่าในคินตะกอนที่มีสารปะอุกน้อยกว่า ส่วนอัตราเร็วในการปลดปล่อยสารปะอุกจะตรงกันข้ามกันและซ้ำกันอัตราการดูดซับมากด้วย จากผลดังกล่าว ซึ่งค่า $K_{des} > K_{ads}$ และ $1/n_{des} < 1/n_{ads}$ แสดงว่าปะอุกที่ถูกดูดซับไว้ไม่สามารถปลดปล่อยกลับคืนสู่ชั้นน้ำได้ทั้งหมดจะยังคงมีปะอุกบางส่วนตกค้างและจับแน่นอยู่ในคินตะกอนด้วย ซึ่งเป็นการดูดซับที่เรียกว่า irreversible sorption ทั้งนี้เมื่อจากในคินตะกอนที่ศึกษามีส่วนประกอบของสารอินทรีย์ คินเนนิยา และทรราชเป็น แมมนิย์ในปริมาณไม่มากนักก็ตาม แต่องค์ประกอบเหล่านี้ โดยเฉพาะสารอินทรีย์มีความสามารถในการจับยึดกับสาร) ปะอุกได้ดีมาก (Yin et al., 1997 a, b) นอกจากนี้ Wallschläger et al. (1998) บันทึกรายงานว่าสารปะอุกที่จับรวมตัวกับสารอินทรีย์ด้วย S-containing groups จะเป็นสารประกอบเชิงซ้อน (complexes) ที่เลือยในปฏิกิริยาเคมี เช่น การแข่งขัน (competition) กับ cations ชนิดอื่นจะไม่เกิดขึ้น และสารปะอุกจะถูกปลดปล่อยออกจากสารประกอบเชิงซ้อนนี้ได้ช้าหรือน้อยมากๆ

ตารางที่ 21 Freundlich desorption parameters ของการปลดปล่อยสารปรอท และปริมาณสารปรอทที่ปลดปล่อยออกจากดินตะกอนที่ความเค็มต่างๆ กัน

Station	Salinity (psu)	Initial Hg added (mg L ⁻¹)	Initial adsorbed Hg ($\mu\text{g g}^{-1}$ dry wt.)	K _{des}	1/n _{des}	R ²	Total desorbed amount	
							($\mu\text{g g}^{-1}$)	(%)
1	0	1	9.83	9.8277	0.00002	0.0045	0.013	0.13
		2	16.31	15.728	0.0057	0.9384**	0.744	4.59
	15	1	9.97	9.9617	0.0006	0.8202**	0.015	0.16
		2	18.56	18.513	0.0005	0.9039**	0.056	0.30
	30	1	9.98	9.969	0.00006	0.0251	0.012	0.12
		2	18.89	18.857	0.0003	0.9211**	0.042	0.22
	45	1	9.95	9.9364	0.001	0.7406*	0.031	0.31
		2	17.70	17.662	0.0004	0.8066**	0.051	0.29
	2	0	9.43	7.6318	0.0441	0.8407**	1.166	13.05
		2	18.98	15.826	0.038	0.8657**	1.654	9.04
		15	9.05	7.2375	0.0486	0.9096**	1.088	12.64
		2	17.28	13.113	0.052	0.9198**	2.368	14.58
		30	7.90	7.4215	0.0107	0.9128**	0.457	5.94
		2	13.66	11.603	0.0243	0.9400**	1.593	12.19
		45	8.17	7.6868	0.0106	0.8965**	0.501	6.22
		2	8.43	6.5264	0.0325	0.8856**	1.701	21.18
	4	0	8.94	8.7836	0.0036	0.9691**	0.212	2.34
		2	19.01	15.927	0.001	0.9367**	3.10	17.03
		15	9.16	9.0792	0.0019	0.9460**	0.102	1.12
		2	18.38	17.217	0.0086	0.7155*	1.186	6.6
		30	8.85	8.8099	0.0009	0.9393**	0.060	0.68
		2	16.54	15.827	0.0109	0.8193**	0.635	3.88
		45	8.75	8.7422	0.0002	0.9388**	0.021	0.24
		2	13.18	12.756	0.0045	0.9044**	0.459	3.49
	5	0	9.08	9.067	0.0003	0.8756*	0.018	0.2
		2	18.46	15.903	0.0009	0.8293**	2.577	14.06
		15	9.42	9.4056	0.0004	0.6421*	0.027	0.28
		2	18.13	17.538	0.0061	0.9714**	0.657	3.65
		30	9.62	9.6059	0.0004	0.5640	0.026	0.27
		2	17.99	17.936	0.0006	0.8674**	0.080	0.45
		45	8.16	8.1365	0.0006	0.9245**	0.032	0.39
		2	15.88	15.837	0.0005	0.8276*	0.064	0.40
	6	0	9.03	9.7502	0.0063	0.9592**	0.396	4.4
		2	18.66	16.069	0.0056	0.8014*	2.640	14.64
		15	9.12	9.1064	0.0004	0.7701**	0.029	0.31
		2	18.27	16.481	0.016	0.7144*	1.596	9.02
		30	9.03	9.0168	0.0003	0.6973*	0.025	0.28
		2	17.21	16.694	0.0048	0.8937**	0.523	3.07
		45	9.64	9.6265	0.0004	0.9126**	0.026	0.27
		2	14.15	13.471	0.0066	0.8488**	0.057	0.41

ตารางที่ 21 (ต่อ)

Station	Salinity (psu)	Initial Hg added (mg L ⁻¹)	Initial adsorbed Hg ($\mu\text{g g}^{-1}$ dry wt.)	K_{des}	1/n _{des}	R^2	Total desorbed amount	
							($\mu\text{g g}^{-1}$)	(%)
8	0	1	9.70	9.7067	-0.001	0.0477	0.011	0.11
		2	18.16	17.403	0.0078	0.9629**	0.985	5.43
	15	1	9.98	9.9723	0.001	0.6056*	0.028	0.28
		2	19.25	19.212	0.0005	0.8282*	0.53	0.28
	30	1	9.99	9.9874	0.0004	0.7027*	0.018	0.18
		2	18.54	18.51	0.0003	0.8850**	0.040	0.22
	45	1	9.98	9.9679	0.0013	0.7258	0.032	0.32
		2	18.03	18.008	0.0002	0.5221	0.047	0.26
	3	0	2	20.00	19.767	0.00006	0.1484	0.012
		4	35.60	35.525	0.0003	0.9738**	0.105	0.29
		15	2	19.98	19.975	0.0003	0.6552	0.017
		4	37.36	37.262	0.0005	0.9900**	0.119	0.32
		30	2	19.98	19.976	0.0002	0.9449**	0.016
		4	37.72	37.68	0.0002	0.9497**	0.047	0.12
		45	2	19.98	19.974	0.0007	0.6145	0.028
		4	36.96	36.939	0.0001	0.6681*	0.048	0.13
		0	2	19.99	19.984	-0.0001	0.1674	0.010
		4	39.14	39.108	0.0002	0.8440**	0.047	0.12
	15	2	20.00	19.994	-0.00005	0.0096	0.010	0.05
		4	39.08	39.013	0.0004	0.9537**	0.086	0.22
	30	2	20.00	19.986	-0.00003	0.0101	0.009	0.05
		4	38.75	38.858	0.0023	0.9622**	0.019	0.05
	45	2	10.00	19.979	-0.0006	0.3408	0.019	0.19
		4	38.96	39.534	0.0181	0.7401*	0.038	0.10

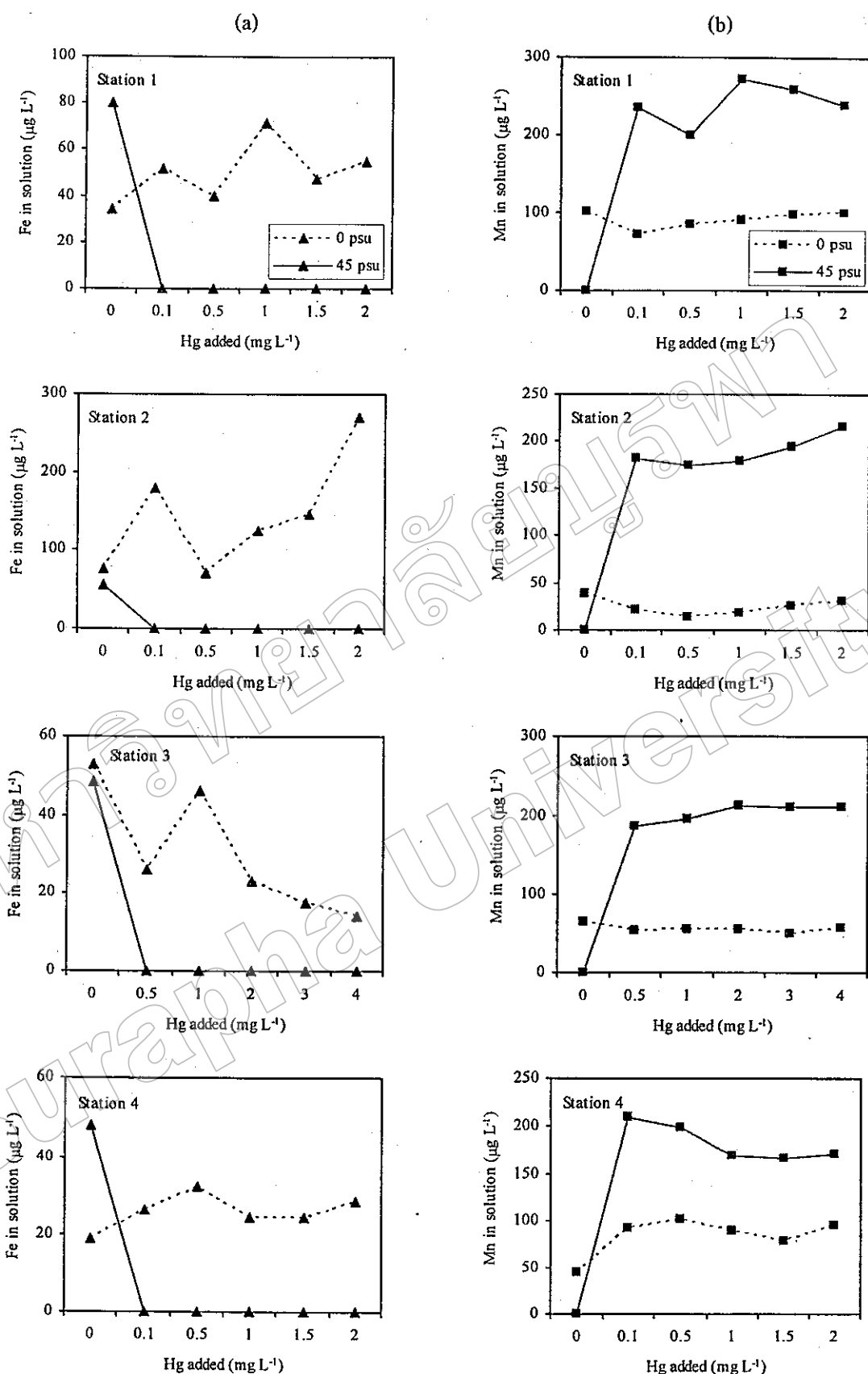
* , ** : Significant at $p = 0.05$ and 0.01 respectively

จากตารางที่ 21 พบว่าปรอทถูกปล่อยออกจากคินตะกอน ได้น้อยมากส่วนใหญ่ไม่ถึง 10 % ของปริมาณที่คุดซับไว้ และคินตะกอนในสถานีเดียวกับปริมาณปรอทที่ปล่อยออกมานี้ยังขึ้นอยู่กับปริมาณที่คุดซับไว้ด้วย ซึ่งหากปริมาณที่คุดซับไว้มีมาก การปล่อยออกมานี้แนวโน้มมากตามไปด้วยแต่ไม่ทุกสถานี นอกสถานีนี้ยังพบว่า คินตะกอนของสถานีที่ 3 และ 7 ซึ่งมีปริมาณของสารอินทรีย์ ดินเหนียว และกรายเป็นสูงกว่าสถานีอื่นๆทั้งหมด มีการปล่อยสารปรอทออกมาน้อยมากๆ กล่าวคือส่วนใหญ่ น้อยกว่า 0.2 % ของปริมาณปรอทที่คุดซับไว้ ซึ่งมีค่าโดยประมาณ $20-40 \mu\text{g g}^{-1}$ น้ำหนักแห้ง (ข้อสังเกต ปริมาณปรอทที่คุดซับของสถานีที่ 3 และ 7 จะสูงกว่าสถานีอื่นๆ เพราะมีการคุดซับได้ดีกว่า) และจากผลการศึกษาปริมาณปรอทรวมในคินตะกอนบริเวณนิคมอุตสาหกรรมนาบตาพุดในปี 2546 พบว่ามีค่าอยู่ในช่วงระหว่าง $<0.0023 - 0.224 \mu\text{g g}^{-1}$ น้ำหนักแห้ง ซึ่งน้อยมากเมื่อเทียบกับผลจากการทดลองครั้งนี้ ดัง

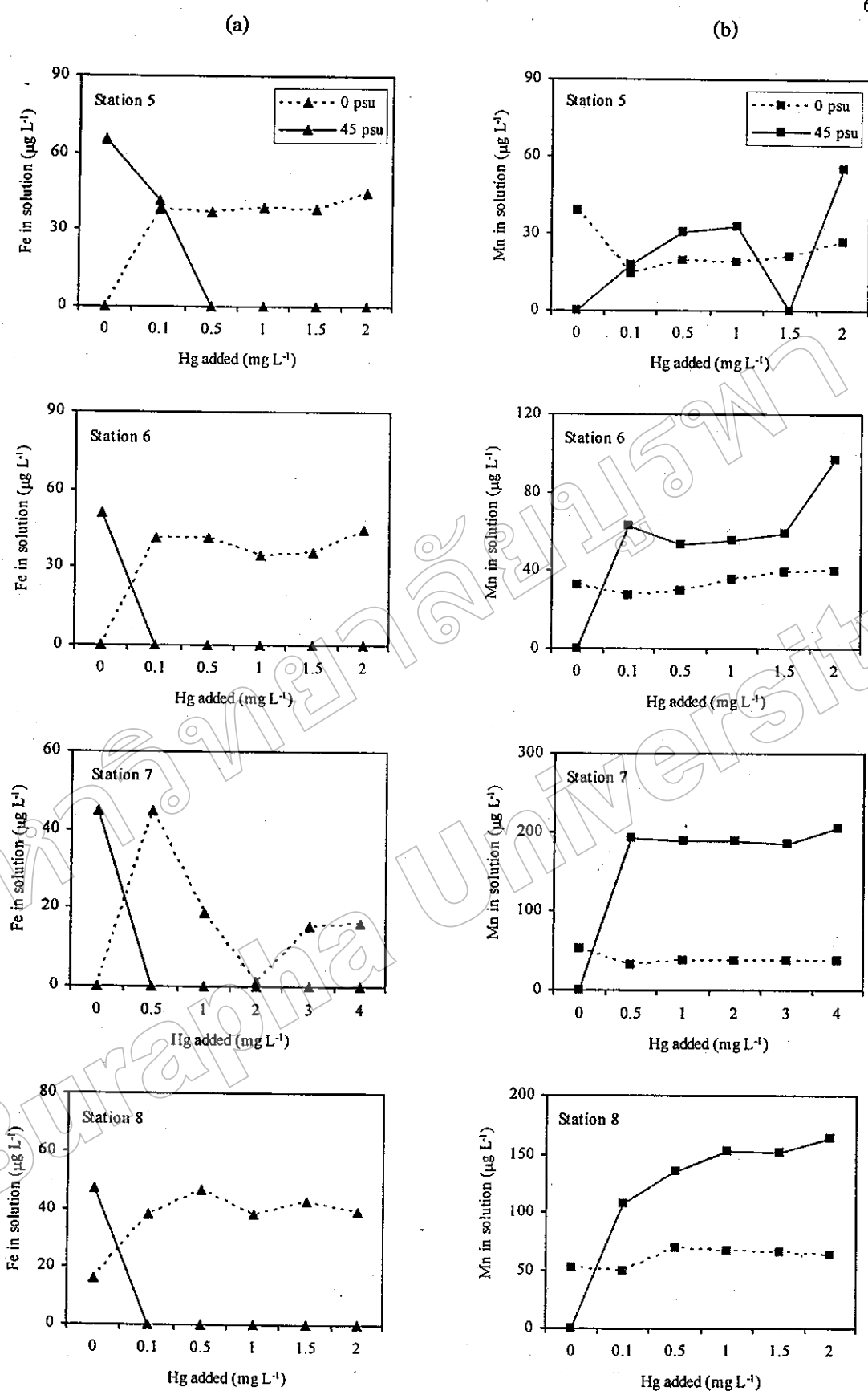
นั้น ในสภาพจริงตามธรรมชาติ การปลดปล่อยสารprotothokจากคินตะกอนบริเวณมาตราพุดจึงเป็นไปได้ยากมากหรือแทนไม่เกิดขึ้นเลย

สำหรับการศึกษาอิทธิพลของความเค็มหรือคลอไรด์ที่มีต่อการปลดปล่อยสารprotothokจากคินตะกอนนั้น เมื่อพิจารณาจากค่า K_{des} และ $1/n_{des}$ ของห้องสีความเค็ม พบร่วมกันว่า มีค่าไม่แตกต่างกัน แต่มีแนวโน้มที่ระดับความเค็มสูงๆ ที่ ค่า K_{des} จะลดลง และ $1/n_{des}$ เพิ่มขึ้น ซึ่งแสดงว่า activation energy สำหรับใช้ในการดึงprotothokออกจากคินตะกอนได้ลดลง ประกอบกับอัตราเร็วในการปลดปล่อยหรือคายสารได้เพิ่มขึ้น จึงทำให้protothokที่ถูกดูดซับไว้ละลายออกจากคินตะกอนได้ง่ายขึ้นกว่าที่ระดับความเค็มต่ำหรือที่ไม่มีความเค็ม เนื่องจากprotothokจะออกมามเพื่อไปรวมกับคลอไรด์เกิดสารประกอบเชิงช้อนขึ้น ทั้งนี้จะพบได้เฉพาะในคินตะกอนที่มีการเติมสารprotothokสูงชั้นในที่นี่คือที่ระดับ 2 mg L^{-1} อย่างไรก็ตามพบเพียงบางสถานีเท่านั้น โดยเฉพาะสถานีที่ 2 ซึ่งเป็นคินทราระยะน้ำลึกและมีสารอินทรีย์น้อย แสดงว่าไม่เพียงแค่ความเค็มเท่านั้น คุณลักษณะของคินตะกอนและองค์ประกอบในคินตะกอนก็มีผลต่อการปลดปล่อยสารprotothokด้วย

นอกจากนี้ได้ทำการศึกษาปริมาณของเหล็กและแมงกานีสที่ละลายออกจากคินตะกอนในกระบวนการศึกษาการปลดปล่อยสารprotothokที่ความเค็ม 0 และ 45 psu ซึ่งพบผลในทางตรงกันข้าม กับการศึกษาการดูดซับ ดังแสดงในภาพที่ 18 โดยพบว่า ที่ความเค็ม 0 psu นั้นมีการคายໄอดีทั้งสอง ออกจากคินตะกอนด้วย ซึ่งน่าจะเป็นผลมาจากการ แคลเซียมอิโอน (Ca^{++}) ซึ่งจัดเป็น major cation ชนิดหนึ่ง และมี affinity สูงในการจับกับ binding sites ของคินตะกอน (Backes et al., 1995) และมาจาก $\text{Ca}(\text{NO}_3)_2$ ซึ่งใช้เป็น background electrolyte ที่เติมลงไปในคินตะกอนขณะทำการทดลองเพื่อเดินแบบสภาพจริงในธรรมชาติ ได้เข้าไปแทนที่เหล็กและแมงกานีสในออกไซด์ของโลหะที่อยู่ในคินตะกอน รวมทั้งแทนที่protothokในคินตะกอนด้วย แต่มีความเค็มเพิ่มขึ้นเป็น 45 psu ไม่พบการปลดปล่อยเหล็กออกคินตะกอนที่ดูดซับสารprotothokไว้ ยกเว้นในคินที่ไม่ได้เติมสารprotothokเข้าไป ในขณะที่พบการปลดปล่อยแมงกานีสออกมานในปริมาณสูงกว่าที่ความเค็ม 0 psu แสดงว่าการปลดปล่อยสารprotothokจากคินตะกอน นอกจากอิทธิพลของคลอไรด์ที่ดึงสารprotothokออกมานแล้ว protothokบางส่วนอาจมาจากการ แมงกานีสออกไชด์ที่ละลายออกมานจากอิทธิพลของคลอไรด์เข่นกันพร้อมกับพาเนาสารprotothokที่เกิดติด ตามออกมานด้วย ผลการศึกษานี้แสดงให้เห็นว่าในสภาพปกติที่ไม่การปลดปล่อยสารprotothokโดยสูญเสียแล้ว น้ำและเป็นน้ำจืด protothokที่ถูกดูดซับไว้โดยคินตะกอนสามารถปลดปล่อยกลับคืนสู่แหล่งน้ำได้จากกระบวนการที่อ่อนบวกที่อยู่ในน้ำและมีความสามารถสูงกว่าหรือมี affinity สูงเข้าไปแทนที่โลหะบนพื้นผิวคินตะกอน แต่ในน้ำทะเลที่มีความเค็มสูงๆ protothokที่ถูกดูดซับไว้บางส่วนสามารถปลดปล่อยกลับคืนสู่แหล่งน้ำจากอิทธิพลของคลอไรด์และการละลายออกมาร่วมกับแมงกานีสที่อยู่ในคินตะกอนซึ่งอาจจะอยู่ในโครงสร้างของออกไชด์มากกว่าที่ละลายออกมาร่วมกับเหล็ก



ภาพที่ 18 ปริมาณ (a) เหล็ก และ (b) เมนกานีสในสารละลายน้ำดองศึกษาการปลดปล่อยสารproto-โคบดินตะกอนสถานีต่างๆที่ความเค็ม 0 และ 45 psu

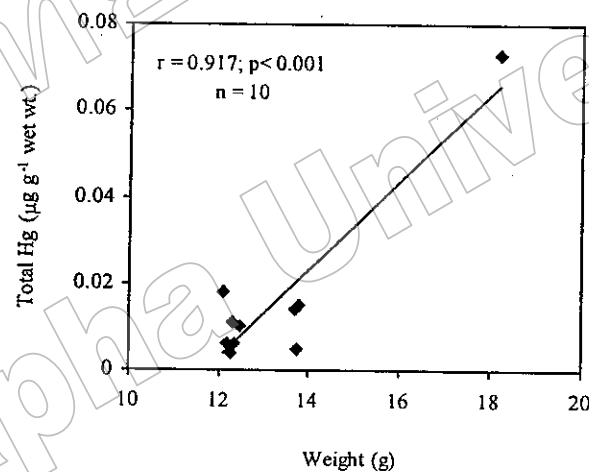


ภาพที่ 18 (ต่อ)

5. การศึกษาปริมาณการสะสมสารปรอทในสัตว์ทะเล

สำหรับการศึกษาการสะสมของสารปรอทในสัตว์ทะเลบริเวณนิคมอุตสาหกรรมภาคภาค ได้ทำการเก็บตัวอย่างโดยการตกเบ็ดและขอซื้อจากชาวประมงที่จับปลาอยู่ในบริเวณดังกล่าวได้ตัวอย่างสัตว์ทะเลทั้งหมด 26 ชนิด (species) จำแนกเป็นปลา 16 ชนิด 77 ตัวอย่าง หมึก 2 ชนิด 6 ตัวอย่าง ปู 1 ชนิด 21 ตัวอย่าง หอย 5 ชนิด 19 ตัวอย่าง กุ้ง 2 ชนิด 8 ตัวอย่าง รวมจำนวนตัวอย่างทั้งหมด 131 ตัวอย่าง ผลการศึกษา พบว่า ปริมาณการสะสมสารปรอทสูงสุดพบในหอยท้าช้างเล็ก *Cassis pila* เท่ากับ 0.232 mg kg^{-1} น้ำหนักเปียก รองลงมาได้แก่ ปลาข้างตะเก่า *Therapon puta* (0.075 mg kg^{-1} น้ำหนักเปียก) และปลาแม่น้ำญี่ปุ่น *Leiognathus* sp. (0.073 mg kg^{-1} น้ำหนักเปียก) ตามลำดับ (ตารางที่ 22) อย่างไรก็ตาม ปริมาณการสะสมสารปรอทในสัตว์ทะเลทั้งหมดที่ได้จากการศึกษาระดับนี้อยู่ในระดับที่ปลอดภัยสำหรับการบริโภคตามมาตรฐานอาหารที่มีสารปรับเปลี่ยนกำหนดโดยกระทรวงสาธารณสุขให้มีค่าสารปรอทไม่เกิน 0.5 mg kg^{-1} น้ำหนักเปียก สำหรับอาหารทะเล (กระทรวงสาธารณสุข, 2529)

การศึกษาความสัมพันธ์ระหว่างปริมาณปรอทกับขนาดหรือน้ำหนักของสัตว์ทะเลพบเฉพาะความสัมพันธ์ทางบวกกับปลาครุฑ์เท่านั้น ดังแสดงในภาพที่ 19



ภาพที่ 19 ความสัมพันธ์ระหว่างปริมาณปรอทรวมกับน้ำหนักของปลาครุฑ์

ตารางที่ 22 ปริมาณการตับและไข้กรอกในสัตว์ทะเลบริเวณเควนด้าหาดร่มตามทาง จังหวัดระยอง

บล๊อก	Species	Scientific name	Number of Specimen	Body Weight (g)		Total Length (cm)		Total Hg (mg kg ⁻¹ wet wt.)	
				Mean	SD	Mean	SD	Range	Mean ± SD
บล๊อก 1	<i>Rastrelliger neglectus</i>		14	24.0	8.5	12.9	1.44	0.014 - 0.028	0.021 ± 0.004
ปลาหก	<i>Sardinella</i> sp.		10	13.3	1.9	10.8	0.62	0.005 - 0.018	0.016 ± 0.021
ปลาหีต็อกน	<i>Sillago maculata</i>		13	48.9	15.5	16.7	1.4	0.003 - 0.068	0.038 ± 0.022
ปลาหีต็อกน	<i>Sillago sihama</i>		4	37.4	25.2	15.6	3.0	0.019 - 0.102	0.046 ± 0.038
ปลาดอกหมาดครึ่งชา	<i>Gerres punctatus</i>		9	124.6	16.6	19.5	0.97	0.002 - 0.058	0.028 ± 0.025
ปลาดอกหมาด	<i>Gerres</i> sp.		1	29.5	-	13.0	-	0.005	0.005
ปลากระเบน	<i>Dasyatis</i> sp.		3	206.1	34.7	27.7	7.5	0.004 - 0.042	0.025 ± 0.019
ปลาสอดตัวปูดาน	<i>Siganus</i> sp.		3	273.5	4.1	24.0	1.0	0.015 - 0.017	0.015 ± 0.001
ปลาลิ้นหมา	<i>Grammatophothis polyophthalmus</i>		1	218.4	-	24	-	0.054	0.054
ปลาเป้ปีกนก	<i>Leiognathus</i> sp.		2	20.7	0.8	11	0	0.068 - 0.079	0.073 ± 0.008
ปลากราดหนังสือเขียน	<i>Lutjanus vitta</i>		1	129.4	-	21	-	0.039	0.039
ปลากราดหนังเข็มปืน	<i>Lutjanus russelli</i>		1	75.3	-	17	-	0.026	0.026
ปลากราดหนังเข็มปืน	<i>Lutjanus vitta</i>		1	13.2	-	10	-	0.054	0.054
ปลาสกุน	<i>Caranx kalla</i>		2	28.4	5.1	14.5	1.4	0.037 - 0.040	0.038 ± 0.002
ปลากรายเขต	<i>Nemipterus</i> sp.		5	81.3	51.1	17.4	4.4	0.042 - 0.109	0.063 ± 0.027
ปลาซึ้งจะง	<i>Therapon puta</i>		7	33.8	20.4	12.3	2.9	0.044 - 0.138	0.075 ± 0.030
บู่ราก	<i>Portunus pelagicus</i>		21	82.7	28.4	-	-	0.010 - 0.050	0.024 ± 0.009

ตารางที่ 22 (ต่อ)

Species	Scientific name	Number of Specimen	Body Weight (g)		Total Length (cm)		Total Hg (mg kg^{-1} wet wt.)	
			Mean	SD	Mean	SD	Range	Mean \pm SD
หมึกหอย (หิ่ง)	<i>Sepioteuthis</i> sp.	5	120.2	48.3	31.0	3.7	0.017 - 0.048	0.036 \pm 0.013
หมึกหอย (ตื้น)	<i>Sepioteuthis</i> sp.	5	120.2	48.3	31.0	3.7	0.020 - 0.062	0.043 \pm 0.016
หมึกสาย (หิ่ง)	<i>Octopus</i> sp.	1	30.7	-	-	-	0.028	0.028
หมึกสาย (ตื้น)	<i>Octopus</i> sp.	1	30.7	-	-	-	0.020	0.020
หอยสัมภาระแม่น	<i>Cymbiola nobilis</i>	3	331.4	31.7	-	-	0.013 - 0.016	0.015 \pm 0.002
หอยเปลือก	<i>Mytilus viridis</i>	3	45.9	24.2	-	-	0.011 - 0.028	0.012 \pm 0.001
หอยดุก	<i>Pinctada</i> sp.	8	39.1	7.8	-	-	0.020 - 0.032	0.025 \pm 0.004
หอยหวาน	<i>Babylonia arcalata</i>	3	38.4	5.0	-	-	0.032 - 0.054	0.045 \pm 0.011
หอยหัวเข็มสีฟ้า	<i>Cassis pila</i>	2	76.6	2.7	-	-	0.216 - 0.247	0.232 \pm 0.021
หอยหัวเข็ม	<i>Squilla</i> sp.	3	27.2	3.5	-	-	0.028 - 0.041	0.035 \pm 0.006
หอยกระดาน	<i>Thonus orientalis</i>	5	69.1	16.4	-	-	0.019 - 0.035	0.024 \pm 0.008

สารprotoที่สะสมในสัตว์ทะเลนั้นสามารถก่อให้เกิดอันตรายต่อสุขภาพอนามัยของมนุษย์ได้จากการบริโภคอาหารทะเล การปนเปื้อนของสารprotoในสิ่งมีชีวิตในทะเลจึงสามารถใช้ในการประเมินผลกระทบทางชีวภาพต่อสิ่งแวดล้อมทางทะเลและผลกระทบต่อสุขภาพอนามัยของมนุษย์ได้ สัตว์ทะเลมีการสะสมสารprotoได้แตกต่างกันในแต่ละชนิด โดยที่นิยมอยู่กับพฤติกรรมการกินอาหารและแหล่งที่อยู่อาศัย ซึ่งทำให้มีโอกาสในการได้รับสารprotoแตกต่างกัน ปลาที่มีโอกาสสะสมสารprotoมากกว่าสัตว์น้ำอื่นๆทั้งทางตรงจากน้ำทะเลหรือทางอ้อมโดยผ่านห่วงโซ่อากาศ (Keckes and Miettinen, 1972) เนื่องจากสารprotoที่มี affinity สูงในการจับกับ sulphydryl groups ในโปรตีนที่อยู่ในปลา (Spry and Wiener, 1991) ประกอบกับปลาส่วนใหญ่มีโปรดีนสูงกว่าสัตว์น้ำประเภทอื่นๆ และสารprotoที่สะสมในปลาส่วนใหญ่จะอยู่ในรูปของเมทธิลเมอร์คิวรี (methylmercury) ซึ่งเป็นสารประกอบ protoอันตรายที่มีพิษมากที่สุด (Francesconi and Lenanton, 1992) สามารถสะสมในปลาได้สูงกว่าprotoอนินทรีย์ทั้งจากอาหารและน้ำ (Riisgard and Famme, 1986) เนื่องจากมีความเสถียร และปลาสามารถกำจัดprotoอนินทรีย์ออกจากร่างกายได้มากกว่าเมทธิลเมอร์คิวรีด้วย (Boudou and Ribeyre, 1985) ดังนั้น มนุษย์จึงสามารถรับเมทธิลเมอร์คิวรีเข้าสู่ร่างกายได้จากการบริโภคอาหารเป็นส่วนใหญ่โดยเฉพาะจากปลาและผลิตภัณฑ์อาหารที่ทำจากปลา อย่างไรก็ตาม การได้รับสารprotoเข้าสู่ร่างกายผ่านทางการบริโภคปลา นั้น ยังขึ้นอยู่กับอัตราการบริโภคปลาของแต่ละบุคคลและชนิดของปลาด้วย (Boischio and Henshel, 2000) ดังนั้น ผู้บริโภคปลาในอัตราสูงและมีการปนเปื้อนของสารprotoในปลาสูงด้วยซึ่งมีโอกาสเสี่ยงต่อการได้รับอันตรายจากพิษของสารproto

สรุปผลการศึกษา

1. ปริมาณprotothrin ในน้ำบริเวณชายฝั่งทะเลนิกอุตสาหกรรมมากตามพื้นที่ในถูกแหล่ง protothrin พน ว่ามีค่าระหว่าง 2.42 - 5.67 และ 1.52 - 11.77 ng L⁻¹ ตามลำดับ ซึ่งต่ำกว่ามาตรฐานคุณภาพน้ำทะเลชายฝั่ง ของไทย และในถูกแหล่งนี้แนวโน้มสูงกว่าถูกแหล่งแต่พบร่องบางสถานี ส่วนprotothrinที่พบในคลองระบายน้ำทึ่ง/ชุดที่ระบายน้ำสู่ทะเล มีปริมาณสูงกว่าที่ตรวจพบในน้ำทะเลทึ่งสองถูกและในถูกแหล่งสูงกว่าถูกแหล่ง ด้วย
2. ปริมาณprotothrin ในดินตะกอนในถูกแหล่ง มีค่าระหว่าง 0.006 - 0.130 µg g⁻¹ น้ำหนักแห้ง และถูก แหล่งนี้ค่าระหว่าง <0.0023 - 0.224 µg g⁻¹ น้ำหนักแห้ง สถานีไกล์ฟังมีปริมาณprotothrinสูงกว่าสถานีไกล์ฟัง โดย เนพะจุดที่พบสูงมากอยู่บริเวณหน้าโรงงานปิโตรเคมี และในถูกแหล่งพบสูงกว่าถูกแหล่ง โดยค่าสูง สุดที่พบ สูงกว่ามาตรฐานของสารprotothrinในดินตะกอนของบางประเทศ นอกจากนี้สถานีที่พบความเข้ม ข้นของสารprotothrinในดินตะกอนสูงมักมีความเข้มข้นของสารprotothrinในน้ำด้วย
3. ความสัมพันธ์ระหว่างปริมาณprotothrin ในดินตะกอนและคุณสมบัติของดินตะกอนบางประการ พบว่า สารprotothrinมีความสัมพันธ์ทางวงกัดก่อนเข้าสูงมากกับออกไซด์ของเหล็ก รองลงมา คือ สารอินทรีย์ รายเปลี่ยน ดินเหนียว และออกไซด์ของแมงกานีส
4. รูปแบบทางเคมีของสารprotothrinที่พบมากในดินตะกอนบริเวณนิคมอุตสาหกรรมมากตามพื้นที่ อยู่ส่วนรูปแบบที่สำคัญ คือ รูปที่จับรวมด้วยกันสารอินทรีย์และชาลไฟฟ์ และรูปแบบที่อยู่ในโครงสร้างของแร่ธาตุในดิน ซึ่งprotothrinทั้งสองรูปแบบนี้มีโอกาสถูกปลดปล่อยเข้าสู่ชั้นน้ำได้ดีอย่างเป็นรูปแบบที่ไม่เป็น อันตรายต่อตัวมีชีวิต ผลการศึกษานี้สอดคล้องกับค่าที่ตรวจวัดได้โดยตรงจากปริมาณprotothrinที่สามารถเข้าสู่ ตัวมีชีวิต (bioavailable Hg) ซึ่งพบว่ามีค่าน้อยเช่นกัน
5. การศึกษาการดูดซับและการปลดปล่อยสารprotothrinโดยดินตะกอนที่ความเค็ม 4 ระดับ คือ 0, 15, 30 และ 45 psu พบว่าการดูดซับจะลดลงเมื่อความเข้มข้นของสารprotothrinสูงขึ้น โดยขึ้นอยู่กับลักษณะของ เนื้อดินตะกอนด้วย ความเค็มไม่มีผลต่อการดูดซับยกเว้นที่ 45 psu ซึ่งมีแนวโน้มทำให้การดูดซับสาร protothrinที่ความเข้มข้นสูงๆลดลงจากความเค็มระดับอื่นๆ และprotothrinถูกดูดซับไว้ไม่สามารถปลดปล่อย ออกจากดินตะกอนได้ทั้งหมด นอกจากนี้พบว่าความเค็มไม่มีผลต่อการปลดปล่อยสารprotothrinออกจากดิน ตะกอนด้วย
6. องค์ประกอบในดินตะกอนที่มีบทบาทสำคัญต่อความสามารถหรือความจุของดินตะกอนใน การดูดซับสารprotothrin ได้แก่ สารอินทรีย์ ออกไซด์ของเหล็ก รายเปลี่ยน และดินเหนียว
7. ปริมาณการสะสมสารprotothrinสัตว์ทะเลที่ได้จากการศึกษาระดับนี้อยู่ในระดับที่ปลอดภัย สำหรับการบริโภคตามมาตรฐานอาหารที่มีสารprotothrinปีก่อนกำหนดไว้โดยกระทรวงสาธารณสุข

เอกสารอ้างอิง

- กระทรวงสาธารณสุข. 2529. มาตรฐานอาหารที่มีสารปนเปื้อน, ประกาศกระทรวงสาธารณสุขฉบับที่ 98 ลงวันที่ 21 มกราคม พ.ศ. 2529. กระทรวงสาธารณสุข กรุงเทพมหานคร. 2 น.
- กรมควบคุมมลพิษ. 2543. มาตรฐานคุณภาพน้ำและเกณฑ์ระดับคุณภาพน้ำในประเทศไทย. กรมควบคุมมลพิษ. กระทรวงวิทยาศาสตร์เทคโนโลยีและสิ่งแวดล้อม. 210 น.
- กรมควบคุมมลพิษ. 2545. รายงานโครงการประเมินความสามารถในการรับมลพิษและประเมินความเสี่ยงต่อبيئةทางทะเล. กรมควบคุมมลพิษ. กระทรวงวิทยาศาสตร์เทคโนโลยีและสิ่งแวดล้อม. 217 น.
- กรมควบคุมมลพิษ. 2546. ทะเลไทย.....วันนี้. ส่วนเผยแพร่น้ำทะเล สำนักจัดการคุณภาพน้ำ กรมควบคุมมลพิษ. 180 น.
- Alloway, B.J. 1995. Soil processes and the behavior of metals. In: Alloway, B.J. (ed.). *Heavy Metals in Soils*. London: Blackie Academic and Professional. p.11-37.
- Backes, C.A., McLaren, R.G., Rate, A.W. and Swift, R.S. 1995. Kinetics of cadmium and cobalt desorption from iron and manganese oxides. *Soil Sci. Soc. Am. J.* 59: 778-785.
- Barrow, N.J. and Cox, V.C. 1992a. The effects of pH and chloride concentration on mercury sorption.
I. By goethite. *J. Soil Sci.* 43: 295-304.
- Barrow, N.J. and Cox, V.C. 1992b. The effects of pH and chloride concentration on mercury sorption.
II. By a soil. *J. Soil Sci.* 43: 305-312.
- Bohn, H.L., McNeal, B.L. and O'Connor, G.A. 1985. *Soil Chemistry*. 2nd edition. New York: John Wiley & Sons, Inc. 341 p.
- Boischio, A.A.P. and Henshel, D. 2000. Fish consumption, fish lore and mercury pollution- risk communication for the Madeira River people. *Environ. Res. Section A*. 84: 108-126.
- Boudou, A. and Ribeyre, F. 1985. Experimental study of trophic contamination of *Salmo gairdneri* by two mercury compounds- $HgCl_2$ and CH_3HgCl - analysis at the organism and organ levels. *Water Air Soil Pollut.* 26: 137-148.
- Boulding, J.R. 1994. *Description and Sampling of Contaminated Soils: A Field Guide*. 2nd edition. Boca Raton: Lewis Publishers.
- Bourg, A.C.M. and Loch, J.P.G. 1995. Mobilization of heavy metals as affected by pH and redox conditions. In: Salomons, W. and Stigliani, W.M. (eds.). *Biogeodynamics of Pollutants in Soils and Sediments: Risk Assessment of Delayed and Non-Linear Responses*. New York: Springer-Verlag. p. 87-102.

- Bryan, G. W., and Langston, W.J. 1992. Bioavailability, accumulation and effects of heavy metals in sediments with special reference to United Kingdom estuaries: a review. *Environ. Pollut.* 76: 89-131.
- Chester, R. and Voutsinou, F.G. 1981. The initial assessment of trace metal pollution in coastal sediments. *Mar. Pollut. Bull.* 12: 84-91.
- Chongprasith, P., Wilairatanadilok, W. and Rattikhansukha, C. 1995. Environmental studies in management of the Upper Gulf of Thailand. In: Watson, D., and Ong, K.S. (eds.). *ASEAN-Canada Marine Environmental Quality Technical Papers and Mission Report*. Contributions of the ASEAN-Canada Technical Mission to the Coastal Zone Canada'94 Conference (21-23 September 1994), Halifax, Canada. EVS Environment Consultants, Vancouver and Department of Fisheries, Malaysia. p. 62-73.
- Deocadiz, E.S., Diaz, V.R. and Otico, P.F.J. 1999. ASEAN marine water quality criteria for mercury. In: McPherson, C.A., Chapman, P.M., Viger, G.A. and Ong, K.S. (eds.). *ASEAN Marine Water Quality Criteria: Contextual Framework, Principle, Methodology and Criteria for 18 Parameters*. ASEAN Marine Environmental Quality Criteria - Working Group (AMEQC-WG), ASEAN-Canada Cooperative Programme on Marine Science - Phases II (CPMS-II). EVS Environment Consultants, North Vancouver and Department of Fisheries, Malaysia. p. XIII-1 - XIII-34.
- Environment Canada 1995. *Interim Sediment Quality Guidelines*. Soil and Sediment Quality Section, Guidelines Division, Ecosystem Conservation Directorate Evaluation and Interpretation Branch, Ottawa, Ontario. 10 p.
- Francesconi, K.A. and Lenanton, C.J. 1992. Mercury contamination in a semi-enclosed marine embayment: organic and inorganic mercury content of biota and factors influencing mercury levels in fish. *Marine Environ. Res.* 33: 189-212.
- Gambrell, R.P., Khalid, R.A., and Patrick, W.H.Jr. 1980. Chemical availability of mercury, lead, and zinc in Mobile Bay sediment suspensions as affected by pH and oxidation-reduction conditions. *Environ. Sci. Technol.* 14: 431-436.
- Ginn, T.C., and Pastorok, R.A., 1992. Assessment and management of contaminated sediments in Puget Sound. In: Burton, G.A. (ed.). *Sediment Toxicity Assessment*. Boca Raton: Lewis Publishers. p. 371-401.

- Gomez-Parr, A., Forja, J.M., Delvalls, T.A., Saenz, I. and Riba, I. 2000. Early contamination by heavy metals of the Guadalquivir estuary after the Aznalcollar mining spill (SW Spain). *Mar. Pollut. Bull.* 40: 1115-1123.
- Goh, T.B., Arnaud, R.J.St. and Mermut, A.R. 1993. Carbonates. In: Carter, M.R. (ed.). *Soil Sampling and Methods of Analysis*. Canadian Society of Soil Science. Boca Raton: Lewis Publishers. p. 177-185.
- Gunn, A.A., Winnard, D.A., and Hunt, D.T.E. 1988. Trace metal speciation in sediments and soils; an overview from a water industry perspective. In: Kramer, J.R. and Allen, H.E. (eds.). *Metal Speciation: Theory, Analysis and Application*. Michigan: Lewis Publishers. p. 261-294.
- Hahne, H.C.H. and Kroontje, W. 1973a. Significant of pH and chloride concentration on behavior of heavy metal pollutions: mercury(II), cadmium(II), zinc(II), and lead(II). *J. Environ. Qual.* 2: 444-450.
- Hahne, H.C.H. and Kroontje, W. 1973b. The simultaneous effect of pH and chloride concentrations upon mercury(II) as a pollutant. *Soil Sci. Soc. Am. Proc.* 37: 838-843.
- Hayase, K. And Tsubota, H. 1985. Sedimentary humic acid and fulvic acid as fluorescent organic materials. *Geochim. Cosmochimica Acta*. 49: 159-163.
- Hillel, D. 1998. *Environmental Soil Physics*. San Diego: Academic Press.
- Keckes, S. and Miettinen, J.K. 1972. Mercury as a marine pollutant. In: Ruivo, M. (ed.). *Marine Pollution and Sea Life*. Food and Agriculture Organization of the United Nations (FAO). London: Fishing News (Books) Ltd. p. 276-289.
- Langston, W. J. 1980. Arsenic in U.K. estuarine sediments and its availability to deposit-feeding bivalve. *J. mar. biol. Ass. U.K.* 60: 869-881.
- Lockwood, R.A. and Chen, K.Y. 1973. Adsorption of Hg(II) by hydrous manganese oxides. *Environ. Sci. Technol.* 7: 1028-1034.
- Louie, H.W. 1983. Determination of total mercury in fish: An improved method. *Analyst*. 108: 1313-1317.
- Luoma, S.N., 1983. Bioavailability of trace metals to aquatic organisms- a review. *Sci. Total Environ.* 28: 1-22.
- Luoma, S. N., and Bryan, G.W. 1978. Factors controlling the availability of sediment-bound lead to the estuarine bivalve *Scrobicularia plana*. *J. mar. biol. Ass. U.K.* 58: 793-802.
- Luoma, S.N. and Bryan, G.W. 1981. A statistical assessment of the form of trace metals in oxidized estuarine sediments employing chemical extractants. *Sci. Totol Environ.* 17: 165-196.

- MacNaughton, M.G. and James, R.O. 1974. Adsorption of aqueous mercury (II) complexes at the oxide/water interface. *J. Colloid Interface Sci.* 47: 431-440.
- McKenzie, R.M. 1970. The reaction of cobalt with manganese dioxide minerals. *Aust. J. Soil Res.* 8: 97-106.
- Newton, D.W., Ellis, R.Jr., and Paulsen, G.M. 1976. Effect of pH and complex formation on mercury(II) adsorption by bentonite. *J. Environ. Qual.* 5: 251-254.
- Nelson, D.W. and Sommers, L.E. 1982. Total carbon, organic carbon and organic matter. In: Page, A.L., Miller, R.H. and Keeney, D.R. (eds.). *Method of Soil Analysis, Part II. Chemical and Microbiological Properties*. 2nd edition. American Society of Agronomy, Inc. and Soil Science Society of America, Inc. Publishers, Madison, Wisconsin, USA. p. 539-579.
- Nguyen, V.D., Kniewald, G. and Branica, M. 1994. Distribution of mercury between electrolyte and natural bentonite. *Mar. Chem.* 46: 33-47.
- Nissenbaum, A., and Kaplan, I.R. 1972. Chemical and isotopic evidence for the in situ origin of marine humic substances. *Limnol. Oceanogr.* 17: 570-582.
- Perin, G., Bonardi, M., Fabris, R., Simoncini, B., Manente, S., Tosi, L. and Scotto, S. 1997. Heavy metal pollution in central Venice lagoon bottom sediments: evaluation of the metal bioavailability by geochemical speciation procedure. *Environ. Technol.* 18: 593-604.
- Pimpisut, D., Jinsart, W. and Hooper, M. 2005. Modeling of the BTX species based on an emission inventory of sources at the Map Ta Phut Industrial Estate in Thailand. *ScienceAsia* 31:103-112.
- Pollution Control Department. 1997. *Water Quality Criteria & Standards in Thailand*. Ministry of Science, Technology and Environment, Thailand. 160 p.
- Parkpoin, P., W. Thongra-ar, R.D. DeLaune and A. Jugsujinda. 2001. Adsorption and Desorption of Mercury by Bangpakong River Sediments as Influenced by Salinities. *J. Environ. Sci. Health, A.* 36(5): 623-640.
- Randlesome, J.E. and Aston, S.R. 1980. A rapid method for the determination of mercury in sediments, suspended solids and soils. *Environ. Technol. Lett.* 1: 3-8.
- Riley, J.P., and Chester, R., 1971. *Introduction to Marine Chemistry*. London: Academic Press.
- Ross, G.J. and Wang, C. 1993. Extractable Al, Fe, Mn, and Si. In: Carter, M.R. (ed.). *Soil Sampling and Methods of Analysis*. Canadian Society of Soil Science. Boca Raton: Lewis Publishers. p. 239-241.
- Sarkar, D., Essington, M.E. and Misra, K.C. 1999. Adsorption of mercury (II) by variable charge surfaces of quartz and gibbsite. *Soil Sci. Soc. Am. J.* 63: 1626-1636.

- Schuster, E. 1991. The behavior of mercury in the soil with special emphasis on complexation and adsorption processes - a review of the literature. *Water Air Soil Pollut.* 56: 667-680.
- Semu, E., Singh, B.R. and Selmer-Olsen, A.R. 1986. Adsorption of mercury compounds by tropical soils. I. Adsorption in soil profiles in relation to their physical, chemical, and mineralogical properties. *Water Air Soil Pollut.* 27: 19-27.
- Sheldrick, B.H. and Wang, C. 1993. Particle size distribution. In: Carter, M.R. (ed.). *Soil Sampling and Methods of Analysis*. Canadian Society of Soil Science. Boca Raton: Lewis Publishers. p. 499-511.
- Skyllberg, U., Xia, K., Bloom, P.R., Nater, E.A. and Bleam, W.F. 2000. Binding of mercury(II) to reduced sulfur in soil organic matter along upland-peat soil transects. *J. Environ. Qual.* 29: 855-865.
- Sparks, D.L. 1995. *Environmental Soil Chemistry*. San Diego: Academic Press.
- Spry, D.J. and Wiener, J.G. 1991. Metal bioavailability and toxicity to fish in low-alkalinity lakes: a critical review. *Environ. Pollut.* 71: 243-304.
- Taylor, S.R. 1964. The abundance of chemical elements in the continental crust- a new table. *Geochim Cosmochim Acta.* 28: 1273-1285.
- Tessier, A., Campbell, P.G.C., and Bisson, M. 1979. Sequential extraction procedure for the speciation of particulate trace metals. *Anal. Chem.* 51:844-851.
- Tessier, A., Campbell, P.G.C., Auclair, J.C., and Bisson, M. 1984. Relationships between the Partitioning of Trace Metals in Sediments and Their Accumulation in the Tissues of the Freshwater Mollusc *Elliptio complanata* in a Mining Area. *Can. J. Fish. Aquat. Sci.* 41: 1463-1472.
- Thongra-ar, W. 2001. Fate of Mercury in Sediments of the Bangpakong River Estuary and Its Toxicity as Influenced by Salinity. D.Tech.Sc.Thesis, Asian Institute of Technology. 190 p.
- Turekian, K.K. and Wedepohl, K.H. 1961. Distribution of the elements in some major units of the Earth's crust. *Geol. Soc. Amer. Bull.* 72: 175-192.
- Waldichuk, M. 1985. Biological availability of metals to marine organisms. *Mar. Pollut. Bull.* 16: 7-11.
- Wallschläger, D., Desai, M.V.M., Spengler, M., Windmöller, C.C. and Wilken, R. 1998. How humic substances dominate mercury geochemistry in contaminated floodplain soils and sediments. *J. Environ. Qual.* 27: 1044-1054.

197493

Wang, J.S., Huang, P.M. , Liaw, W.K. and Hammer, U.T. 1991. Kinetics of the desorption of mercury from selected freshwater sediments as influenced by chloride. *Water Air Soil Pollut.* 56: 533-542.

Yin, Y., Allen, H.E., Li, Y., Huang, C.P. and Sanders, P.F. 1996. Adsorption of mercury(II) by soil: Effects of pH, chloride, and organic matter. *J. Environ. Qual.* 25: 837-844.

Yin, Y., Allen, H.E., Huang, C.P. and Sanders, P.F. 1997a. Adsorption/desorption isotherms of Hg (II) by soil. *Soil Sci.* 162: 35-45.

Yin, Y., Allen, H.E., Huang, C.P., Spark, D.L., Sanders, P.F. 1997b. Kinetics of mercury (II) adsorption and desorption on soil. *Environ. Sci. Technol.* 31: 496-503.